

UNIVERSIDADE ESTADUAL DE CAMPINAS

Instituto de Química

**ESTUDOS CINÉTICOS
DE
NUCLEÓFILOS INSATURADOS**

TERESINHA WITKOWSKI DE SANTOS

TESE DE MESTRADO

Sa59e

Sa59e

1291/BC

Campinas

1976

ESTUDOS CINÉTICOS DE NUCLEÓFILOS INSATURADOS

T E S E

PARA O GRAU DE MESTRE EM CIÊNCIAS

APRESENTADA À

UNIVERSIDADE ESTADUAL DE CAMPINAS

POR

TERESINHA WITKOWSKI DE SANTOS

1976

**UNICAMP
BIBLIOTECA CENTRAL**

TRABALHO ORIENTADO PELO PROF. DR. JOSEPH MILLER

À meus Pais,
e à memória de meu irmão Vicente

À Ricardo Percy e ao Percy.

A G R A D E C I M E N T O S

Ao Prof. Dr. JOSEPH MILLER, pela orientação e dedicação que sempre demonstrou durante a realização do presente trabalho.

À direção do INSTITUTO DE QUÍMICA DA UNIVERSIDADE ESTADUAL DE CAMPINAS, pelas facilidades de trabalho concedida.

À direção do INSTITUTO DE QUÍMICA DA UNIVERSIDADE DE SÃO PAULO, pelas facilidades de trabalho oferecidas.

À FUNDAÇÃO DE AMPARO À PESQUISA DO ESTADO DE SÃO PAULO, pelo auxílio financeiro.

À FINANCIADORA DO ESTADO E PROJETOS, pelo auxílio financeiro.

Ao Prof. Dr. NILO Z. KIYAN, pela valiosa colaboração prestada.

Ao Prof. Dr. YUKINO MIYATA, pela colaboração prestada nas várias etapas deste trabalho.

À Sra. WILMA T.P. RIBEIRO pelos trabalhos de datilografia.

I N D I C E

	Página
1. INTRODUÇÃO -----	1
2. SUBSTITUIÇÕES NUCLEOFÍLICAS -----	3
2.1. - Substituição nucleofílica alifática e aromática-----	4
2.2. - Mecanismos aplicáveis à S_N alifáticas saturadas -----	10
2.2.1 - Mecanismo S_N^2 - alifático -----	10
2.2.2 - Mecanismo S_N^1 - alifático -----	10
2.2.3 - Evidências cinéticas para a dualidade de mecanismos -----	11
2.2.4 - Mecanismo S_N^1' -----	12
2.3. - Mecanismos aplicáveis à S_N -aromáticas -----	13
2.3.1 - Mecanismo S_N^1 - aromático -----	13
2.3.2 - Mecanismo S_N^2 - aromático -----	16
2.3.2.1 - Mecanismo Eliminação + Adição (ou Benzino) -----	16
2.3.2.2 - Mecanismo Adição-Eliminação (ou ativado) -----	19
3. FORÇA NUCLEOFÍLICA -----	23
3.1. - Introdução -----	23
3.2. - Propriedades do nucleófilo -----	24
3.3. - Efeito α -----	26
3.4. - Solvatação (influência do meio) -----	27
3.5. - Nucleófilos ambidentes -----	28
4. MOBILIDADE DO GRUPO DESLOCADO -----	29
5. APROXIMAÇÃO QUANTITATIVA PARA A SUBSTITUIÇÃO NUCLEOFÍLICA AROMÁTICA -----	31
6. PARTE EXPERIMENTAL -----	32
6.1. - Materiais e Aparelhos -----	32
6.1.1 - Materiais -----	32
6.1.2 - Aparelhos -----	33
6.2. - Processo Geral para as Determinações Cinéticas -----	39
6.2.1 - Processo Titulométrico -----	39
6.2.2 - Processo Condutométrico -----	40
6.3. - Cálculo das constantes de velocidade -----	41
6.4. - Cálculo dos parâmetros de Arrhenius -----	44

6.5. - Reações de Alguns Nucleófilos do Tipo $> \text{C}=\text{Nu}$, (onde Nu=S ou N) -----	46
6.5.1 - Substratos -----	46
6.5.2 - Solventes -----	47
6.5.3 - Gráficos e Tabelas -----	47
6.5.4 - Nucleófilos do Tipo $> \text{C}=\text{N}$ -----	49
6.5.4.1 - Reação de 1-cloro-2,4-dinitrobenzeno com guanidina em etanol abso-luto, na ausência do seu ácido conjugado -----	49
6.5.4.2 - Reação de 1-cloro-2,4-dinitrobenzeno com guanidina* em etanol ab-soluto -----	56
6.5.4.3 - Reação de 1-cloro-2,4-dinitrobenzeno com metilguanidina* em eta-nol absoluto -----	64
6.5.4.4 - Reação de 1-cloro-2,4-dinitrobenzeno com N,N-dimetilguanidina* em etanol absoluto -----	73
6.5.4.5 - Reação de 1-bromo-2,4-dinitrobenzeno com sim-trimetilguanidina*em etanol absoluto -----	82
6.5.4.6 - Reação de 1-bromo-2,4-dinitrobenzeno com metilguanidina* em eta-nol absoluto -----	90
6.5.4.7 - Reação de 1-cloro-2,4-dinitrobenzeno com acetamidina* em etanol absoluto -----	96
6.5.5 - Nucleófilos do Tipo $> \text{C}=\text{S}$ -----	104
6.5.5.1 - Reação de p-toluenosulfonato de metila com metiltioureia em aceto-nitrila -----	104

* na presença do ácido conjugado do nucleófilo

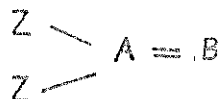
6.5.5 - Nucleófilos do Tipo $> \text{C}=\text{S}$ -----	104
6.5.5.1 - Reação de p-toluenosulfonato de metila com metiltioureia em aceto-nitrila -----	104

ContinuaçãoPágina

6.5.5.2 - Reação de p-toluenosulfonato de metila com NN'-dimetiltioureia em acetonitrila -----	117
6.5.5.3 - Reação de p-toluenosulfonato de metila com tetrametiltioureia em acetonitrila -----	131
6.6. - Apendice -----	145
7. DISCUSSÃO E CONCLUSÕES -----	146
8. RESUMO - ABSTRACT -----	153
9. REFERÊNCIAS BIBLIOGRÁFICAS -----	154

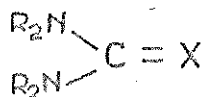
1. INTRODUÇÃO

No campo das substituições nucleofílicas, tanto alifáticas quanto aromáticas, os conceitos sobre a força nucleofílica receberam pouco estudo e interpretação em geral. Dentro deste campo, um dos problemas fundamentais, é a reatividade de compostos ambidentes (bifílicos) e polidentes (polifílicos), ou seja, substâncias com o mesmo tipo de reatividade em mais de uma posição na molécula. Sobre estes compostos, que possuem a estrutura geral:



quase nada existe sobre a sua força nucleofílica. Decidiu-se então fazer um estudo exploratório de algumas de tais substâncias, utilizando-se os carbonos alifático e aromático como centros eletrofílicos.

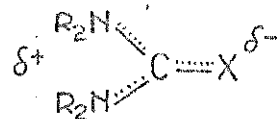
Para isso foi escolhida uma série de compostos representada pela seguinte fórmula geral:



onde $R = H$ ou CH_3
 $X = NH, NCH_3$ ou S

Esta representação, é realmente uma forma canônica devido à conjugação interna existente.

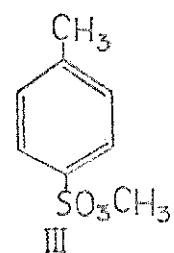
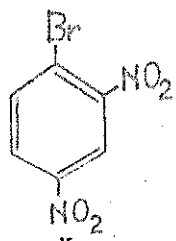
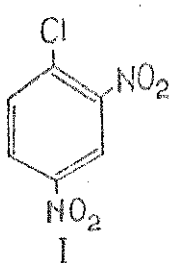
A estrutura



sugere que deve haver uma diminuição do caráter nucleofílico dos nitrogênios e, um aumento do caráter nucleofílico do átomo X , em comparação com espécies-padrões tais como aminas e compostos simples com estrutura $>C=X$.

A força nucleofílica pode ser avaliada através da aproximação termoquímica (83), a qual utiliza como fatores básicos, a energia de ligação entre o nucleófilo e o eletrófilo, a energia de ionização do nucleófilo e as energias de solvatação das diversas espécies envolventes. No nosso caso, entretanto, não podemos nos utilizar de tal aproximação, por falta de dados fundamentais necessários (veja pág. 31).

Tres substratos eletrofílicos típicos foram selecionados para a série apresentada, constituindo-se dos seguintes compostos:



Para o caso em que $X=NH$ ou $X=N-CH_3$, foram utilizados os substratos I e II, como centro eletrofílico aromático. O p-toluenosulfonato de metila (III) foi escolhido como substrato contendo o carbono alifático eletrofílico, por duas razões:

1. - devido à mobilidade nucleofílica do grupo tolueno - sulfonato ser elevada;
2. - devido à carga parcial positiva no carbono eletrofílico, o que acredita-se ser de particular utilidade, conforme foi demonstrado no decorrer desta apresentação.

2. SUBSTITUIÇÕES NUCLEOFÍLICAS

As reações de substituição constituem um importante tipo de reação na Química Orgânica, e provavelmente em toda a Química. Inicialmente a substituição nucleofílica no átomo de carbono alifático já havia sido estudada qualitativamente desde 1911, porém só a partir de 1930 é que novas interpretações foram dadas por Ingold⁽²⁾(96,18) e seus colaboradores. Muitos estudos cinéticos de substituição eletrófílica aromática foram efetuados e sistematizados pelo mesmo pesquisador. Este importante conceito de mecanismo foi também desenvolvido por Hughes que o apresentou em varias épocas (20,26,35,37). No entanto, as substituições nucleofílicas em compostos aromáticos, embora tenham sido encontradas desde 1854 (1) e, largamente utilizadas em sínteses, só em 1950 é que tiveram uma pesquisa mais ativa no campo de mecanismos e reatividade..

Em 1951, duas revisões foram publicadas, uma por Zahler (38) e outra por Miller (39), indicando os fatores envolvidos nas substituições nucleofílicas de compostos aromáticos. Um quadro mais completo foi mostrado em 1958 por Bunnett (68) em 1963 por Ross (82), em 1968 por Miller (95) através do seu monógrafo sobre o assunto.

2.1. - SUBSTITUIÇÕES NUCLEOFÍLICAS ALIFÁTICAS E AROMÁTICAS

Generalidades

As reações de substituição nucleofílica no átomo de carbono são de diversos tipos, sendo os mais importantes as de substituição no carbono alifático saturado, no carbono do grupo carbonila e no carbono aromático. Nestas discussões serão tratadas especialmente, as substituições nucleofílicas ao carbono alifático saturado (S_N alifático sat.) e ao carbono aromático (S_NAr). Fundamentalmente ambas assemelham-se, no senso que a ligação ao carbono, no centro de reação é formada por um reagente nucleofílico \ddot{Y} , que fornece seu par de eletrons para a ligação, havendo em correspondência o deslocamento de um grupo LG , com seus eletrons ligantes. Isto é ilustrado pela figura 1, a qual exclui considerações de carga, reversibilidade ou qualquer outro rearranjo que possa ocorrer.

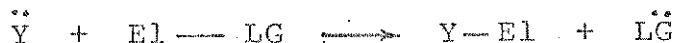


Fig. 1: Representação geral de uma reação de substituição nucleofílica.

normalmente,

- \ddot{Y} = nucleófilo neutro ou com carga negativa
- $El-LG$ = substrato neutro ou positivo, sendo El o centro eletrofílico da reação.
- $Y-El$ = produto neutro ou com carga positiva
- LG = grupo deslocado, neutro ou com carga negativa.

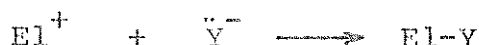
Dependendo das condições de reação, temos dois tipos de mecanismo:

1. Dissociativo (S_N1)
2. Associativo (S_N2)

No processo dissociativo, a etapa determinante da velocidade é a heterólise do substrato. Este processo (que é de ionização para o caso comum de substrato neutro), corresponde à etapa lenta da reação ou seja,



O eletrófilo cationico El^+ tem um orbital vazio e forma uma ligação com o nucleófilo Y^- , em uma etapa rápida, que é a associação, isto é



Não é necessário que o par de ions acima esteja totalmente separado para que se inicie a formação da ligação entre o eletrófilo e o nucleófilo, basta que o pico de energia máxima da heterólise tendo sido passado pelo substrato antes da formação da nova ligação.

Mesmo no mecanismo associativo, é necessário que haja algum enfraquecimento da ligação EL-LG para que se dê o início da formação da ligação EL-Y .

No caso das substituições nucleofílicas alifáticas saturadas, o substrato pode ser representado por $\text{R}_3\text{C-LG}$ (onde $\text{R}=\text{H}$ ou grupo alquila) e, no estado inicial o carbono tem hibridização sp^3 não possuindo orbital vazio.

No mecanismo $\text{S}_{\text{N}}2$ alif. sat., a formação do estado de transição, que corresponde à etapa determinante da velocidade, envolve simultaneamente ambos: o início da formação de ligação entre o nucleófilo Y^- e o substrato R_3C e o enfraquecimento da ligação entre LG e R_3C , mas não necessariamente em mesmo grau de ordem de ligação.

No estado de transição, o carbono centro de reação está ligado tanto no nucleófilo quanto ao grupo deslocado. A hibridização do carbono é sp^2 e o orbital p é ocupado pelos grupos que sai e que entram. Este fato pode ser assim representado:



Fig. 2 - Representação do mecanismo $\text{S}_{\text{N}}2$ alif. saturado.

Quando a formação e a ruptura da ligação, no estado de transição, além de sincronos forem iguais em termos de ordem de ligação, a reação recebe o nome de $\text{S}_{\text{N}}2$ -limitante, sendo a ordem de ligação igual a aproximadamente quatro, no total.

Nas reações que seguem o mecanismo $\text{S}_{\text{N}}1$, a etapa determinante da velocidade é a heterólise do substrato. Então a ordem de ligação dos quatro grupos ligados ao carbono, centro de reação, é menor que quatro e maior que tres.

(*) O circulo pontilhado representa a camada de solvatação dos ions e íons em desenvolvimento.

Tais reações podem ser ilustradas através da figura 3, mostrada abaixo:

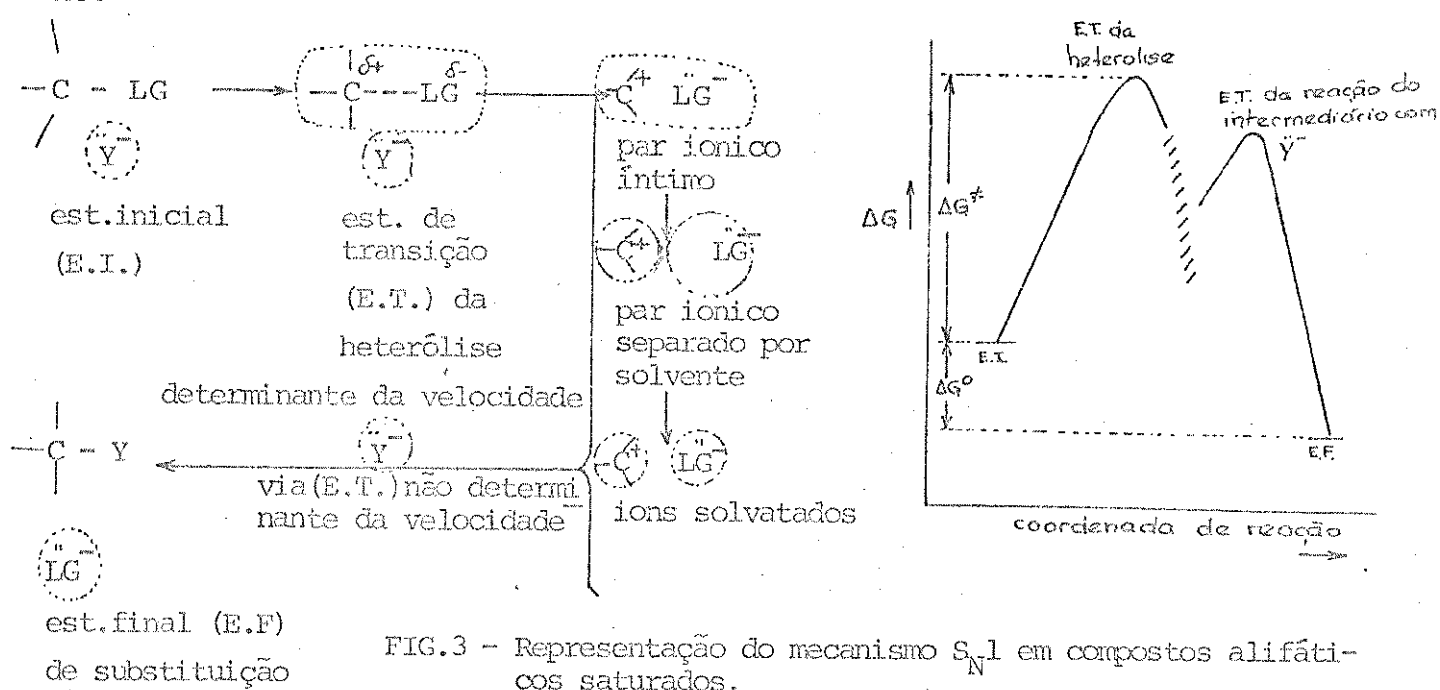
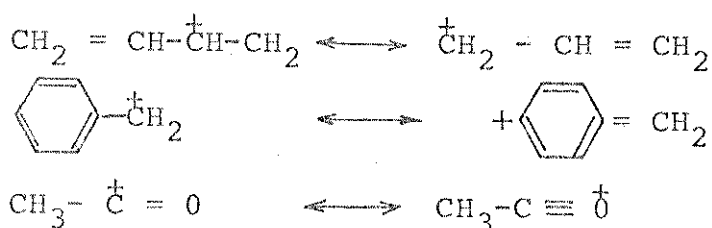


FIG.3 - Representação do mecanismo S_N1 em compostos alifáticos saturados.

Há casos no mecanismo S_N2 em que a ruptura da ligação dá-se em maior grau que a formação da ligação. Então a ordem de ligação dos cinco grupos ligados ao centro de reação, no estado de transição, é menor que quatro, porém maior que nos casos de S_N1 . Estas reações são classificadas como S_N1 -semelhante.

FATORES QUE FAVORECEM O MECANISMO S_N1

O mecanismo S_N1 será favorecido onde o ion carbonio obtido pela heterólise, forma-se em uma etapa com um valor baixo de energia livre de ativação e a energia livre de reação negativa, ou pouco positivo (99). É equivalente dizer que o ion carbonio deve ser um eletrófilo fraco para a reação reversa. Isto corresponde a um valor relativamente baixo de afinidade eletrônica do ion carbonio e a uma ligação fraca para $C-LG^N$. Exemplos deste tipo são particularmente encontrados - em espécies que apresentam conjugação interna envolvendo a carga positiva (orbital vazio). Entre eles podemos citar os cations alila, benzila e acetila:



Uma outra propriedade do ion carbonio que poderá contribuir com a diminuição da afinidade eletronica é a presença de grupos ligados a ele, que possuem efeito indutivo + I. O caso muito estudado é o dos butilas terciários.

Outro fator é a força da ligação entre o eletrófilo e o grupo deslocado. No caso de ligações fortes, por exemplo a ligação C-F a reação S_N^1 é bem mais difícil que no caso de C-I onde a ligação é fraca facilitando a heterólise.

Outro aspecto a ser considerado é a energia de solvatação. A alta energia de solvatação e a elevada energia eletrostática das formas ionizadas, no estado de transição dipolar (desenvolvimento de ion) irão favorecer a heterólise.

Devemos também lembrar que quando a formação do ion carbonio dá-se com grande alívio de tensões estéricas, o mecanismo S_N^1 será favorecido.

No campo aromático, entretanto, as reações que ocorrem através das espécies Ar^+ são muito menos comuns que no campo alifático. As principais razões são:

a) a conjugação interna para estabilizar o cation arila Ar^+ pela heterólise $Ar-X$ não é possível, quando o eixo do orbital vazio de Ar^+ está em ângulo reto, não havendo o entrelaçamento com os orbitais $p\pi$ do anel.

b) no processo da heterólise, o grupo deslocado sai com seus eletrons ligantes de um carbono com hibridização sp^2 e não sp^3 , isto é de um carbono mais eletronegativo que o da série alifática, contribuindo para valores mais altos de afinidade eletronica.

c) a carga positiva de um cation arila Ar^+ deve ser menos exposta a solvatação que um cation alquila, mesmo que esteja ligado a um grupo arila.

d) um alívio das interações estéricas na formação de Ar^+ , como acontece as vezes na formação dos cations alquila nas reações S_N^1 alifáticas, é menos provável.

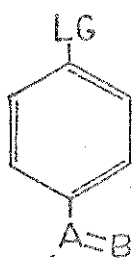
e) as ligações $Ar-LG$ são mais fortes que as dos compostos Alif-X, (em geral).

f) normalmente, os eletrons desemparelhados do LG entram em conjugação com o anel aromático desfavorecendo a heterólise.

De acordo com estes comentários, as únicas reações que mostram evidências de um mecanismo S_N1 são as de S_N de ions diazonio. Mesmo com estes a situação não é tão clara e há evidências para a existência de um caráter S_N2 e de intervenção radicalar.

No entanto, o tipo de substituição aromática mais comum é a que se dá através do mecanismo bimolecular de adição-eliminação ou mecanismo S_N2 ativado.

No benzeno, e nos compostos aromáticos simples, que possuem um só substituinte, as substituições nucleofílicas são bem difíceis. As interações repulsivas entre o sistema de eletrons do anel e os eletrons do nucleófilo dificultam a aproximação deste último. Além disso outros fatores como por exemplo a baixa polaridade da ligação Ar-LG, etc., dificultam o ataque do nucleófilo muito mais que nos compostos alifáticos. No entanto, a presença de grupos que retiram eletrons, convenientemente ligados ao sistema aromático, ou a presença de hétero-átomos no anel, irão facilitar a reação de substituição através do afastamento do sistema π do centro de reação. Por exemplo o composto



$A=B$: grupo ativante com efeito $-R$

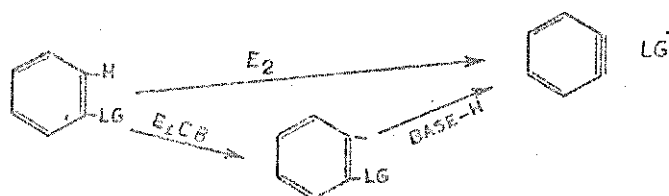
O carbono mais eletrofílico tem 3 átomos ligados a ele mas por redistribuição do sistema π , passando de um sistema benzenóide - para um benzenídio admite mais uma ligação que será feita pelo nucleófilo.

A expulsão do LG do complexo sigma resulta na substituição total que é classificada como S_N2 -adição-eliminação.

Nos compostos aromáticos, este processo é muito mais favorável energeticamente que o S_N1 síncrono que ocorre normalmente entre os alifáticos. O complexo sigma possui hibridização sp^3 no centro de reação, e a evidencia de sua existência tem sido mostrada através dos complexos de Meisenheimer (que são intermediários estáveis desse tipo).

Um outro mecanismo bimolecular que ocorre nos sistemas aromáticos é o mecanismo benzino ou S_N^2 -adição-eliminação.

A eliminação dâ-se por um processo síncrono bimolecular (E_2) ou através de uma eliminação unimolecular de uma base conjugada, previamente formada (E_1CB), produzindo uma ligação tripla, isto é

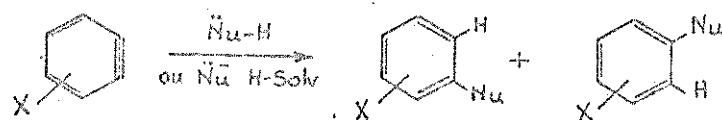


Um processo análogo é a formação de um alquino quando se parte de um composto vinílico, ou seja



Mesmo alquinos simples reagem tanto com nucleófilos como com eletrôfilos, e as espécies benzino, de alta energia são ainda mais capazes de reagir com nucleófilos para dar adutos. O reagente nesta etapa pode ser a base original, ou outra base presente agindo como nucleófilo. O resultado total é uma substituição bimolecular, através de eliminação-adição, conhecido como mecanismo benzino.

A etapa de adição daria dois adutos isoméricos (fig. abaixo) em proporções que dependerão do efeito de orientação de qualquer outro substituinte no anel.



Estas reações chamam-se, às vezes de "substituição cine".

2.2. - MECANISMOS APLICÁVEIS À SUBSTITUIÇÕES NUCLEOFÍLICAS ALIFÁTICAS SATURADAS.

2.2.1. - Mecanismo Bimolecular Alifático S_N2

A cinética de segunda ordem e a inversão de configuração foram descritos qualitativamente por Lewis (9) o qual sugeriu que uma nova ligação é formada no átomo de carbono, centro de reação quando a ligação antiga é quebrada, ocorrendo tal fato simultaneamente em extremidades opostas do carbono tetraédrico. Este conceito foi expresso - em termos de mecânica quântica (13) para as reações - entre átomos e moléculas.

O conceito de Lewis ganhou total apoio com o desenvolvimento da teoria do estado de transição. No mecanismo bimolecular o grupo que entra está atacando o lado oposto da ligação a ser quebrada, isto é, o caso onde os dois grupos ligados ao centro de reação estão alinhados, isto é



Trata-se de um processo de uma única etapa, sem a existência de intermediários.

2.2.2. - Mecanismo Unimolecular Alifático S_N1

Neste tipo de mecanismo, o estado de transição não contém Y, mas envolve a quebra de ligação R-X. Um intermediário que é o ion carbonio C⁺, é formado e rapidamente converte-se nos produtos (ou reverte ao reagente). Então:



a) Ion carbonio como intermediário de reação

A postulação de mecanismo S_N1 encontrou no inicio considerável oposição com os fundamentos de que a dissociação era improvável energeticamente. Tal fato foi em parte surpreendente em vista dos conhecimentos já de-

mostrados anteriormente acerca da existência dos ions carbonio, tais como os encontrados nos rearranjos de Wagner-Meerwein (6). Além desse, pode ser citado Whitmore, que aplicou uma teoria semelhante a de Meerwein, para o rearranjo de haletos de neopentil, e os de Hoffman, com rearranjos de compostos nitrogenados, embora não tenha descrito os intermediários de reação, especificamente como cations (14,21).

Além disso a importância da solvatação ionica na redução da energia requerida para a ionização da ligação carbono-halogenio foi reconhecida bem antes do desenvolvimento desta teoria (12,15,18), e os cálculos indicaram que a velocidade de solvólise dos haletos de alquila eram consistentes com os dados termoquímicos, os quais incluem também as energias de solvatação ionica (42).

2.2.3. - Evidências cinéticas para a dualidade de mecanismos

O conceito de dualidade de mecanismos pode ser mostrado pelos efeitos de mudanças estruturais sob a velocidade de hidrolise e de alcoolise de uma série de haletos de alquila α -substituidos, e o efeito decorrente da existência de ions do solvente protonico adicionado (25). Resultados similares foram encontrados para a velocidade de decomposição de sais de alquil sulfônico em agua (16,17) isto é

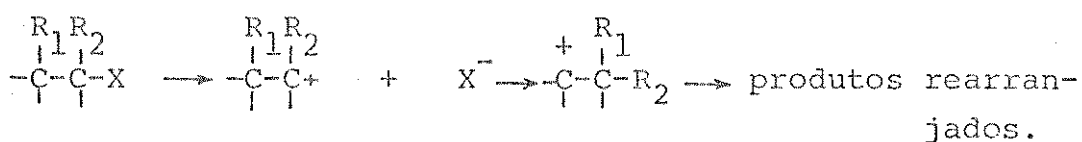


Foi verificado que na ausência de alcali, ocorria uma pequena diminuição na velocidade com substituição de um grupo metila no centro de reação; a substituição de um segundo grupo deu um pequeno aumento na velocidade, e com a substituição do terceiro grupo a velocidade sofreu um aumento muito maior. A adição de ions provenientes de solvente protônico aumentaram as velocidades de decomposição dos primeiros tres membros da série, para uma diminuição verificada ao longo da série, e a velocidade de reação para o cloreto e para o brometo de t-butila não foi afetada.

O simples conceito de dualidade de mecanismos fornece uma explicação qualitativa destas observações. As reações de segunda ordem, entre o íon do solvente protônico e os bro~~m~~etos de alquila são reações cujas velocidades são diminuídas pela substituição de grupos α -alquilas, os quais podem impedir a aproximação do nucleófilo. Este retardamento de velocidade pode ser estérico ou resultar da doação de eletrons pelo efeito indutivo ao centro de reação. Como o brometo de t-butila, e a contribuição deste mecanismo bimolecular é desprezível, e a reação se dá somente pelo mecanismo S_N1 , independentemente do íon do solvente - protonico. O mecanismo S_N1 não é restrito aos halogenetos de alquila terciários. Ward mostrou que as velocidades de hidrólise e etanolise dos cloretos de 1-feniletil e difenilmetil independiam do alcali adicionado e citaram este fato como evidência para o mecanismo dissociativo de substituição. Então o mecanismo S_N1 é favorecido por grupos doadores de eletrons que estabilizam o altamente iônico estado de transição para a formação do ión carbonio.

2.2.4. - Mecanismo S_N1

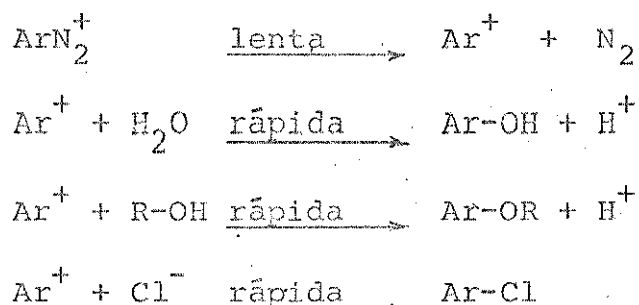
Nas discussões precedentes, sempre consideramos substituições sem qualquer rearranjo no esqueleto carbonico. No entanto são conhecidos mecanismos uni- e bi-moleculares que se dão através de rearranjo na estrutura do substrato. Os tres principais tipos são $S_N^{2'}$, $S_N^{1'}$ e $S_N{i}$, sendo porém comuns em compostos alifáticos insaturados. No caso do mecanismo $S_N^{1'}$, que pode ocorrer em sistemas saturados, a primeira etapa é a formação do ion carbonio, cujo rearranjo é sincrono com ou subsequente à quebra da ligação C-X. O rearranjo de Wagner-Meerwein de sistemas saturados é desta classe, e pode ser mostrado abaixo



2.3. - MECANISMOS APLICÁVEIS À SUBSTITUIÇÕES NUCLEOFÍLICAS AROMÁTICAS

2.3.1. - MECANISMO UNIMOLECULAR AROMÁTICO (S_N^1 Ar)

Dentre as poucas reações que mostram evidências de um mecanismo unimolecular, as mais extensivamente estudadas foram a decomposição não catalizada dos íons diazonio em água, para dar fenóis ou éteres fenólicos, acompanhados sempre dos halogênios de arila e outros produtos decorrentes da presença de íons nucleofílicos presentes em solução, isto é:



Foi sugerido por Moelwyn-Hughes e Johnson (22) e, também por Waters (30) que estas reações seguem o mecanismo S_N^1 .

Um argumento mais claro e preciso foi dado por Bennett e Zahler (38) segundo o qual, a decomposição do cloreto de benzeno diazonio em água mostra cinética de primeira ordem (22, 23) e, que as constantes de velocidade não são afetadas pela natureza e concentração dos anions presentes, mesmo quando este anion é incorporado em maior quantidade para a formação do produto (4, 23, 80). A constante de velocidade de obtenção do fenol foi sempre a mesma (23), tanto em D_2O quanto em H_2O , e o efeito cinético dos substituintes aromáticos (23) mostrou-se totalmente diferente dos observados em qualquer forma de substituição nucleofílica bimolecular. Porém novos aspectos da decomposição de sais de diazonio tem sido obtidos mais recentemente contrariando a existência do mecanismo através de um único intermediário de primeira ordem. Lewis e Cooper (4, 80) investigaram reações de sais de benzenodiazonio com o ion tiocianato aquoso para dar fenóis, tiocianatos, isocianatos e produtos derivados.

Eles observaram um pequeno aumento na velocidade ao aumentar a concentração dos íons SCN^- (em oposição a qualquer efeito salino esperado) e concluíram que existe um intermediário altamente reativo, o qual pode reagir rapidamente, não sómente com a água ou com o tiocianato, mas também pode reverter em ion diazonio. Estes resultados são inconsistentes com a formação irreversível de um intermediário de primeira ordem, o qual subsequentemente reage com nucleófilos. Para confirmar esses dados Lewis e seus colaboradores(86,90) usando N^{15} mostraram que a hidrólise dos sais de diazonio é acompanhada pelo seguinte rearranjo lento:



Investigações posteriores (45) efetuadas pelos mesmos pesquisadores mostram que o íon tiocianato acelera a decomposição do íon p-toluenodiazonio em ácido aquoso, mas não linearmente.

A fim de explicar estas novas observações Lewis postulou um esquema de reação com dois intermediários, propondo o seguinte mecanismo:

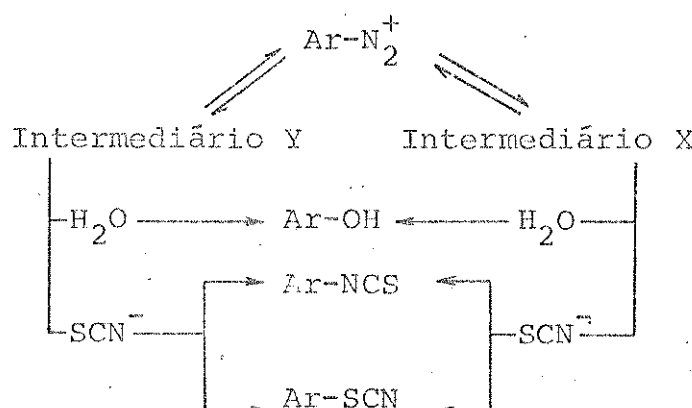
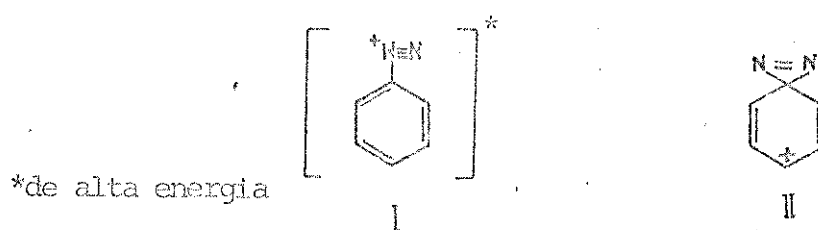


Fig.4: Caminhos de reação para a $\text{S}_\text{N}2$ do grupo diazonio em sais de diazonio aromático (aqui são mostrados sómente os produtos principais).

NOTA: Foram encontradas algumas reações de sais de diazonio, nas quais o mecanismo $\text{S}_\text{N}2$ é favorecido. Um exemplo é o ion p-fenilenobis-(diazonio), onde o p-diazonio é um dos grupos ativantes mais fortes. Para reações $\text{S}_\text{N}2$ aromáticas ativadas (44,57,58,66) foi mostrado (67) que muitas reações parecem reagir pelo mecanismo $\text{S}_\text{N}2$ ativado quando os reagentes não formam compostos diazocovalente estáveis.

Em contraste com o simples intermediário cation arila inicialmente citado, existem no novo mecanismo dois intermediários os quais são estados excitados do ion diazonio. Um deles com a estrutura (I) retorna predominantemente ao ion diazonio ArN_2^+ e é aparentemente idêntico com o intermediário não seletivo, e altamente reativo, previamente identificado como o cation arila.

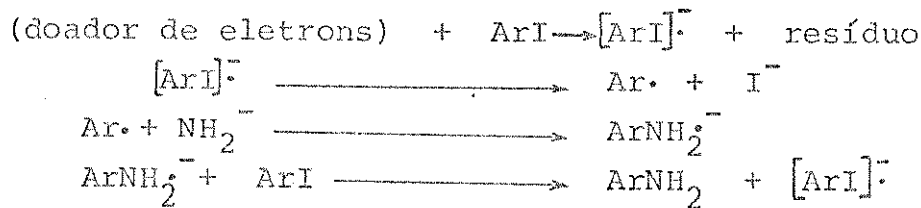


O outro intermediário é muito mais seletivo e menos reativo, sendo o seu retorno ao ion diazonio quantitativamente relacionado com o rearranjo isotópico. Ele é isomérico com o ion diazonio, e acredita-se que tenha a estrutura espirocíclica (II).

A hidrólise de sais de diazonio, dão-se portanto através de um mecanismo S_N1 , via dois intermediários, ambos retendo os átomos de nitrogênio do grupo diazonio. Estas reações são conhecidas como S_N1 -semelhante.

Outro tipo de reação unimolecular são apresentadas pelas hidrolises catalizadas de simples halogeno-benzenos os quais sugerem uma reação aromática S_N1 porém não seguindo os padrões vistos nos compostos alifáticos saturados.

Um outro tipo de mecanismo unimolecular aromático, foi proposto por Bunnett em 1970 (98), que propôs a denominação $S_{RN}1$, ou seja substituição radical-nucleofílica unimolecular. O mecanismo,



assemelha-se a uma transferência de eletrons através de um mecanismo radical por substituição nucleofílica no carbono saturado a qual foi apresentada por Kornblum (9792) e por Russel.⁽⁹⁴⁾ Trata-se de uma S_N1 , apenas que a fissão da ligação ocorrer em um anion radical ao invés de uma molécula neutra.

2.3.2. - MECANISMO BIMOLECULAR AROMÁTICO

2.3.2.1 - MECANISMO ELIMINAÇÃO-ADIÇÃO (BENZINO)

Os compostos aromáticos mais simples, mesmo que possuam grupos típicos deslocáveis por nucleófilos, não são facilmente susceptíveis ao ataque por reagentes nucleofílicos (95a). Em determinadas condições, onde tais compostos reagem, a reação dâ-se através de um mecanismo eliminação-adição, também chamado mecanismo benzino, o qual é ilustrado pela figura a baixo:

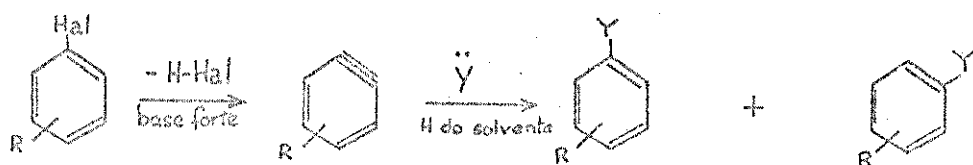


Fig.5: Forma geral do mecanismo S_N2 eliminação-adição ou mecanismo benzino.

Embora este tipo de reação tenha sido relatada desde 1875 (2), o mecanismo sómente foi entendido e classificado muito tempo depois. Em 1940, Wittig (24,28) e seus colaboradores levantaram a hipótese de um intermediário numa forma dipolar não simétrica (95c), de acordo com a figura abaixo:

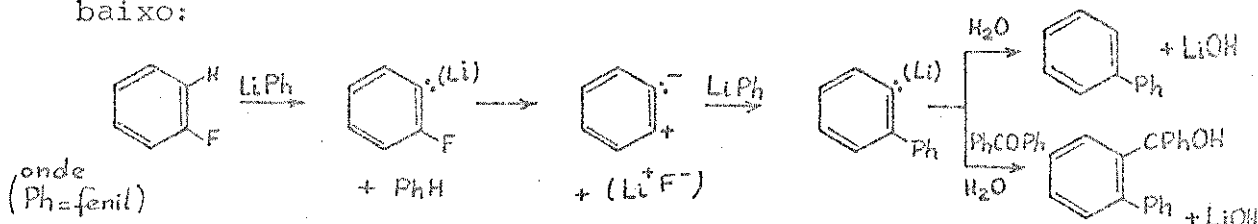


Fig.6: Representação de uma substituição nucleofílica aromática via um intermediário não simétrico di-dehidrobenzeno.

Mais tarde, Bunnett e Zahler (38) se referiram a inúmeras substituições nucleofílicas, as quais diferiam das substituições nucleofílicas ativadas comuns, e envolviam reagentes fortemente básicos, a baixas temperaturas, as quais resultam comumente nas chamadas substituições cine, mais particularmente do tipo vicinal, isto é o grupo entrante liga-se ocupando a posição vizinha ao grupo deslocado, assim co-

mo à posição ocupada pelo grupo deslocado. As reações de amidas e íons amidetos substituídos, a baixas temperaturas constituem inúmeros exemplos, assim como, algumas reações de fusão alcalina. Bunnett também publicou uma pequena revisão sobre os benzinos (71).

Algum tempo depois, Roberts e seus colaboradores (46,49,63) mostraram que o clorobenzeno- ^{14}C reagia com o íon amideto em amônia líquida dando quantidades quase iguais de anilina- ^{14}C e anilina- ^{2}C . A pequena divergência nas quantidades foram atribuídas ao pequeno efeito isotópico cinético ^{12}C - ^{14}C sobre as proporções dos produtos, obtidos através de um intermediário benzino (figura 7 abaixo):

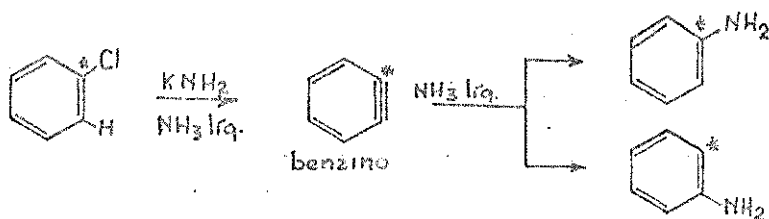


Fig. 7: Formação de anilina- ^{14}C e anilina- ^{2}C a partir de cloro-benzeno- ^{14}C . (sendo * = ^{14}C radioativo)

As mesmas proporções foram obtidas com iodo-benzeno- ^{1-14}C . Foram também verificadas pelos pesquisadores que as reações descritas por Wittig e seus colaboradores (24,28,31,89) davam os mesmos resultados estatísticos em relação à formação bifenil.

Outros estudos foram efetuados por Huisgen (61), Bunnett, Brotherton (54) e Bergstrom (33).

Em 1958 (63) Huisgen apresentou uma revisão onde inclui dados cinéticos valiosos e indica os efeitos de substituintes em relação a acidez do H, o qual é eliminado na formação do benzino.

A existência do intermediário benzino foi suportada pelos experimentos de Bergstrom (19,34) os quais mostraram que a determinação da constante de velocidade e do produto de reação de clorobenzeno com o íon amideto, na presença do íon $(\text{C}_6\text{H}_5)_3\text{C}^-$ ocorre em etapas separadas, indicando a formação de um intermediário. Eles mostraram que o íon $(\text{C}_6\text{H}_5)_3\text{C}^-$ não reage com clorobenzeno em amônia líquida a não ser quando algum íon amideto adicionado, mas o maior produto é o tetra-

fenilmetano. O íon $(C_6H_5)_3C^-$ não é suficientemente báscio para desprotonizar o clorobenzeno, porém o íon amideto pode retirar o proton do anel aromático, e na adição subsequente os dois íons tornam-se competitivos, e realmente o íon $(C_6H_5)_3C^-$ é mais bem sucedido que o íon amideto como nucleófilo (fig. 8).

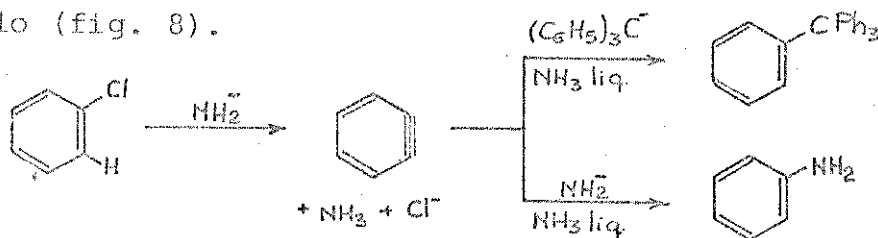


Fig.8: Adição competitiva no mecanismo S_N2 eliminação-adição.

A confirmação do intermediário benzino através de sua detecção e isolamento tem sido efetuada em alguns trabalhos recentes. Foi obtido, por exemplo, pelo aquecimento de substâncias que rapidamente se decompoem e por processos de irradiação. Uma substância bem conveniente é o sal interno 2-carboxilato de benzenodiazônio, o qual produz o benzino em suaves condições pela eliminação de nitrogênio e o dióxido de carbono. Sua detecção foi efetuada por espectro de absorção e espectrômetro de massa(68,73,74,77,78,85,93).Através de um expetrômetro de massa especial, uma espécie de massa 76 e potencial de ionização 9,75V considerada como benzino, foi mostrada ter uma vida de 250-300 microsegundos, e o seu desaparecimento deu-se com a obtenção de um outro pico no espectro de massa 152, que corresponde ao bifeníleno (figura 9 abaixo):



Fig.9: Formação do benzino por pirolise e sua dimerização.

Limitações do mecanismo benzino

O mecanismo benzino é favorecido pelos seguintes fatores (95c):

1. pela presença de um átomo de hidrogenio na posição orto em relação ao grupo X, o qual deve ser suficientemente eletronegativo para que seja possível a eliminação 1,2, de HX.
2. pelo uso de reagentes fortemente básicos, além de nucleofílicos.
3. pela baixa reatividade do substrato, pelo mecanismo S_N^2 Ar comum.

2.3.2.2 - MECANISMO ADIÇÃO-ELIMINAÇÃO (OU ATIVADO) (S_N^2 ATIVADO)

A substituição nucleofílica nos sistemas aromáticos é facilitada por duas condições:

1. pela existência de um grupo X no ponto de substituição, facilmente deslocável com seus eletrons ligantes;
2. pela presença de hetero-átomos no anel, ou de substituintes que retiram eletrons, colocados convenientemente, os quais facilitam a formação de uma ligação entre o átomo de carbono do anel e o nucleófilo, além de estabilizar o estado de transição. É por esta razão que as reações que se dão por este mecanismo são chamadas S_N^2 aromáticas ativadas. Tais reações constituem a grande maioria das substituições nucleofílicas aromáticas.

O mecanismo para a substituição nucleofílica bimolecular ativada foi objeto de muitas controvérsias (60,64).

Duas possibilidades foram sugeridas:

- 1a.- segundo a qual a substituição ocorreria por um mecanismo de uma etapa, análogo à substituição bimolecular - no átomo de carbono saturado, com síncrona quebra e formação da ligação.
- 2a.- o mecanismo ocorreria em duas etapas envolvendo um complexo intermediário relativamente estável para a qual foi sugerida por Wheland (32) a estrutura do benzenido.

Após o estabelecimento do mecanismo S_N2 de substituição no átomo de carbono saturado, Hughes e Ingold (18, 26, 37, 96) sempre assumiram que a substituição nucleofílica bimolecular aromática ocorria por um mecanismo análogo, de uma etapa com síncrona quebra e formação de ligação. Parker (41) e Chapman também mostraram-se favoráveis a este mecanismo. No entanto, a falta de uma ordem uniforme na reatividade relativa de halogenos em reações de certos nucleófilos com halogênios de nitro e polinitrofenilas levaram Parker (75) a adotar este mecanismo somente para algumas reações de substituição nucleofílica aromática. Entretanto, uma explicação alternativa baseada no mecanismo de duas etapas foi proposta anteriormente. Em alguns casos, onde os dois mecanismos (de uma e de duas etapas) são igualmente compatíveis, alguns autores (75, 50) adotaram o mecanismo de uma etapa somente por questões de simplicidade.

O mecanismo síncrono bimolecular envolve geometria desfavorável (as ligações quebradas e formadas devem estar no mesmo plano do anel, e o ataque pelo lado oposto não é possível) e energia desfavorável (uma etapa de alta energia é necessária ao invés de duas etapas de baixa energia do mecanismo de dois estágios). No sistema aromático não há uma possibilidade razoável de se formar meias-ligações lineares e opostas ao nucleófilo e ao grupo abandonador por meio de dois lóbulos de um orbital p não hibridizado, como é característico nas reações de substituições nucleofílicas alicíclicas bimoleculares.

Além disso, em 1951, Zahler e Bennett (38) mostraram que a substituição nucleofílica bimolecular, com o mecanismo de uma etapa no átomo de carbono aromático é improvável pela mecânica quântica, enquanto que o mecanismo do complexo intermediário não só foi aceitável mas também suportada pelas significantes analogias com outros fenômenos.

O mecanismo do complexo intermediário tem sido reconhecido com bases experimentais (36), e com a formação de complexos de adição pela interação de reagentes nucleofílicos - com substratos aromáticos altamente ativados.

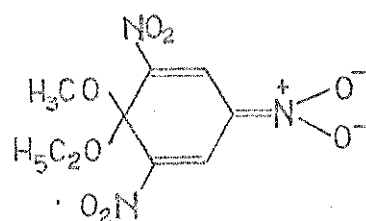
As principais evidências para o mecanismo de dois estágios podem ser sumarizadas da seguinte forma:

a) Complexos de Meisenheimer (complexo T)

Um aspecto fundamental do mecanismo de duas etapas é a formação do complexo intermediário, pela adição do nucleófilo ao carbono aromático, envolvendo mais uma espécie ligada ao centro de reação com consequente mudança na hibridização trigonal sp^2 para tetragonal sp^3 . Por exemplo, para uma reação do íon metóxido com 1-cloro-2,4-dinitrobenzeno, o complexo intermediário teria a estrutura representada abaixo:



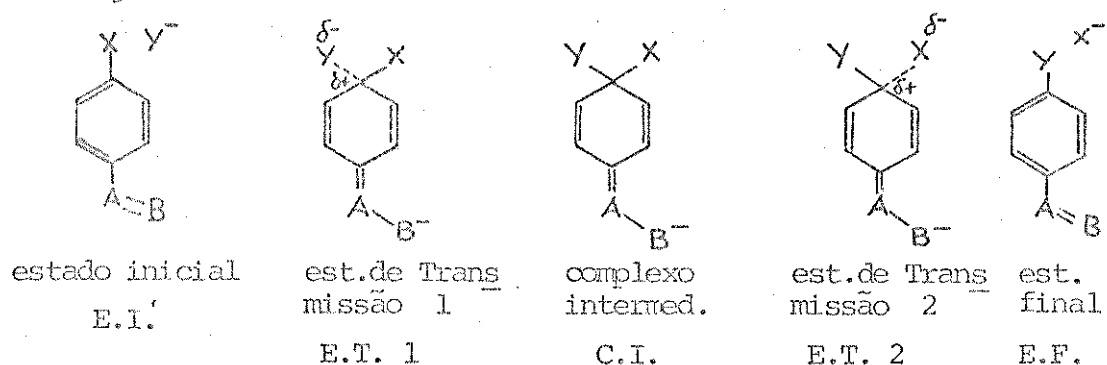
Estruturas deste tipo foram primeiramente propostas por Meisenheimer, (3) em 1902. Ele obteve o mesmo sal quando descobriu exemplos estáveis de sais complexos pelo aquecimento ou do s-trinitroanisol com etóxido de potássio, ou do s-trinitrofenetol com metóxido de potássio e admitiu a estrutura abaixo para o composto isolado.



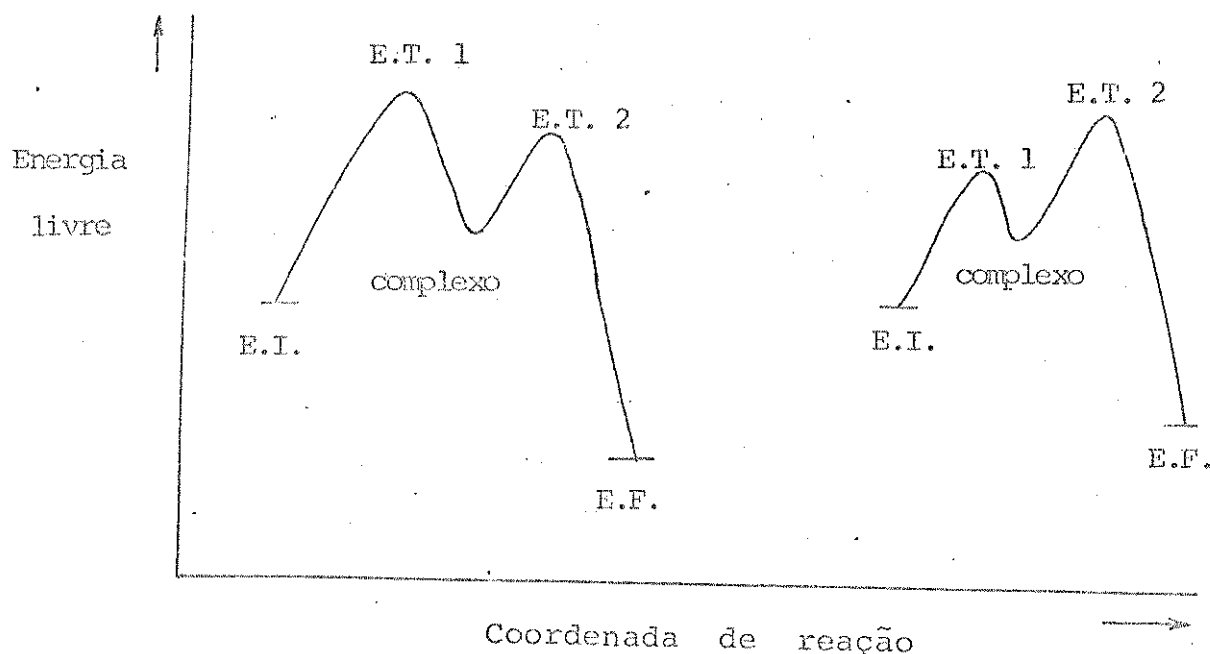
Recentes pesquisas (82,88) confirmaram as estruturas de Meisenheimer, através de modernas técnicas espectroscópicas e sugeriram que este tipo de compostos, embora variando grandemente na estabilidade podem ser formados em muitos outros sistemas.

Com base nesta, e em muitas outras evidências (como por exemplo, efeito do grupo abandonador, evidências isotópicas e a partir de catálise) as quais são incompatíveis com o mecanismo de uma só etapa, pode-se dizer que os substratos aromáticos que reagem pelo mecanismo normal ativado, envolvem a formação do complexo sigma.

A reação passa então através de dois estados de transição, entre os quais forma-se o complexo intermediário, como mostra a figura abaixo:



A etapa determinante da velocidade pode corresponder ao primeiro ou ao segundo estado de transição, dependendo dos fatores envolvidos. Na figura abaixo, os perfis de energia em função da coordenada de reação mostram os estados de transição acima mostrados.



3. - FÔRÇA NUCLEOFÍLICA

3.1. Introdução

Um nucleófilo pode ser definido como um reagente que fornece um par de eletrons na formação de uma nova ligação covalente entre ele mesmo e um outro átomo, no centro de reação do substrato. É um doador de eletrons, sendo geralmente uma espécie com carga negativa, ou uma molécula neutra contendo um par isolado de eletrons. É semelhante à definição de BASE dada por Bronsted (7). Diversos químicos (p.ex. Hine (76)) seguindo Swain e Scott (43) usam o término "nucleofilicidade" para velocidades de reações com bases; e o término "basicidade" para equilíbrios, inclusive de reações com nucleófilos. Deve-se então dizer "basicidade" para o carbono e nucleofilicidade para o hidrogenio.

Contudo os termos "nucleófilo e eletrófilo" e "ácido e base" - tem significados geralmente aceitos, e Miller com seus colaboradores (95d) sugeriram que é mais claro e mais consistente falar de basicidade e nucleofilicidade cinética e termodinâmica, da mesma forma em que, por exemplo os efeitos estéricos são chamados efeitos estéricos cinéticos e termodinâmicos.

Desta forma, a basicidade é nucleofilicidade termodinâmica em relação ao hidrogênio, enquanto que nucleofilicidade é nucleofiliação cinética em relação a um átomo eletrofílico. Então na reação abaixo, a constante de equilíbrio K é uma medida da basicidade de B^- , ou seja



enquanto que a constante de velocidade k da equação abaixo é uma medida da reatividade nucleofílica de Y^- em relação ao carbono alifático saturado, isto é quanto maior k , maior será o poder nucleofílico:



Na substituição nucleofílica bimolecular, a qual passa por um simples estado de transição, a nucleofilicidade cinética envolve tanto a formação da ligação com o nucleófilo quanto a ruptura da ligação com o grupo deslocado. Ambos, formação e ruptura, estão diretamente envolvidos com a reatividade do nucleófilo. Exemplos deste tipo são encontrados nas reações de S_N2 em carbono alifático saturado.

No mecanismo S_N2 aromático (ativado) a reação passa através de um complexo intermediário e de dois estados de transição.

Quando a formação do primeiro estado de transição for a etapa determinante da velocidade, a nucleofilicidade cinética envolve a formação da ligação pelo nucleófilo sem quebra da ligação com o grupo deslocado, não havendo portanto influência do nucleófilo na etapa de ruptura, muito embora a sua eletronegatividade possa influir se, for suficientemente alta, no abaiamento da energia de ativação, na etapa de formação da ligação.

Se a formação do segundo estado de transição for a etapa determinante da velocidade, os fatores que resultam da ruptura da ligação, estarão diretamente envolvidos, e a situação se assemelha com aquelas reações que passam através de um simples estado de transição.

Alguns autores explicam a nucleofilicidade com base nas propriedades intrínsecas dos doadores de elétrons, tais como basicidade, polarizabilidade, e efeito do reagente. Estudos posteriores, revelam que outras interações (ou seja conformação estereoquímica, ligação hidrogênio, etc) influem também na reatividade nucleofílica.

3.2. Propriedades do nucleófilo

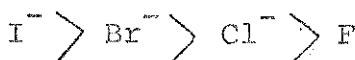
Basicidade: apesar das diferenças já citadas entre basicidade (parâmetro termodinâmico) e nucleofilicidade (parâmetro cinético), as forças básicas dos reagentes são, em alguns casos, bons indicadores de suas reatividades nucleofílicas. Assim, em uma série de nucleófilos de estrutura e condições estéricas semelhantes, as mudanças de basicidade podem estar relacionadas com as diferenças na força nucleofílica.

Esta relação pode ser estabelecida através dos valores de pK_b dos nucleófilos (ou pK_a dos seus ácidos conjugados) com as suas constantes de velocidade, para um substrato padrão. Um exemplo, é a reação de ions fenóxido com 1-cloro-2,4-dinitrobenzeno a qual mostra uma relação linear (59).

Porém, nem sempre deve-se considerar a nucleofilicidade relacionada com a basicidade. Isto é mostrado através da força básica dos halogenios em solventes protonicos, o qual deduzido da força dos seus ácidos conjugados tem a seguinte ordem:



No entanto, a nucleofilicidade para S_N no carbono saturado em solventes protonicos, entre os halotos, mostrou a seguinte ordem:



Isto mostra o cuidado que se deve ter ao relacionar basicidade (termodinamica) com nucleofilicidade (cinética), embora seja aceita a existência de alguns fatores comuns a ambos. Além das diferenças das contribuições destes fatores, a força cinética sofre a influência de um outro fator: a polarizabilidade.

Polarizabilidade: Segundo Branch e Calvin (27) em 1941, já afirmava que nucleófilos com alta polarizabilidade eram mais reativos do que se previa através de suas basicidades. De acordo com muitos pesquisadores (47,52,81) a polarizabilidade é um dos maiores fatores que determinam a nucleofilicidade.

Edwards e Pearson (59) indicaram, através de uma variedade de substratos, como a basicidade e polarizabilidade estão relacionadas com a nucleofilicidade do reagente. Assim, para uma reação de deslocamento, a basicidade do reagente em relação ao proton, terá uma influência primordial na velocidade da reação, se no estado de transição o centro eletrofílico do substrato for semelhante ao proton. De acordo com a equação proposta por Edwards (47,52), ou seja:

$$\log \frac{k}{k_0} = A P - B H$$

onde

k_0 = constante de velocidade para a água atuando como nucleófilo.

k = constante de velocidade correspondente para qualquer outro nucleófilo.

A, B, = constantes.

P = polarizabilidade

H = basicidade em relação ao proton

a constante de basicidade B, irá aumentar quando a carga positiva sobre o substrato aumenta, enquanto que P, polarizabilidade do nucleófilo, irá influir no abaixamento de energia do complexo ativado, dependendo da natureza do substrato.

Edwards e Pearson (47,52) também associaram a polarizabilidade dos orbitais d vazios. Estes orbitais segundo eles, poderiam ser preenchidos por alguns eletrons do reagente no estado de transição, e por alguns eletrons do substrato. O resultado disso seria uma considerável redução nas forças de repulsão de Pauli entre os eletrons não ligantes do grupo em ligação e do substrato.

Segundo Miller (83,91) a polarizabilidade é um fator favorável pois permite um melhor balanceamento entre os aspectos favoráveis e desfavoráveis. Por exemplo, um nucleófilo aniónico polarizável é capaz de formar uma maior fração de ligação que um anion não polarizável quando ambos perdem iguais frações de energia de desolvatação.

- 3.3. Efeito- α - reagentes como hidrazina, hidroxilamina, anions de peróxidos de hidrogenio, e outros, mostram maior reatividade nucleofílica que poderia ser mostrada pelas correlações de basicidade e polarizabilidade, em algumas reações. Um ponto comum entre estes nucleófilos de reatividade aumentada é que eles possuem pelo menos um par de eletrons desemparelhados no átomo adjacente ao átomo nucleofílico (efeito- α).

Edwards e Pearson (47,52) notaram que o átomo nucleofílico reparte o par de eletrons tornando-se "eletron-deficiente". Sendo assim, assumem que a disponibilidade de um par-de-eletrons, no átomo vizinho, irá estabilizar o átomo "eletron-deficiente".

Um conceito mais recente e bastante aceito, é que existe uma interação desfavorável entre os pares de eletrons vizinhos, no estado inicial, e que é aliviada com a formação do estado de transição.

3.4. Solvatação (Influência do meio)

As velocidades de reação S_N^2 -aromática de nucleófilos anionicos com substratos neutros são aumentadas de $10^3 - 10^7$ ao se mudar o solvente protonico para dipolar aprotônico, enquanto que as velocidades de reação de nucleófilos neutros (Me_2S , C_2H_5N) são muito pouco afetadas (72).

Miller e Parker (69,72) estudaram detalhadamente os efeitos de solventes nas reações de S_NAr .

Solventes protonicos, sendo os mais importantes os hidroxílicos, tem em geral as duas extremidades do dipolo facilmente acessível por anions e cations. Com o proton ligado a um átomo bem eletronegativo há também formação de pontes de hidrogenio com anions pequenos de alta densidade eletrônica e de baixa polarizabilidade. Então tais solventes são bons para solvatar cations e anions, mas especialmente favoraveis para anions.

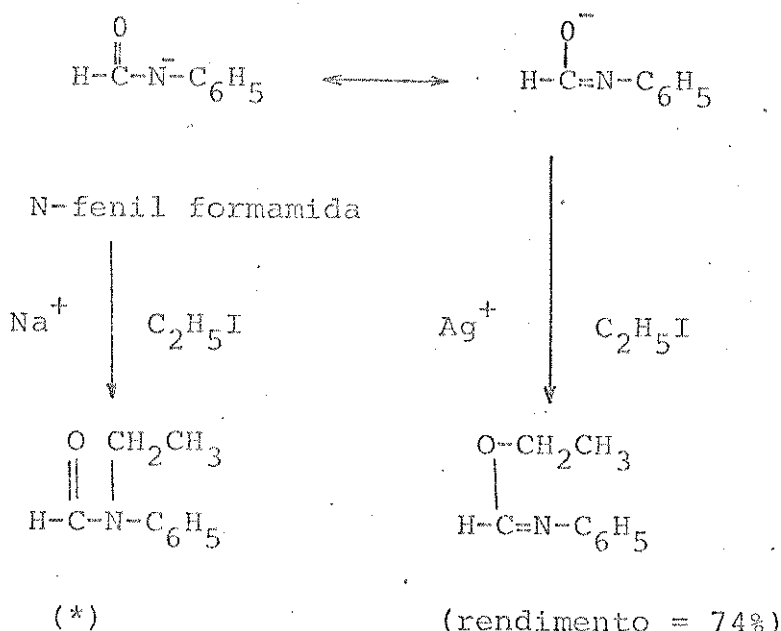
Em contraste, solventes aprotônicos dipolares, por exemplo DMSO, DMF, acetonitrila, nitrobenzeno e acetona, tem somente a extremidade negativa do dipolo bem acessível por cations, enquanto que a extremidade negativa dificulta a aproximação de anions.

A energia de solvatação dos anions, é em geral menor quando se empregam dipolares aprotônicos, do que quando se utilizam solventes protônicos. Esta diferença acentua-se mais ainda quando os anions são pequenos, pois ficam bem solvatados pelos solventes - protônicos- No caso de ions grandes e polarizáveis é possível que o maior momento de dipolo dos solventes dipolares aprotônicos (em geral) possa superar o efeito já indicado.

3.5. NUCLEÓFILOS AMBIENTES

Um exemplo típico da reatividade em mais de um ponto na molécula do substrato, quando se utiliza o mesmo reagente, é a alquilação de amidas na presença de sais. Nestas reações os sais de prata favorecem fortemente a α -alquilação, enquanto que os sais de metais alcalinos dão produtos N-alquilados (51).

Este fato é facilmente compreendido uma vez que o íon prata favorece a formação do ion carbonio. Então durante a formação do estado de transição, a ligação entre o eletrófilo e o grupo de deslocado é enfraquecida ficando um pouco mais polar que inicialmente. Trata-se de uma ligação electrostática com pouca formação de ligação covalente. Dessa forma, a reatividade é controlada pela densidade eletrônica que neste caso é maior no íon oxigênio que no nitrogênio. As reações abaixo mostram um exemplo deste grupo de compostos:

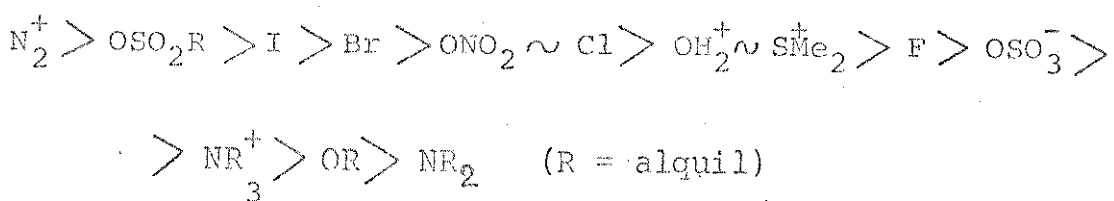


(*) embora não seja dado o rendimento desta reação, muitos exemplos são conhecidos nos quais os sais de sódio das amidas dão 62-96% de rendimento nas amidas N-alquiladas.

Quando a formação da ligação covalente é um fator importante do estado de transição, então o caráter S_N2 é dominante e, a alquilação ocorre no átomo que tem a menor densidade eletrônica, mas que intrinsecamente é mais nucleofílico. Neste caso a ligação é covalente, não electrostática e o fator mais importante é a energia de ionização. É o que ocorre nas reações com metais alcalinos.

4. - MOBILIDADE DO GRUPO DESLOCADO

Entre outros fatores a mobilidade do grupo deslocado (também chamado grupo fugitivo ou grupo abandonador), pode ser influenciado pelo nucleófilo, principalmente quando o grupo expelido é um halogenio. Em relação ao grande número de estudos sobre as reações de S_N2 alif. sat., a mobilidade de grupos fugitivos foi relativamente pouco estudada. Contudo Hine (76) apresentou uma ordem de mobilidade para esta classe de reações, que é a seguinte;

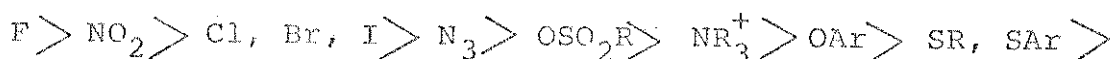


Em reações não catalizadas, a ordem de mobilidade dos halogenios em reações S_N2 alif. sat. é:



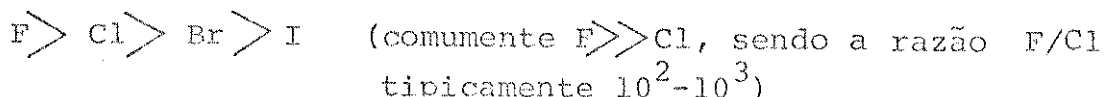
Esta mesma ordem, porém com diferenças aumentadas foi encontrada nas reações de S_N1 alif. sat.

Em 1951, Bunnett e Zahler (38) apresentaram em sua revisão a ordem para as S_NAr :



$SO_2R > NR_3^-$ (R = alquil), e comentou que esta ordem varia com o reagente.

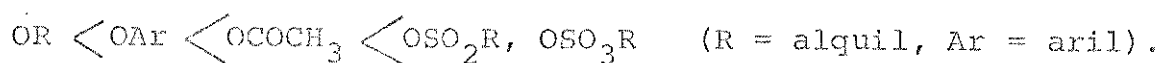
Nas reações S_N2Ar ativadas, a ordem de mobilidade depende marcadamente do reagente. Isto pode ser ilustrado pelo fato que, quando o átomo nucleofílico pertence a primeira fila horizontal da Tabela Periódica, particularmente em solventes protonicos, a ordem é:



enquanto que com a maioria dos outros nucleófilos, a ordem é invertida, seguindo essencialmente o padrão das S_N alif.

A mobilidade dos halogenios nas reações $S_Nalif.$ insaturadas foram pouco investigadas mas parecem (62,79) ser intermediárias entre as alifáticas e aromáticas.

Nas reações $S_Nalif.$, bem como nas S_NAr , é esperado o aumento de mobilidade de grupos fugitivos OX^- , quando a eletronegatividade de Z é aumentada, e quando há estabilização de OX^- por efeitos indutivos ou de conjugação (39). Desta forma, encontra-se a seguinte ordem de mobilidade:



5. APROXIMAÇÃO QUANTITATIVA PARA SUBSTITUIÇÕES NUCLEOFÍLICAS AROMÁTICAS

Em 1963, Miller (83) apresentou um método para o cálculo da energia de ativação em reações de S_N aromáticas, o qual foi extendido também para calcular a energia livre de reação. Este método utiliza o conceito de um intermediário complexo ciclohexadieneto, e foi aplicável primeiramente para as reações de reagentes anionicos com substratos neutros.

Usando as energias de ligação, a energia de ionização, a afinidade eletrônica, a energia de solvatação e considerando a reorganização de eletrons, foram estimados os níveis de energia dos estados inicial e final em relação ao intermediário complexo. Usando os postulados de Hammond, e uma curva semi-empírica, a qual relaciona a porcentagem de energia de dissociação da ligação com o grau de endo- ou exo-termicidade, foram também estimados os níveis dos dois estados de transição. Estes cálculos foram efetuados para vinte substituições aromáticas de reagentes anionicos, incluindo os mais diversos tipos de reações, tais como reações lentas e rápidas, reações que formavam intermediários estáveis, reações que entravam em equilíbrio e outras.

6. PARTE EXPERIMENTAL

6.1. - MATERIAIS E APARELHOS

6.1.1. - MATERIAIS

6.1.1.1. - Reagentes

Alguns reagentes utilizados nas determinações cinéticas foram sintetizados e purificados, sendo suas técnicas de preparação descritas no item 6.5. Constaram dos seguintes compostos: 1-bromo-2,4-dinitrobenzeno, p-toluenosulfonato de metila, sulfato de metilguanidinio, sulfato de NN-dimetilguanidinio, brometo de sim-trimetilguanidinio, cloreto de acetamidinio e N-metiltioureia.

Os outros reagentes foram adquiridos na forma P.A., os quais constituíram-se dos seguintes compostos: cloreto de guanidinio, NN'-dimetiltioureia e tetrametiltioureia. O produto 1-cloro-2,4-dinitrobenzeno, de origem comercial, foi purificado antes do seu uso.

6.1.1.2. - Solventes

Foram empregados dois solventes nas determinações cinéticas: acetonitrila e etanol. Ambos foram purificados de acordo com as técnicas descritas no item 6.5.2 (pág. 47).

6.1.2. - APARELHOS

6.1.2.1. - pHmetro METROHM - modelos E-516 e E-512

a) Titulação ácido-base

Foi utilizado o pHmetro para as titulações ácido-base em geral. Os eletrodos de vidro e de referência foram imersos na solução da amostra contida em um bequer provida de uma barra magnética, e colocado sobre o agitador. Com o auxílio de uma microbureta, foram adicionados volumes conhecidos da solução titulante, e as leituras eram efetuadas diretamente na escala de pH do aparelho.

Para cada titulação obteve-se uma curva de pH vs volume de titulante adicionado.

A calibração do aparelho foi feita previamente com solução tampão padronizada.

b) Titulação de halatos

O mesmo aparelho (pHmetro E-516) foi usado. O método foi o mesmo utilizado para a titulação ácido-base, porém com substituição do eletrodo de vidro por um de prata. As leituras foram efetuadas diretamente na escala de mV do aparelho.

Para cada titulação obteve-se uma curva de mV vs volume do titulante adicionado.

6.1.2.2. - Condutometro METROHM - modelo E-382, de alcance: 10 a 10^5 ohms e com precisão de $\pm 2\%$ do valor medido.

6.1.2.3. - Recipiente de reação para condutometria

Foi utilizado um recipiente de vidro Pyrex (R) com 3cm de diâmetro e 13,5cm de altura, possuindo a extremidade inferior fechada e plana, a fim de permitir o uso de uma barra magnética M, de um agitador magnético. O recipiente possui uma saída lateral (H) para colocar um termômetro. A célula de condutividade EA-608 foi então adaptada ao recipiente(R) mediante uma rolha de Teflon (T). O conjunto é fixo no banho termostático através de um suporte de borracha (S).

A figura 10 mostra o desenho esquemático do recipiente de reação, e a figura 11 é um esquema da aparelhagem usada na medida cinética.

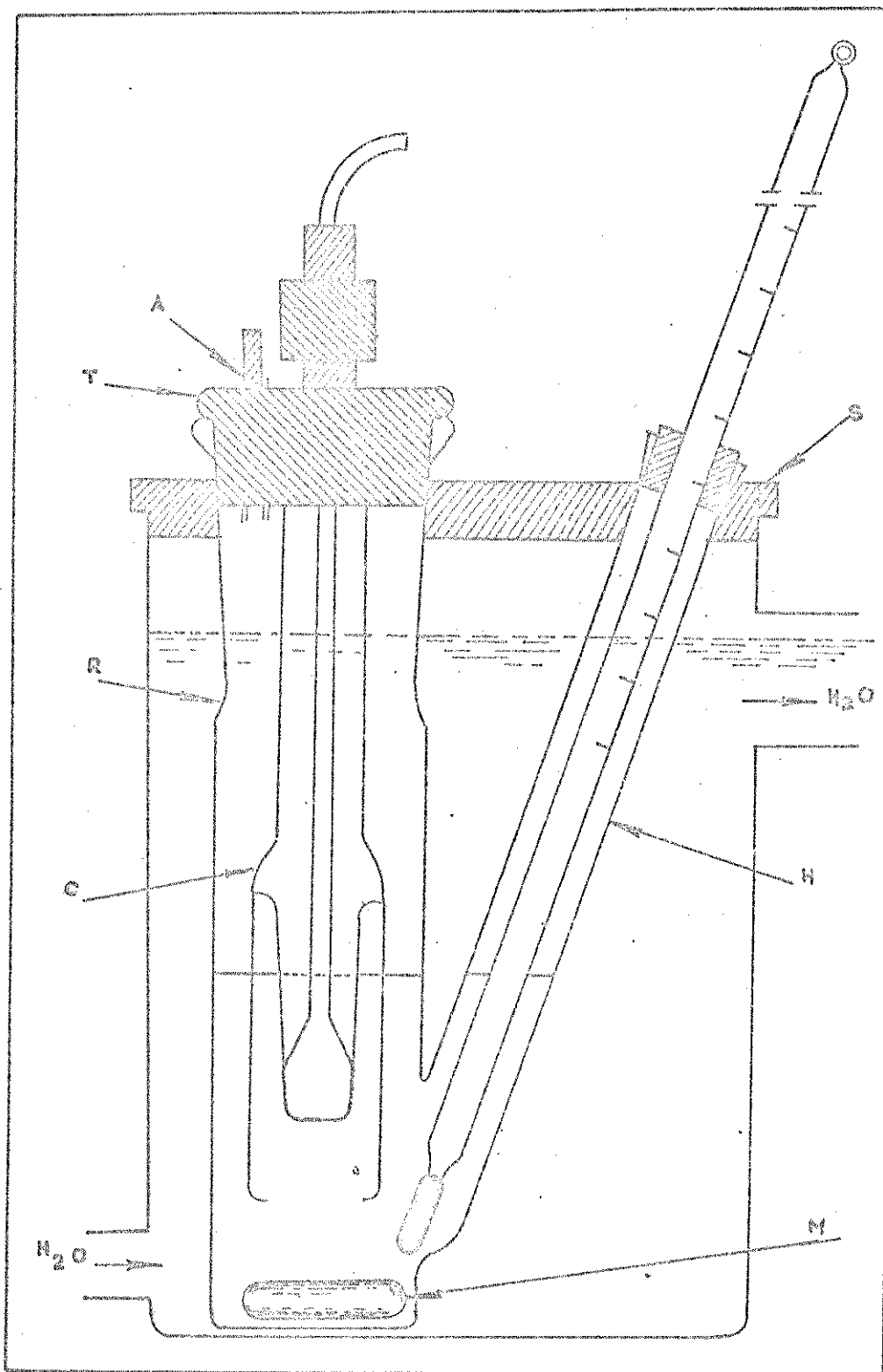


Fig: 10- Desenho esquemático do recipiente de reação com a célula e o termômetro no banho Termostático.

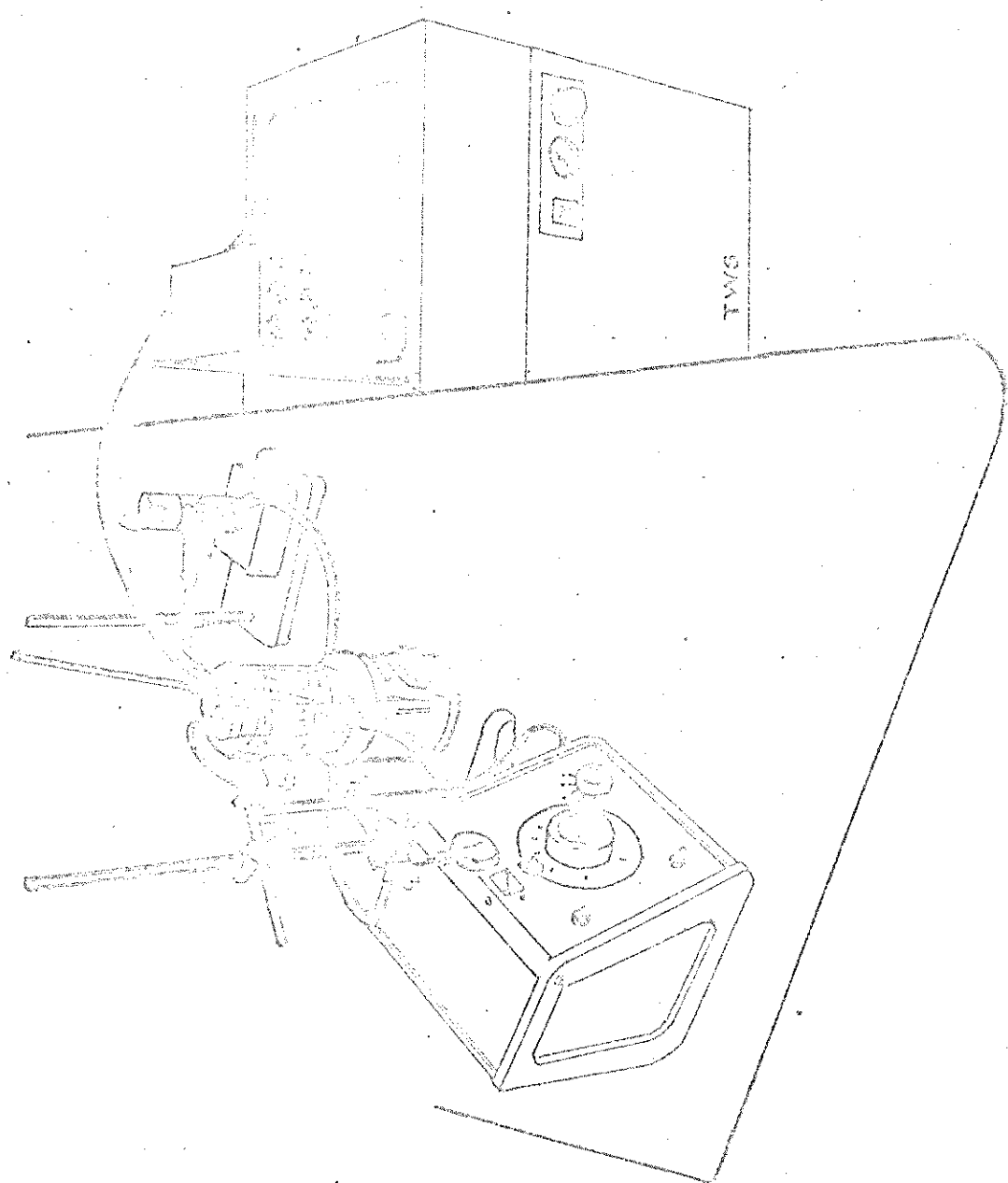


Fig. 11 - Recipiente de reação, célula e banho termoestático sobre o qual se realizou o ensaio.

6.1.2.4. - Célula de condutividade

Foi utilizado o modelo EA-608 de constante igual a $0,67\text{cm}^{-1}$ da METROHM.

6.1.2.5. - Termostato (de -40,0°C a +110,0°C)

Foi utilizado um termostato HETOTHERM tipo PG, acoplado a uma unidade auxiliar de resfriamento Hetofrig, e com intervalo útil de temperatura de -40,0 a 110,0°C.

Precisão: $\pm 0,01^\circ\text{C}$

Para temperaturas até 20,0°C foi utilizado um banho de etanol (destilada), enquanto que para temperaturas acima de 20,0°C foi utilizado um banho de água destilada.

6.1.2.6. - Termostato (-50,0°C a +200°C)

Foi utilizado um termostato THERMOMIX 1460, da B. Brown Mel sungen AG, com intervalo útil de temperatura de -50,0°C a +200,0°C.

Precisão: $\pm 0,01^\circ\text{C}$.

Este termostato foi utilizado no intervalo de 15,0 a 47,0°C, em banho de água destilada.

6.1.2.7. - Termostato (-30,0°C a +40,0°C)

Foi utilizado um termostato COLORA de fabricação da Mess-technick GMBH Lorch/Nurtt com intervalo útil de temperatura de -30,0°C a 40,0°C.

Precisão: $\pm 0,1^\circ\text{C}$.

Foi utilizado com banho de etanol (destilado), no intervalo de -1,0°C a 30,0°C.

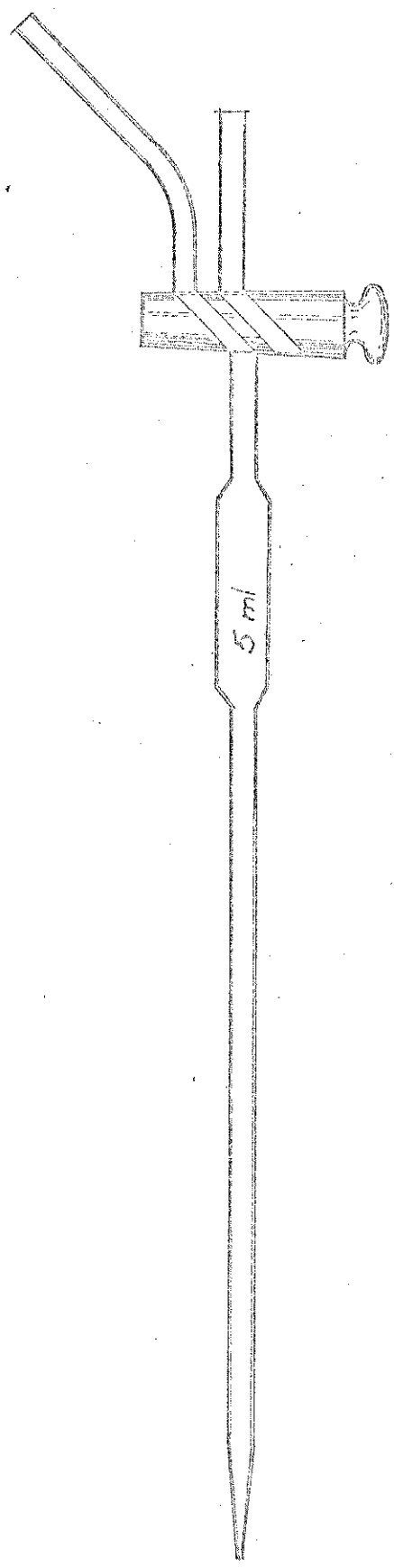
6.1.2.8. - Pipetas de volume constante

Foram construídas pipetas, com a capacidade de 5ml, conforme a fig.12, contendo na extremidade superior, duas saídas e uma torneira, a fim de se obter um volume constante.

6.1.2.9. - Buretas

Foram usadas buretas "Assistent" (Western Germany), de 50 ml de capacidade, com intervalo de graduação igual a 0,1ml.

Fig. 12.- PIPETA DE VOLUME CONSTANTE



Foram utilizadas microburetas, com capacidade de 5ml e intervalo de graduação igual a 0,01ml.

6.1.2.10.- Aparelho de ponto de fusão

Foi utilizado um aparelho com placa de aquecimento, segundo Kofler, instalado em um microscópio modelo THERMOPAN (C. Reichert Optische Werke A.G.)

6.1.2.11.- Calculadora HEWLETT - PACKARD - 9820-A modelo 20

6.1.2.12.- Computador PDP - 10 Digital - pertencente ao centro de computação da Universidade de Campinas através do Terminal - instalado no Instituto de Química da UNICAMP.

6.2. - PROCESSO GERAL PARA AS DETERMINAÇÕES CINÉTICAS

6.2.1 - PROCESSO TITULOMÉTRICO

TÉCNICA PARA A DETERMINAÇÃO DA CONSTANTE k

Aproximadamente 0,001 moles do substrato foram exatamente pesados e dissolvidos em etanol absoluto, num balão volumétrico de 25 ml. Através de uma pipeta aferida foi colocado em um balão volumétrico de 50 ml, o volume do reagente atacante correspondente a 0,002 moles de base livre.

Para reações abaixo ou igual a 40°C, os frascos contendo os reagentes, juntamente com um outro contendo o solvente (etanol absoluto) foram colocados no termostato e deixados por 10 minutos a fim de se obter o equilíbrio térmico. A seguir foram juntados os reagentes, e o volume elevado para 50 ml com o solvente.

Foi marcado o tempo zero segundos quando se retirou do frasco de reação, a primeira amostra, através da pipeta de volume constante, e adicionada dentro de um bequer contendo o ácido nítrico para a parada de reação.

Para reações acima de 40°C, os reagentes foram juntados em um banho contendo agua-gelo, e através de uma pipeta de volume constante, as amostras eram colocadas em tubos de ensaio, que eram selados após resfriados em banho de gelo-seco. A seguir todos os tubos foram colocados juntos no termostato (através de um suporte metálico para tubos), e deixados durante 10 minutos para atingir o equilíbrio térmico.

Os tubos foram retirados em tempos apropriados, resfriados logo a seguir em gelo para retardar a reação, e então quebrados dentro da solução de ácido contida no bequer. Juntou-se também as aguas de lavagem de cada tubo ao bequer de amostras.

As concentrações dos ions haleto, presentes em cada amostra foram determinados por titulação potenciométrica com solução de nitrato de prata padronizada. A seguir foram feitos os cálculos para a obtenção do valor de k .

6.2.2 - PROCESSO CONDUTOMÉTRICO

a) TÉCNICA PARA A DETERMINAÇÃO DA CONSTANTE k

Quando uma reação se dá com mudança no número ou no tipo de ions presentes, de modo que a condutividade elétrica muda, as medidas de resistência oferecem um conveniente e preciso meio de seguir o curso da reação.⁽⁷⁰⁾ Uma restrição deste método é que o solvente empregado precisa ter alta constante dielétrica e, ser um bom solvatante a fim de se obter uma boa relação entre a resistência e a concentração.

Sendo a resistência inversamente proporcional à conductância, e esta proporcional à concentração, a medida que as moléculas neutras vão formando ions, a resistência vai diminuindo durante a reação.

As medidas condutométricas constituíram-se de duas determinações:

- a-1. - Obtenção da curva de calibração;
- a-2. - Medidas cinéticas.

a.1) OBTENÇÃO DA CURVA DE CALIBRACÃO

A relação entre concentração e resistência foi obtida através das curvas de calibração do produto de reação entre o substrato e o reagente. Para isso foi primeiramente sintetizado o produto de reação e a seguir, pesado exatamente e dissolvido com solvente apropriado obtendo-se uma solução 0,0600 M.

A seguir foram preparadas várias amostras com concentrações variando entre 0,0200M a 0,0400M através da solução inicial (0,0600M). Para cada amostra, foram efetuadas as medidas de resistência, lidas diretamente no condutometro, colocando-se 30,00 ml da solução no recipiente de reação juntamente com a célula de condutividade e efetuando-se a leitura cinco minutos após a colocação no termostato, à temperatura determinada. As medidas foram feitas a quatro temperaturas diferentes. As curvas de calibração foram obtidas traçando os gráficos de Resistência (κ_m) vs concentração (Molar), para cada temperatura.

a.2) DETERMINAÇÕES CINÉTICAS

Aproximadamente 0,012 moles de substrato foram exatamente pesados e dissolvidos em acetonitrila, num balão volumétrico de 10,0 ml. Analogamente, foi pesado o reagente e dissolvido até 20 ml com o mesmo solvente.

Para reações até 70°C, o reagente foi colocado no recipiente de reação juntamente com um agitador magnético e a célula de condutividade enquanto que o substrato foi termostatizado, separadamente no balão volumétrico. Após cinco minutos, o reagente foi adicionado ao recipiente de reação, totalizando um volume de 30,0 ml. Foi então marcado o tempo de zero segundos, e iniciadas as medidas de resistência em função do tempo, à temperatura determinada.

Para reações acima de 70°C, foi utilizada uma célula de condutividade fechada, construída de acordo com a figura nº 10. Para este caso, tanto o reagente quanto o substrato foram colocados juntos na célula, com capacidade de 15,0 ml. A seguir após a selagem a mesma foi introduzida no termostato, à temperatura determinada, e após cinco minutos foi marcado o tempo e iniciadas as leituras.

Através das curvas de calibração, foi possível determinar as concentrações de sal formado para cada medida de resistência, na temperatura correspondente.

Os cálculos para a determinação da constante k , foram os mesmos utilizados no processo titulométrico.

6.3. ~ CÁLCULO DAS CONSTANTES DE VELOCIDADE

A equação geral para o deslocamento nucleofílico é:



onde as reações são de primeira ordem em relação a cada um dos reagentes.

Quando o reagente atacante Y^- está presente inicialmente na mesma concentração que o substrato aromático ArX , a velocidade de reação após um certo tempo t é dada por:

$$\frac{dx}{dt} = k_2 (a-x)^2$$

onde,

a = conc. do substrato (ArX) = conc. da base Y^-
e é dado em mol.l^{-1} ;

x = conc. do substrato e reagente que reagiu,
dado em mol.l^{-1} ;

$(a-x)$ = quantidade de composto que não reagiu, da
do em mol.l^{-1} ;

t = tempo (s);

k_2 = constante de velocidade de 2a. ordem dada
em $\text{l.mol}^{-1} \cdot \text{s}^{-1}$.

O valor da constante k_2 pode ser determinado por dois processos:

Proc. 1 - Através da determinação da conc. da base não reagida (Y^-).

Proc. 2 - Através da determinação da conc. do ion haleto formado.

Processo nº 1.: Para se estimar analiticamente a quantidade de base não reagida, se um volume (V_a) de um ácido padrão de normalidade N_a é titulado contra um volume V_m da mistura de reação, então:

$$\text{base não reagida} = (a-x) = \frac{N_a \cdot V_a}{V_m}$$

Traçando o gráfico de $1/(a-x)$ vs tempo, obtém-se uma linha reta, a reação é de segunda ordem.

A inclinação da reta dará o valor de k_2 .

Processo nº 2.: Para se estimar o valor de $(a-x)$ determina-se a concentração do ion haleto, a qual é igual a x (quantidade de composto reagido). Os haletos são determinados por titulação com nitrato de prata. Se :

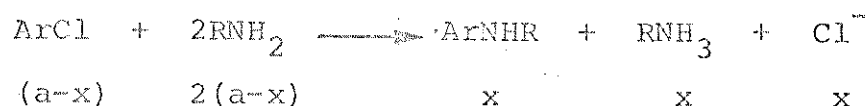
N = normalidade da solução de nitrato de prata
 V = volume da sol. de nitrato de prata usada equivalente ao ion haleto total produzido no tempo t ,

$$N_{Cl} = x = \frac{N \cdot V}{V_m}$$

Analogamente, o gráfico:

$1/(a-x)$ vs tempo dará uma reta se a reação for de segunda ordem, cuja inclinação será o valor de k_2 .

Aminas primárias e secundárias reagem com compostos aromáticos clorados, de acordo com a equação:



sendo necessários dois equivalentes de amina, uma para deslocar o cloro, e o segundo para neutralizar o ácido clorídrico, produzido na primeira etapa.

Se,

a = conc. do composto clorado;

$2a$ = conc. da amina

então:

$$\begin{aligned} \frac{dx}{dt} &= k_2 (a-x) 2 (a-x) \\ &= 2k_2 (a-x)^2 = \\ &= K (a-x)^2 \end{aligned}$$

sendo que:

$$K = \frac{x}{t \cdot a (a-x)} \quad \text{onde } K = 2k_2.$$

6.4. - CÁLCULO DOS PARAMETROS DE ARRHENIUS

A equação de Arrhenius é:

$$k_2 = Be^{-\Delta E^\ddagger/RT}$$

onde

ΔE^\ddagger = energia de ativação (kcal.mol⁻¹)

B = fator de frequência

T = temperatura absoluta (K)

k_2 = constante de velocidade de segunda ordem
(l.mol⁻¹.s⁻¹).

A forma integrada é dada por:

$$\log_{10} k_2 = \frac{-\Delta E^\ddagger}{2,303 RT} + \log_{10} B.$$

O gráfico de $\log k_2$ vs $1/T$ dá uma linha reta de inclinação N da qual a energia de ativação ΔE^\ddagger pode ser deduzida, isto é:

$$N = \frac{-\Delta E^\ddagger}{2,303 R} \quad \text{ou} \quad \Delta E^\ddagger = -2,303 RN,$$

$$\text{e} \quad \log B = \log k_2 - N/T.$$

Os valores de ΔE^\ddagger e log B podem ser determinados através de um conjunto de medidas de velocidade de reação a diferentes temperaturas de acordo com a equação

$$\Delta E^\ddagger = \log_{10} \frac{k_1}{k_2} \cdot \frac{(T_1 - T_2)}{2,303 R}.$$

Dos valores de ΔE^\ddagger e log B, as constantes de velocidade podem ser estimadas para qualquer outra temperatura desejada. A entropia de ativação ΔS^\ddagger , pode ser obtida da equação onde a constante de velocidade é dada em segundo como unidade de tempo:

$$\Delta S^\ddagger / 4,576 = \log k - 10,753 - \log T + \Delta E^\ddagger / 4,576 T.$$

ΔS^\ddagger tem unidade de cal. mol⁻¹.grau⁻¹, as vezes referida como unidades de entropia (u.e.).

Para se calcular ΔS^\neq através da equação acima, basta substituir o valor experimental da constante de velocidade e os valores correspondentes de temperatura absoluta e energia de ativação ΔE^\neq .

Os valores de entalpia de ativação (ΔH^\neq) e de energia livre de ativação (ΔG^\neq) determina-se através das equações seguintes:

$$\begin{aligned}\Delta H^\neq &= \Delta E^\neq - RT \\ \Delta G^\neq &= \Delta H^\neq - T \Delta S^\neq \\ \text{ou} \quad \Delta G^\neq &= \Delta E^\neq - RT - T \Delta S^\neq\end{aligned}$$

6.5. - REAÇÕES DE ALGUNS NUCLEÓFILOS DO TIPO:

$>C = Nu$ (onde $Nu = N$ ou S)

6.5.1. - SUBSTRATOS

Foram utilizados os seguintes substratos:

(87)

- a) 1-cloro-2,4-dinitrobenzeno - o produto comercial foi recristalizado várias vezes em etanol, obtendo-se cristais amarelo-pálidos, com ponto de fusão igual a 51,0°C (Lit.= 50,5°C).
- b) 1-bromo-2,4-dinitrobenzeno

Preparação: uma mistura de 30ml de ácido nítrico fumegante e 70ml de ácido sulfúrico concentrado, foi colocada em um erlenmeyer contendo um termômetro, um funil de separação e um agitador magnético.

Com a mistura a 65°C, foram adicionados, gota a gota, 21,6 ml de bromobenzeno. Durante esta operação que levou aproximadamente 2 horas e meia, a temperatura foi mantida entre 70 - 75°C. A seguir a mistura foi aquecida em banho-maria - por mais duas horas.

A solução resultante foi então derramada sobre 2 litros de agua-gelo. O sólido precipitado foi lavado com água quente, depois com água fria e recristalizado duas vezes em etanol. Obteve-se cristais amarelo-pálidos com ponto de fusão igual a 74 - 75°C (Lit.= 75°C).

- c) p-toluenosulfonato de metila (29b)

Preparação: 188ml de metanol P.A. foram colocados em um balaõ, resfriado num banho de gelo-sal. A seguir foram adicionados, com agitação mecânica, 15g de cloreto de p-toluenosulfônico. Através de um funil de separação foram introduzidos 210g de uma solução aquosa, a 25%, de hidróxido de sódio, mantendo-se a temperatura entre 23 e 27°C. A seguir a mistura foi deixada em repouso, por algumas horas, num funil de separação. Após a separação das fases, a camada oleosa foi lavada com água, e colocada durante uma noite em contacto com sulfato de sódio anidro. No dia seguinte, após filtração, o óleo foi colocado no refrigerador. O produto solidificado apresentou ponto de fusão de 26 a 28°C (Lit.= 28°C).

6.5.2. - SOLVENTES

Foram utilizados os seguintes solventes:

a) Ethanol absoluto (56)

Um litro de alcool "absoluto" foi colocado em um balão com 250g de óxido de cálcio anidro, e refluxado durante seis horas. A seguir foi cuidadosamente destilado, desprezando-se os primeiros 10ml. O acetaldeído presente no produto comercial foi removido por refluxo do destilado, durante 4 horas, com 10g de nitrato de prata P.A. e 1g de hidróxido de potássio P.A. A seguir, o etanol foi recolocado em um balão juntamente com 7g de sódio limpo e seco. Após total reação do sódio, foi introduzida 27,5g de ftalato de etila puro, e a mistura foi refluxada por 2 horas. O etanol foi então destilado, desprezando-se os primeiros 25ml e coletado à temperatura de 78,4°C.

b) Acetonitrila

Um litro de acetonitrila P.A. foi deixada em contacto com sulfato de sódio anidro, por uma noite. No dia seguinte, após filtração do sal, a acetonitrila foi tratada com 1ml de ácido sulfúrico concentrado e submetida a destilação fracionada, recolhendo-se o destilado a 80°C em um balão protegido com tubo de Cloreto de Cálcio. Os primeiros 25ml foram abandonados.

6.5.3. - TABELAS E GRÁFICOS

Para todas as reações, foram anexadas tabelas contendo os valores calculados, pelo processo geral, para a obtenção da constante de velocidade (k_2).

A fim de exemplificar a determinação da constante k_2 , foi anexado um gráfico correspondente a uma das medidas cinéticas efetuadas.

Partindo-se dos valores de k_2 e das temperaturas correspondentes, foram obtidos os parâmetros e o gráfico de Arrhenius para cada reação estudada.

NOTA: As soluções-padrão utilizadas estão descritas no Apêndice (pag. 144).

DEVIDO A POSSIBILIDADE DE UM ATAQUE COMPETITIVO PELA BASE CONJUGADA DO SOLVENTE, NA AUSÊNCIA DE SAL, AS MEDIDAS FORAM EFETUADAS NA PRESENÇA DE SEU ÁCIDO CONJUGADO. PARA MOSTRAR ESTA NECESSIDADE, DECIDIU-SE FAZER UMA MEDIDA CINÉTICA COM O REAGENTE NA AUSÊNCIA DE SEU ÁCIDO CONJUGADO. PARA ESSE EXEMPLO FOI ESCOLHIDA A REAÇÃO DO CLORETO DE GUANIDINIO COM 1-CLORO-2,4-DINITRO-BENZENO EM ETANOL ABSOLUTO.

6.5.4. - NUCLEÓFILOS DO TIPO $> \text{C}=\text{N}$

6.5.4.1. - REAÇÃO DE 1-CLORO-2,4-DINITROBENZENO COM GUANIDINA EM ETANOL ABSOLUTO.

1. Reagentes

- a) 1-cloro-2,4-dinitrobenzeno - purificado de acordo com o item 6.5.1-a
- b) Cloreto de guanidínio - foi utilizado o produto P.A.

2. Solvente

Etanol absoluto - o produto comercial foi purificado de acordo com o processo descrito no item 6.5.2-a

3. Determinação da velocidade de reação

As medidas cinéticas foram efetuadas no intervalo de -0,07 a 29,95°C, utilizando-se o termostato COLORA.

Inicialmente, foi feita a total neutralização do cloreto de guanidínio, com a solução-padrão de etóxido de sódio aproximadamente 0,1N, obtendo-se a solução de guanidina e um precipitado de cloreto de sódio. Após a filtração do sal, foi feita a padronização da solução e a determinação do cloreto presente (devido à solubilidade, apesar de pequena, do cloreto de sódio em etanol). A seguir foi preparada a solução do substrato (1-cloro-2,4-dinitrobenzeno) em etanol, mantendo-se a relação molar:nucleófilo:substrato:: 2:1.

Para as determinações cinéticas foi seguido o processo titulométrico geral. A reação foi interrompida pela solução de ácido nítrico adicionada. Os íons cloreto contidos foram titulados com solução padronizada de nitrato de prata, utilizando-se a escala de mV do pHmetro E-512.

4. Tabelas

REAÇÃO DE 1-CLORO - 2,4-DINITROBENZENO COM GUANIDINA EM ETANOL ABSOLUTO.

DETERMINAÇÃO CINETICA Nº 1

Conc. do composto clorado	= 0,0153 M
Conc. de guanidina	= 0,0306 M
Conc. inicial de cloreto	= 0,0046 M
Conc. de nitrato de prata	= 0,0503 N
Volume de amostra	= 4,7703 ml (*)
Volume de HNO ₃ adicionado	= 10,0 ml
Temperatura	= 20,1 ± 0,05°C

V _{AgNO₃} (ml)	N _{Cl}	x	(a-x)	1/(a-x)	Tempo (seg)
0,465	0,00489	0,00027	0,01505	66,43	0
0,620	0,00653	0,00189	0,01342	74,51	283
0,725	0,00764	0,00300	0,01232	81,19	488
0,945	0,00995	0,00532	0,00999	100,02	1115
1,070	0,01127	0,00664	0,00868	115,18	1670
1,230	0,01296	0,00833	0,00699	143,02	2570
1,450	0,01527	0,01064	0,00468	213,58	4653
1,575	0,01659	0,01196	0,00336	297,62	7069
1,670	0,01759	0,01296	0,00236	423,73	10673

Do graf. 1/(a-x) l. mol⁻¹ vs t (seg) temos:

$$k_2 = 3,40 \times 10^{-2} \text{ l. mol}^{-1} \text{ s}^{-1}$$

REAÇÃO DE 1-CLORO - 2,4-DINITROBENZENO COM GUANIDINA EM ETANOL ABSOLUTO.

DETERMINAÇÃO CINETICA Nº 2

Conc. do composto clorado	= 0,0228 M
Conc. de guanidina	= 0,0456 M
Conc. inicial de cloreto	= 0,0095 M
Conc. de nitrato de prata	= 0,0503 N
Volume de amostra	= 4,8117 ml
Volume de HNO ₃ adicionado	= 10,0 ml
Temperatura	= 20,07 ± 0,05°C

V _{AgNO₃} (ml)	N _{Cl}	x	(a-x)	1/(a-x)	Tempo (seg)
0,990	0,01034	0,00084	0,02196	45,53	0
1,360	0,01420	0,00470	0,01810	55,24	1136
1,500	0,01566	0,00616	0,01664	60,09	2271
1,610	0,01681	0,00731	0,01549	64,55	3194
1,810	0,01890	0,00940	0,01340	74,62	5564
2,070	0,02161	0,01211	0,01069	93,54	9169
2,300	0,02401	0,01451	0,00829	132,68	14011
2,550	0,02662	0,01712	0,00568	176,05	21487
2,575	0,02688	0,01738	0,00542	184,51	26606

Do graf. 1/(a-x) l. mol⁻¹ vs t (seg) temos:

$$k_2 = 5,07 \times 10^{-3} \text{ l. mol}^{-1} \text{ s}^{-1}$$

(*) O volume da amostra foi obtido através de uma pipeta aferida em balança analítica.

REAÇÃO DE 1-CLORO - 2,4-DINITROBENZENO COM GUANIDINA EM ETANOL ABSOLUTO.

DETERMINAÇÃO CINETICA N° 3

Conc. do composto clorado	=	0,0158	M
Conc. de guanidina	=	0,0311	M
Conc. inicial de cloreto	=	0,0068	M
Conc. de nitrato de prata	=	0,0502	N
Volume de amostra	=	4,81175	ml
Volume de HNO ₃ adicionado	=	10,0	ml
Temperatura	=	-0,07	\pm 0,05°C

V _{AgNO₃} (ml)	N _{Cl}	x	(a-x)	1/(a-x)	Tempo (seg)
0,660	0,00689	0,00006	0,01582	63,21	0
0,750	0,00783	0,00100	0,01488	67,20	832
0,850	0,00887	0,00204	0,01384	72,25	2026
0,930	0,00971	0,00288	0,01300	76,92	2906
1,050	0,01096	0,00413	0,01175	85,11	4737
1,220	0,01274	0,00591	0,00997	100,30	8348
1,430	0,01493	0,00810	0,00778	128,53	13712
1,600	0,01670	0,00987	0,00601	166,50	21229
1,660	0,01733	0,01050	0,00538	185,87	26606

Do graf. 1/(a-x) 1. mol⁻¹ vs t (seg) temos:

$$k_2 = 4,81 \times 10^{-3} \text{ 1. mol}^{-1} \text{ s}^{-1}$$

REAÇÃO DE 1-CLORO - 2,4-DINITROBENZENO COM GUANIDINA EM ETANOL ABSOLUTO.

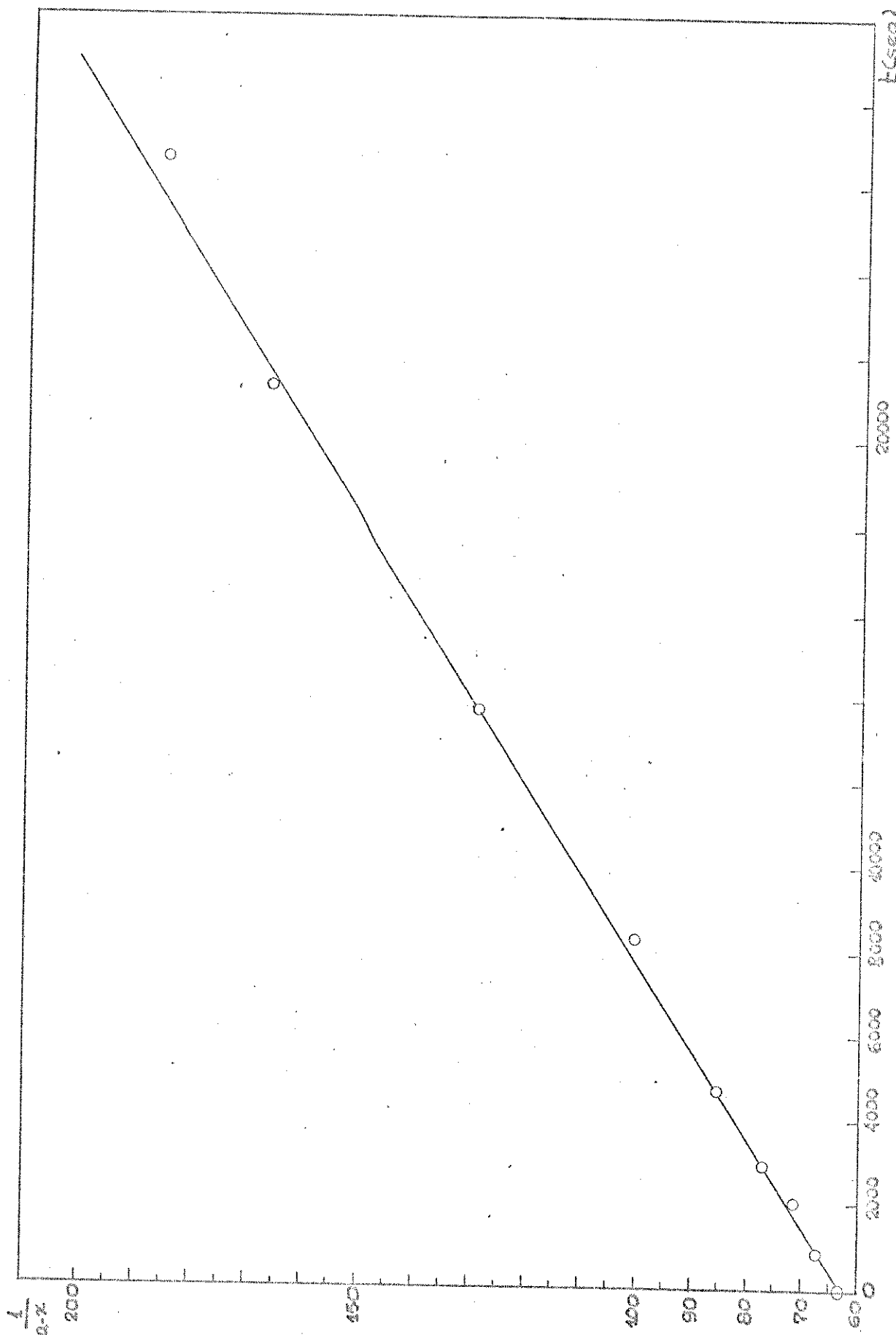
DETERMINAÇÃO CINETICA N° 4

Conc. do composto clorado	=	0,0353	M
Conc. de guanidina	=	0,0707	M
Conc. inicial de cloreto	=	0,0161	M
Conc. de nitrato de prata	=	0,0509	N
Volume de amostra	=	4,9236	ml
Volume de HNO ₃ adicionado	=	10,0	ml
Temperatura	=	29,95	\pm 0,05°C

V _{AgNO₃} (ml)	N _{Cl}	x	(a-x)	1/(a-x)	Tempo (seg)
2,500	0,02585	0,00970	0,02565	38,99	0
2,767	0,02861	0,01246	0,02289	43,69	154
3,267	0,03378	0,01763	0,01772	56,43	396
3,800	0,03929	0,02314	0,01221	81,90	949
4,250	0,04395	0,02780	0,00755	132,45	1647
4,500	0,04653	0,03030	0,00505	198,02	2555
4,700	0,04859	0,03141	0,00394	253,81	3454
4,600	0,04756	0,03244	0,00291	343,64	4653

Do graf. 1/(a-x) 1. mol⁻¹ vs t(seg) temos:

$$k_2 = 6,72 \times 10^{-2} \text{ 1. mol}^{-1} \text{ s}^{-1}$$



Graf. nº 1 - Determinação da constante de velocidade da reação entre 1 cloro,-2,4-dinitrobenzeno e guanidina em etanol absoluto, a $-0,07 \pm 0,05^\circ\text{C}$.

REAÇÃO DE 1-CLORO -2,4-DINITROBENZENO COM GUANIDINA EM ETANOL ABSOLUTO.

DETERMINAÇÃO CINETICA Nº 5

Conc. do composto clorado	=	0,0228 M
Conc. de guanidina	=	0,0456 M
Conc. inicial de cloreto	=	0,0095 M
Conc. de nitrato de prata	=	0,0509 N
Volume de amostra	=	4,8117 ² ml
Volume de HNO ₃ adicionado	=	10,0 ml
Temperatura	=	29,95 ± 0,05°C

V _{AgNO₃} (ml)	N _{Cl}	x	(a-x)	1/(a-x)	Tempo (seg)
1,210	0,01280	0,00330	0,01950	51,28	0
1,467	0,01552	0,00602	0,01678	59,60	106
1,567	0,01652	0,00702	0,01578	63,37	230
1,733	0,01833	0,00883	0,01397	71,58	369
1,967	0,02081	0,01131	0,01149	87,03	655
2,200	0,02328	0,01378	0,00902	110,86	1138
2,433	0,02574	0,01624	0,00656	152,43	1732
2,600	0,02751	0,01801	0,00479	208,76	2632
2,733	0,02892	0,01942	0,00338	295,85	3533

Do graf. $1/(a-x)$ l. mol⁻¹ vs t (seg) temos:

$$k_2 = 6,62 \times 10^{-2} \text{ l. mol}^{-1} \text{ s}^{-1}$$

REAÇÃO DE 1-CLORO, 2,4 DINITROBENZENO COM GUANIDINA EM ETANOL ABSOLUTO

PARAMETROS DE ARRHENIUS

DETERM. CINÉT.Nº	t (°C)	T (K)	10 ³ / T (K ⁻¹)	10 ³ . k ₂ (l.mol s ⁻¹)	log ₁₀ k ₂
1	20,1	293,26	3,409 ₉	34,00	-1,468 ₅
2	-0,07	273,09	3,662	5,07	-2,295
3	-0,07	273,09	3,662	4,81	-2,319
4	29,95	303,11	3,299	67,20	-1,174
5	29,95	303,11	3,299	66,20	-1,179

$$\Delta E^\ddagger = 14,36 \text{ kcal.mol}^{-1}$$

$$\log_{10} B = 9,19$$

$$\Delta S^\ddagger_{25} = -16,46 \text{ u.e.}$$

$$\Delta H^\ddagger_{25} = 13,77 \text{ kcal.mol}^{-1}$$

$$\Delta G^\ddagger_{25} = +19,27 \text{ kcal.mol}^{-1}$$

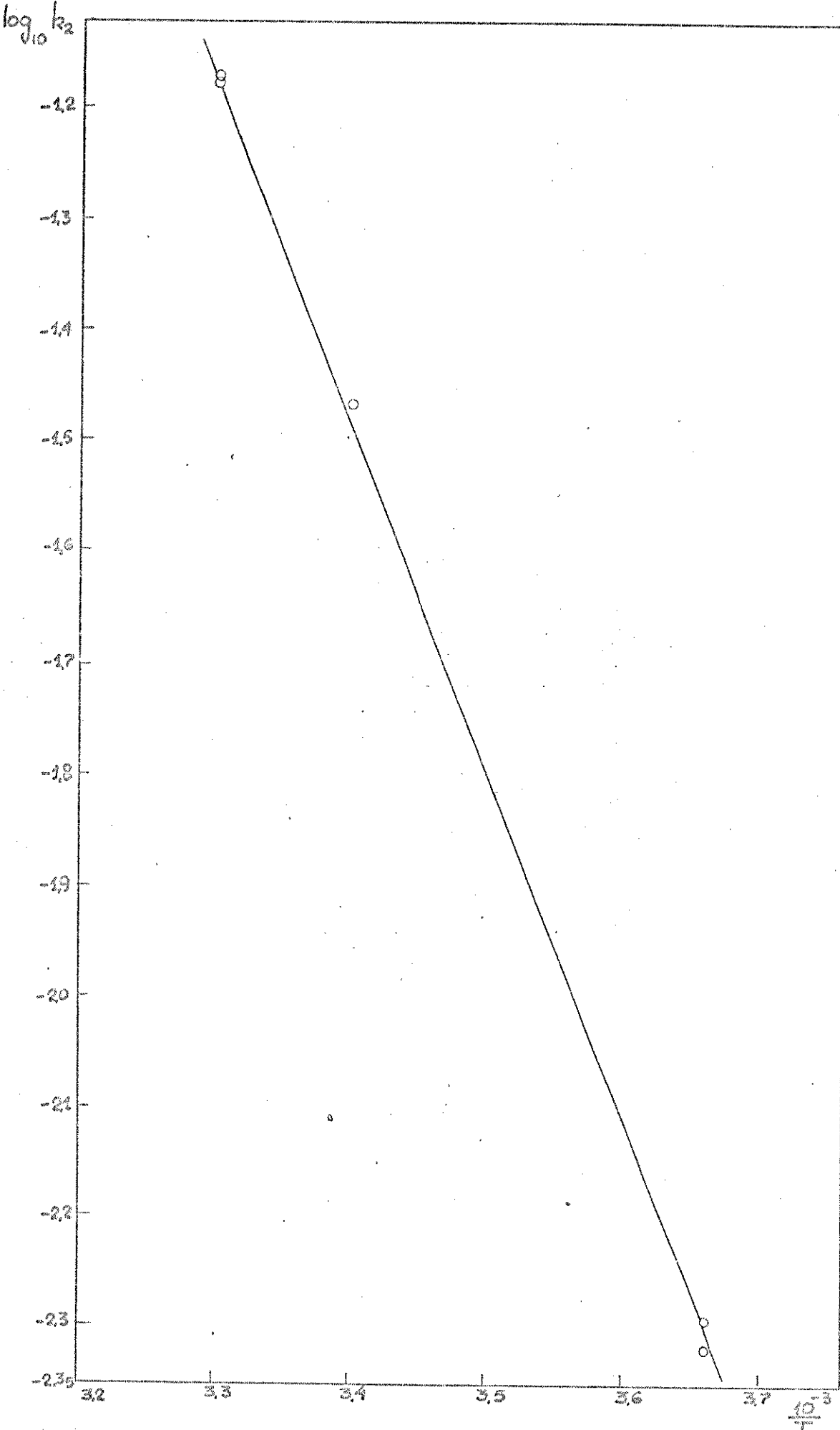
Constantes de velocidade calculadas à:

$$-20,0^\circ\text{C}, k_2 = 6,24 \times 10^{-4} \text{ l.mol}^{-1}\text{s}^{-1}$$

$$0,0^\circ\text{C}, k_2 = 5,04 \times 10^{-3} \text{ l.mol}^{-1}\text{s}^{-1}$$

$$50,0^\circ\text{C}, k_2 = 3,03 \times 10^{-1} \text{ l.mol}^{-1}\text{s}^{-1}$$

$$100,0^\circ\text{C}, k_2 = 60,61 \times 10^{-1} \text{ l.mol}^{-1}\text{s}^{-1}$$



Graf. nº 2 - Grafico de Arrhenius da reação entre 1-cloro,-2,4-dinitrobenzeno e guanidina em etanol absoluto no intervalo de $29,95 \pm 0,05^\circ\text{C}$ à $-0,07 \pm 0,05^\circ\text{C}$.

6.5.4.2. - REAÇÃO DE 1-CLORO-2,4-DINITROBENZENO COM GUANIDINA EM ETANOL ABSOLUTO.

1. Reagentes

- a) 1-cloro-2,4-dinitrobenzeno - purificado de acordo com o item 6-5-1-a
- b) Cloreto de guanidinio - foi utilizado o produto P.A.

2. Solvente

Etanol absoluto - foi utilizado o produto comercial após purificação pelo processo descrito no item 6.5.2-a

3. Determinação da velocidade de reacão

As medidas cinéticas foram efetuadas no intervalo de 0,0° a 33,0°C , utilizando-se o termostato COLORA.

Inicialmente foi feita a neutralização parcial do cloreto de guanidinio, com a solução-padrão de etóxido de sódio aproximadamente 0,1 N, obtendo-se uma solução de guanidina, com igual concentração de cloreto de sódio. Após a filtração do sal, foi feita a padronização da solução e a determinação de cloreto presente (inclusive o cloreto de sódio solúvel em etanol). A seguir foi preparada a solução do substrato (1-cloro-2,4-dinitrobenzeno), em etanol mantendo-se a relação molar:nucleófilo:substrato:: 2:1.

Para as determinações cinéticas foi seguido o processo titulométrico geral. A reação foi interrompida pela solução de ácido nítrico adicione nada. Os ions cloreto presentes (formados) foram titulados com solução padronizada de nitrato de prata, utilizando-se a escala de mV do pHmetro E-512.

4. Tabelas

REAÇÃO DE 1-CLORO - 2,4-DINITROBENZENO COM GUANIDINA EM ETANOL ABSOLUTO.

DETERMINAÇÃO CINETICA Nº 1

Conc. do composto clorado	= 0,0239 M
Conc. da guanidina	= 0,0479 ⁶ M (*)
Conc. inicial de cloreto	= 0,0477 ² M
Conc. de nitrato de prata	= 0,0500 ³ N
Volume de amostra	= 4,7703 ml
Volume de HNO ₃ 0,05M adic.	= 10,0 ml
Temperatura	= + 0,15 + 0,05°C

V _{AgNO₃} (ml)	N _{Cl}	x	(a-x)	1/(a-x)	Tempo (seg)
4,575	0,04799	2,61x 10 ⁻⁴	2,369x10 ⁻²	42,19	1264
4,980	0,05224	4,51x 10 ⁻³	1,945x10 ⁻²	51,40	3400
5,475	0,05742	9,69x 10 ⁻³	1,427x10 ⁻²	70,10	8452
5,770	0,06052	12,70x 10 ⁻³	1,117x10 ⁻³	89,50	12402
5,950	0,06242	14,70x 10 ⁻³	9,28 x10 ⁻³	107,80	17935
6,050	0,06346	15,70x 10 ⁻³	8,23 x10 ⁻³	121,50	25120

Do graf. 1/(a-x) l. mol⁻¹ vs t (seg) temos:

$$k_2 = 3,91 \times 10^{-3} \text{ l. mol}^{-1} \text{ s}^{-1}$$

(*) em solução contendo igual concentração de cloreto de guanidino.

REAÇÃO DE 1-CLORO - 2,4-DINITROBENZENO COM GUANIDINA EM ETANOL ABSOLUTO.

DETERMINAÇÃO CINETICA Nº 2

Conc. do composto clorado	= 0,0239 M
Conc. da guanidina	= 0,0479 ⁶ M (*)
Conc. inicial de cloreto	= 0,0477 ² M
Conc. de nitrato de prata	= 0,0500 ³ N
Volume de amostra	= 4,7703 ml
Volume de HNO ₃ 0,05M adic.	= 10,0 ml
Temperatura	= 0,15 ± 0,05°C

V _{AgNO₃} (ml)	N _{Cl}	x	(a-x)	1/(a-x)	Tempo (seg)
4,910	0,05151	3,78x 10 ⁻³	2,018x10 ⁻²	49,55	3220
5,440	0,05706	9,34x 10 ⁻³	1,462x10 ⁻²	68,38	8385
5,650	0,05927	1,15x 10 ⁻²	1,242x10 ⁻²	80,52	12490
5,900	0,06189	1,42x 10 ⁻²	9,900x10 ⁻³	102,04	17860
6,090	0,06388	1,62x 10 ⁻²	7,800x10 ⁻³	128,04	24897

Do graf. 1/(a-x) l. mol⁻¹ vs t (seg) temos:

$$k_2 = 3,61 \times 10^{-3} \text{ l. mol}^{-1} \text{ s}^{-1}$$

(*) em solução contendo igual concentração de cloreto de guanidino.

REAÇÃO DE 1-CLORO - 2,4-DINITROBENZENO COM GUANIDINA EM ETANOL ABSOLUTO.

DETERMINAÇÃO CINETICA Nº 3

Conc. do composto clorado	=	0,0242 ₉ M
Conc. da guanidina	=	0,0485 ₈ M (*)
Conc. de cloreto inicial	=	0,0474 ₀ M
Conc. de nitrato de prata	=	0,0560 ₄ N
Volume de amostra	=	4,7703 ₄ ml
Volume de HNO ₃ 0,05M adic.	=	10,0 ml
Temperatura	=	9,95 ± 0,05°C

V _{AgNO₃} (ml)	N _{Cl}	x	(a-x)	1/(a-x)	Tempo (seg)
4,125	0,04847	1,070x10 ⁻³	2,322x10 ⁻²	43,07	825
4,250	0,04994	2,54 x10 ⁻³	2,175x10 ⁻²	46,43	1145
4,560	0,05358	6,18 x10 ⁻³	1,810x10 ⁻²	55,24	2431
4,780	0,05617	8,77 x10 ⁻³	1,552x10 ⁻²	64,43	3975
5,010	0,05887	1,115x10 ⁻²	1,282x10 ⁻²	78,00	5625
5,150	0,06051	1,311x10 ⁻²	1,118x10 ⁻²	89,44	7150
5,175	0,06081	1,341x10 ⁻²	1,088x10 ⁻²	91,91	7685

Do graf. $1/(a-x)$ l. mol⁻¹ vs t (seg) temos:

$$k_2 = 7,01 \times 10^{-3} \text{ l. mol}^{-1} \text{ s}^{-1}$$

(*) em solução contendo igual concentração de cloreto de guanidino.

REAÇÃO DE 1-CLORO - 2,4-DINITROBENZENO COM GUANIDINA EM ETANOL ABSOLUTO.

DETERMINAÇÃO CINETICA Nº 4

Conc. do composto clorado	=	0,0242 ₉ M
Conc. da guanidina	=	0,0485 ₈ M (*)
Conc. inicial de cloreto	=	0,0474 ₀ M
Conc. de nitrato de prata	=	0,0560 ₄ N
Volume de amostra	=	4,7703 ₄ ml
Volume de HNO ₃ 0,05M adic.	=	10,0 ml
Temperatura	=	20,05 ± 0,05°C

V _{AgNO₃} (ml)	N _{Cl}	x	(a-x)	1/(a-x)	Tempo (seg)
4,425	0,05199	4,59x10 ⁻³	1,97 x 10 ⁻²	50,76	500
4,650	0,05464	7,24x10 ⁻³	1,71 x 10 ⁻²	58,65	915
4,925	0,05787	1,047x10 ⁻²	1,38 x 10 ⁻²	72,36	1750
5,038	0,05920	1,180x10 ⁻²	1,25 x 10 ⁻²	80,07	2355
5,240	0,06157	1,417x10 ⁻²	1,01 x 10 ⁻²	98,81	3670
5,430	0,06380	1,640x10 ⁻²	7,89 x 10 ⁻³	126,74	5085
5,560	0,06533	1,793x10 ⁻²	6,36 x 10 ⁻³	157,23	7340

Do graf. $1/(a-x)$ l. mol⁻¹ vs t (seg) temos:

$$k_2 = 1,52 \times 10^{-2} \text{ l. mol}^{-1} \text{ s}^{-1}$$

(*) em solução contendo igual concentração de cloreto de guanidino.

REAÇÃO DE 1-CLORO - 2,4-DINITROBENZENO COM GUANIDINA EM ETANOL ABSOLUTO.

DETERMINAÇÃO CINETICA Nº 5

Conc. do composto clorado	=	0,0914 ₅ M
Conc. da guanidina	=	0,0182 ₉ M (*)
Conc. inicial de cloreto	=	0,0182 ₁ M
Conc. de nitrato de prata	=	0,0560 ₁ N
Volume de amostra	=	4,7703 ₄ ml
Volume de HNO ₃ 0,05M adic.	=	10,0 ml
Temperatura	=	9,95 ± 0,05°C

V _{AgNO₃} (ml)	N _{Cl}	x	(a-x)	1/(a-x)	Tempo (seg)
1,575	0,01851	2,96 x10 ⁻⁴	8,84 x10 ⁻³	113,0	0
1,600	0,01880	5,90 x10 ⁻⁴	8,56 x10 ⁻³	116,9	510
1,675	0,01968	1,47 x10 ⁻³	7,67 x10 ⁻³	130,3	1205
1,710	0,02009	1,88 x10 ⁻³	7,26 x10 ⁻³	137,7	2372
1,775	0,02086	2,65 x10 ⁻³	6,50 x10 ⁻³	153,9	3490
1,912	0,02247	4,26 x10 ⁻³	4,89 x10 ⁻³	204,5	6295
1,955	0,02297	4,76 x10 ⁻³	4,38 x10 ⁻³	228,1	8685
1,995	0,02344	5,23 x10 ⁻³	3,91 x10 ⁻³	255,5	10855
2,025	0,02379	5,58 x10 ⁻³	3,57 x10 ⁻³	280,5	12360

Do graf. $1/(a-x)$ 1. mol⁻¹ vs t (seg) temos:

$$k_2 = 1,32 \times 10^{-2} \text{ 1. mol}^{-1} \text{ s}^{-1}$$

(*) em solução contendo igual concentração de cloreto de guanidino.

REAÇÃO DE 1-CLORO - 2,4-DINITROBENZENO COM GUANIDINA EM ETANOL ABSOLUTO.

DETERMINAÇÃO CINETICA Nº 6

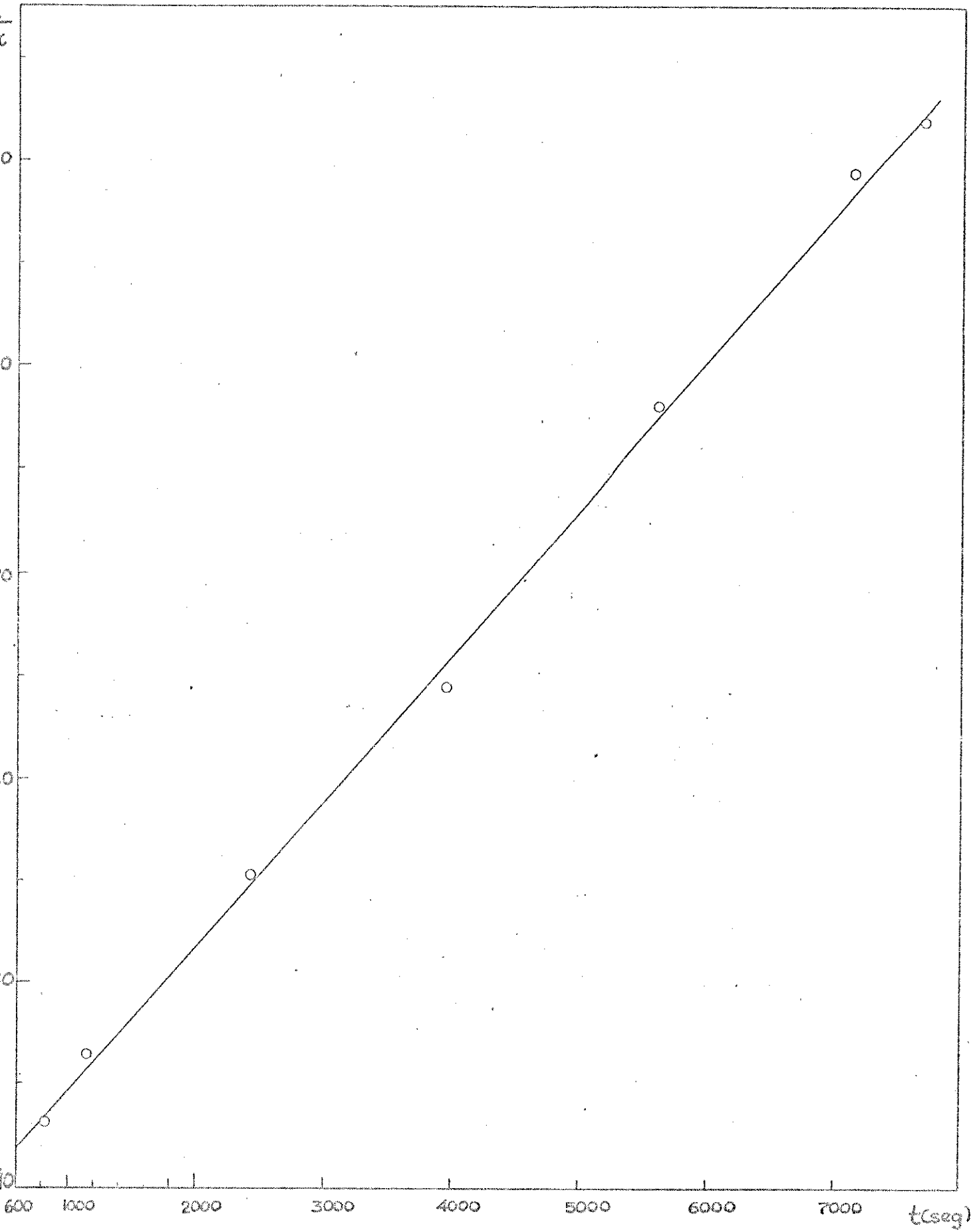
Conc. do composto clorado	=	0,0914 ₅ M
Conc. da guanidina	=	0,0182 ₅ M (*)
Conc. inicial de cloreto	=	0,0182 ₉ M
Conc. de nitrato de prata	=	0,0560 ₁ N
Volume de amostra	=	4,7703 ₄ ml
Volume de HNO ₃ 0,05M adic.	=	10,0 ml
Temperatura	=	20,05 ± 0,05°C

V _{AgNO₃} (ml)	N _{Cl}	x	(a-x)	1/(a-x)	Tempo (seg)
1,570	0,01845	2,400x10 ⁻⁴	8,91 x 10 ⁻³	112,3	0
1,625	0,01909	8,840x10 ⁻⁴	8,26 x 10 ⁻³	121,5	300
1,700	0,01998	1,765x10 ⁻³	7,38 x 10 ⁻³	135,5	635
1,770	0,02080	2,588x10 ⁻³	6,56 x 10 ⁻³	152,5	1165
1,805	0,02121	2,999x10 ⁻³	6,15 x 10 ⁻³	162,7	1830
1,910	0,02244	4,233x10 ⁻³	4,91 x 10 ⁻³	203,6	3120
2,005	0,02356	5,349x10 ⁻³	3,80 x 10 ⁻³	263,5	4785
2,075	0,02438	6,171x10 ⁻³	2,97 x 10 ⁻³	336,3	6550
2,125	0,02497	6,759x10 ⁻³	2,39 x 10 ⁻³	419,1	8055

Do graf. $1/(a-x)$ 1. mol⁻¹ vs t (seg) temos:

$$k_2 = 3,40 \times 10^{-2} \text{ 1. mol}^{-1} \text{ s}^{-1}$$

(*) em solução contendo igual concentração de cloreto de guanidino.



Graf. nº 3 - Determinação da constante de velocidade da reação entre 1-cloro - 2,4-dinitrobenzeno e guanidina em etanol absoluto a $9,95 \pm 0,05^\circ\text{C}$.

REAÇÃO DE 1-CLORO - 2,4-DINITROBENZENO COM GUANIDINA EM ETANOL ABSOLUTO.

DETERMINAÇÃO CINETICA N° 7

Conc. do composto clorado	=	0,0239	M
Conc. da guanidina	=	0,0479 ₆	M (*)
Conc. inicial de cloreto	=	0,0477 ₂	M
Conc. de nitrato de prata	=	0,0501 ₃	N
Volume de amostra	=	4,7703	ml
Volume de HNO ₃ 0,05M adic.	=	10,0	ml
Temperatura	=	32,9 ± 0,1°C	

V _{AgNO₃} (ml)	N _{Cl}	x	(a-x)	1/(a-x)	Tempo (seg)
4,675	0,04904	1,311x10 ⁻³	2,265x10 ⁻²	44,15	0
4,975	0,05219	4,458x10 ⁻³	1,938x10 ⁻²	51,59	178
5,400	0,05665	8,916x10 ⁻³	1,504x10 ⁻²	66,47	513
5,850	0,06137	1,360x10 ⁻²	1,032x10 ⁻²	96,90	1183
6,210	0,06514	1,741x10 ⁻²	6,550x10 ⁻³	152,67	2415
6,350	0,06661	1,888x10 ⁻²	5,080x10 ⁻³	196,85	2933

Do graf. $1/(a-x)$ l. mol⁻¹ vs t (seg) temos:

$$k_2 = 4,40 \times 10^{-2} \text{ l. mol}^{-1} \cdot \text{s}^{-1}$$

(*) em solução contendo igual concentração de cloreto de guanidino.

REAÇÃO DE 1-CLORO - 2,4-DINITROBENZENO COM GUANIDINA EM ETANOL ABSOLUTO.

DETERMINAÇÃO CINETICA N° 8

Conc. do composto clorado	=	0,0239	M
Conc. de guanidina	=	0,0479 ₆	M (*)
Conc. inicial de cloreto	=	0,0477 ₂	M
Conc. de nitrato de prata	=	0,0501 ₃	N
Volume de amostra	=	4,7703	ml
Volume de HNO ₃ 0,05M adic.	=	10,0	ml
Temperatura	=	32,9 ± 0,1°C	

V _{AgNO₃} (ml)	N _{Cl}	x	(a-x)	1/(a-x)	Tempo (seg)
4,890	0,05130	3,570x10 ⁻³	2,039x10 ⁻²	49,04	0
5,100	0,05350	5,769x10 ⁻³	1,819x10 ⁻²	54,97	150
5,600	0,05874	1,101x10 ⁻²	1,295x10 ⁻²	77,22	640
5,750	0,06032	1,259x10 ⁻²	1,137x10 ⁻²	87,95	920
5,850	0,06137	1,364x10 ⁻²	1,032x10 ⁻²	96,90	1355
6,120	0,06420	1,647x10 ⁻²	7,490x10 ⁻³	133,51	2070
6,300	0,06609	1,836x10 ⁻²	5,600x10 ⁻³	178,57	2800
6,375	0,06687	1,914x10 ⁻²	4,820x10 ⁻³	207,47	3700

Do graf. $1/(a-x)$ l. mol⁻¹ vs t(seg) temos:

$$k_2 = 4,30 \times 10^{-2} \text{ l. mol}^{-1} \cdot \text{s}^{-1}$$

(*) em solução contendo igual concentração de cloreto de guanidino.

REAÇÃO DE 1-CLORO-2,4-DINITROBENZENO COM GUANIDINA EM ETANOL ABSOLUTO

PARAMETROS DE ARRHENIUS

DETERMIN. CINÉTICA Nº	t (°C)	T (°K)	10 ³ /T	k ₂	log k ₂
1	0,15	273,31	3,6589	3,91x10 ⁻³	-2,4078
2	0,15	273,31	3,6589	3,61x10 ⁻³	-2,4425
3	9,95	283,11	3,5322	7,01x10 ⁻²	-2,1560
4	20,05	293,21	3,4110	1,52x10 ⁻²	-1,8185
5	9,95	283,11	3,5322	1,32x10 ⁻²	-1,8821
6	20,05	293,21	3,4110	3,40x10 ⁻²	-1,4686
7	32,90	306,06	3,2673	4,40x10 ⁻²	-1,3566
8	32,90	306,06	3,2673	4,30x10 ⁻²	-1,3665

$$\Delta E^\ddagger = 12,46 \text{ kcal. mol}^{-1}$$

$$\log_{10} B = 7,51$$

$$\Delta S^\ddagger_{25} = -24,14 \text{ u.e.}$$

$$\Delta H^\ddagger_{25} = 11,87 \text{ kcal. mol}^{-1}$$

$$\Delta G^\ddagger_{25} = 19,070 \text{ kcal. mol}^{-1}$$

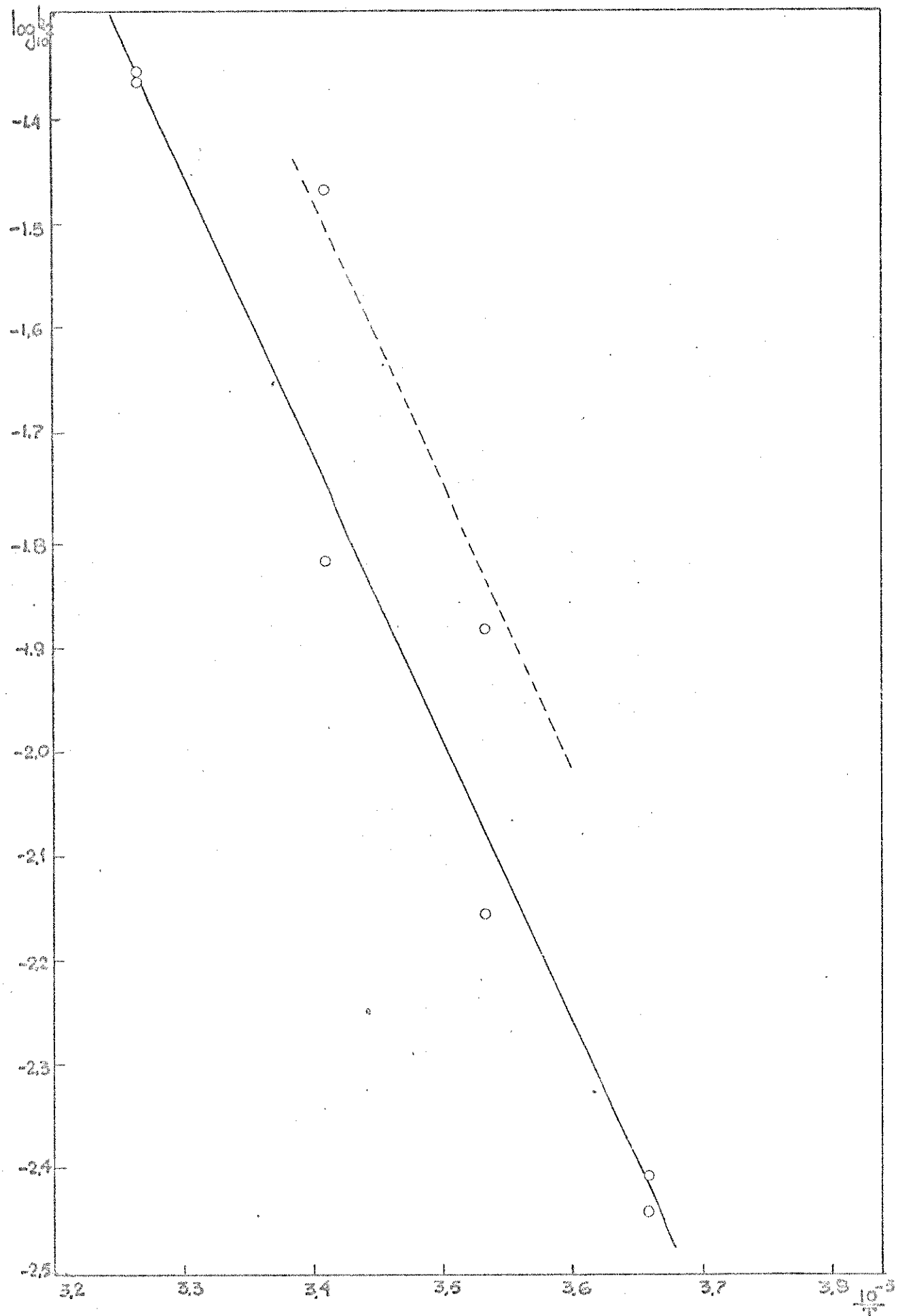
Constantes de velocidade calculadas à:

$$-20,0^\circ\text{C}, k_2 = 5,71 \times 10^{-4} \text{ l. mol}^{-1} \text{ s}^{-1}$$

$$0,0^\circ\text{C}, k_2 = 3,50 \times 10^{-3} \text{ l. mol}^{-1} \text{ s}^{-1}$$

$$50,0^\circ\text{C}, k_2 = 1,22 \times 10^{-1} \text{ l. mol}^{-1} \text{ s}^{-1}$$

$$100,0^\circ\text{C}, k_2 = 16,46 \times 10^{-1} \text{ l. mol}^{-1} \text{ s}^{-1}$$



Graf. nº 4 - Graf. de Arrhenius da reação entre 1-cloro - 2,4-dinitrobenzeno e guanidina em etanol absoluto, para o intervalo de $32,90 \pm 0,05$ à $0,15 \pm 0,05^\circ\text{C}$.

6.5.4.3. - REAÇÃO DE 1-CLORO-2,4-DINITROBENZENO COM METILGUANIDINA EM ETANOL ABSOLUTO.

1. Reagentes

a) 1-cloro-2,4-dinitrobenzeno - purificado de acordo com o processo descrito no item 6.5.1-a

b) Sulfato de metilguanidinio

O sulfato de metilguanidinio foi sintetizado a partir do sulfato de S-metiltiourônio.

b.1) Preparação de sulfato de S-metilisotiorônio - em um erlenmeyer foram aquecidos 38g de tioureia com 25ml de agua, e 31,5g de sulfato de metila. Desta forma iniciou-se uma reação espontânea, que rapidamente transformou-se em solução. Após 5 a 10 minutos de fervura (sem refluxo) houve a separação de cristais. O aquecimento foi continuado até a obtenção de u'a massa quase sem liquido. Após resfriamento em banho de gelo, o produto foi filtrado a vacuo e lavado em etanol. Após recristalização em etanol, o produto apresentou ponto de fusão de 243-244°C (valor da literatura = 244°C).

b.2) Preparação de sulfato de metilguanidinio - à uma suspensão de 17,5g de sulfato de S-metilisotiorônio em 17,5g de agua gelada, foram adicionados de uma só vez, 13,1g de metil amina em solução aquosa a 33%. A mistura foi refluxada e o gás produzido foi passado através de dois frascos lavadores, o primeiro contendo uma solução de ácido clorídrico a 10% (para a remoção da metil amina livre), o segundo contendo uma solução de hidróxido de sódio gelado. A seguir a mistura foi aquecida vagarosamente até a ebulição, e a seguir concentrada a vacuo. O xarope resultante após resfriamento cristalizou-se, sendo então filtrado a vacuo, lavado com metanol gelado e seco. O produto apresentou ponto de fusão de 239-240°C (valor da literatura = 239 - 240°C).

2. Solvente - foi utilizado etanol purificado, de acordo com o processo descrito no item 6.5.2-a.

3. Determinação da velocidade de reação

As medidas cinéticas foram efetuadas no intervalo de -20,5 a +10,0 °C, utilizando-se o termostato HETOTHERM.

Primeiramente foi feita a neutralização parcial do sulfato de metilguanidinio, com a solução-padrão de etóxido de sódio aproximadamente 0,2N, obtendo-se uma solução de metilguanidina, com igual concentração de sulfato de metilguanidinio, e um precipitado de sulfato de sódio. Após a filtração do sal, foi feita a padronização da solução. A seguir, foi preparada a solução de substrato (1-cloro-2,4-dinitrobenzeno) em etanol, mantendo-se a relação molar : nucleófilo:substrato:: 2:1.

Para as determinações cinéticas foi seguido o processo titulométrico geral. A reação foi interrompida pela solução de ácido nítrico adicionada. Os ions cloreto presentes foram titulados com solução padronizada de nitrato de prata, utilizando-se a escala de mV do pHmetro E-516.

4. Tabelas

REAÇÃO DE 1-CLORO - 2,4-DINITROBENZENO COM METILGUANIDINA EM ETANOL ABSOLUTO.

DETERMINAÇÃO CINETICA Nº 1

Conc. do composto clorado	=	0,0203 ₀ M
Conc. da metil-guanidina	=	0,0406 ₀ M (*)
Conc. de nitrato de prata	=	0,0484 ₅ N
Volume de amostra	=	5,0186 ₅ ml
Volume de HNO ₃ 0,05 M adic.	=	10,0 ml
Temperatura	=	10,0 ± 0,05°C

V _{AgNO₃} (ml)	x	(a-x)	1/(a-x)	Tempo (seg)
0,563	0,00543	1,486x10 ⁻²	67,26	0
0,675	0,00652	1,378x10 ⁻²	72,57	166
0,800	0,00772	1,258x10 ⁻²	79,48	410
0,863	0,00833	1,197x10 ⁻²	83,55	520
0,910	0,00879	1,151x10 ⁻²	86,89	701
1,030	0,00995	1,035x10 ⁻²	96,61	983
1,170	0,01130	9,000x10 ⁻³	111,17	1348
1,120	0,01356	6,74x10 ⁻³	148,39	2230

Do graf. $1/(a-x)$ l. mol⁻¹ vs t(seg) temos:

$$k_2 = 3,16 \times 10^{-2} \text{ l. mol}^{-1} \text{ s}^{-1}$$

(*) em solução contendo igual concentração de sulfato de metil guanidinio.

REAÇÃO DE 1-CLORO - 2,4-DINITROBENZENO COM METILGUANIDINA EM ETANOL ABSOLUTO.

DETERMINAÇÃO CINETICA Nº 2

Conc. do composto clorado	=	0,0203 ₀ M
Conc. da metil-guanidina	=	0,0406 ₀ M (*)
Conc. de nitrato de prata	=	0,0484 ₅ N
Volume de amostra	=	5,0186 ₅ ml
Volume de HNO ₃ 0,05M adic.	=	10,0 ml
Temperatura	=	10,0 ± 0,05°C

V _{AgNO₃} (ml)	x	(a-x)	1/(a-x)	Tempo (seg)
0,650	0,00628	1,402x10 ⁻²	71,33	0
0,737	0,00712	1,318x10 ⁻²	75,88	200
0,915	0,00883	1,147x10 ⁻²	87,11	690
1,050	0,01014	1,016x10 ⁻²	98,43	897
1,170	0,01130	9,000x10 ⁻³	111,19	1299
1,237	0,01194	8,360x10 ⁻³	119,62	1620
1,475	0,01424	6,060x10 ⁻³	165,01	2054
1,510	0,01424	5,720x10 ⁻³	174,89	2860
1,610	0,01554	4,760x10 ⁻³	210,08	3368

Do graf. $1/(a-x)$ l. mol⁻¹ vs t(seg) temos:

$$k_2 = 3,09 \times 10^{-2} \text{ l. mol}^{-1} \text{ s}^{-1}$$

(*) em solução contendo igual concentração de sulfato de metil guanidinio.

REAÇÃO DE 1-CLORO - 2,4-DINITROBENZENO COM METILGUANIDINA EM ETANOL ABSOLUTO.

DETERMINAÇÃO CINETICA Nº 3

Conc. do composto clorado	=	0,0210 ₀ M
Conc. da metilguanidina	=	0,0420 ₀ M (*)
Conc. inicial de cloreto	=	0,0207 ₀ M
Conc. de nitrato de prata	=	0,0484 ₅ N
Volume de amostra	=	5,0186 ₅ ml
Volume de HNO ₃ 0,05 M adic.	=	10,0 ml
Temperatura	=	0,0 ± 0,05°C

V _{AgNO₃} (ml)	N _{Cl}	x	(a-x)	1/(a-x)	Tempo (seg)
2,210	0,02134	5,700x10 ⁻⁴	2,043x10 ⁻²	48,95	0
2,360	0,02278	2,010x10 ⁻³	1,899x10 ⁻²	52,66	284
2,510	0,02423	3,460x10 ⁻³	1,754x10 ⁻²	57,01	657
2,680	0,02587	4,870x10 ⁻³	1,613x10 ⁻²	61,99	1116
2,860	0,02761	6,840x10 ⁻³	1,416x10 ⁻²	70,62	1675
3,000	0,02896	8,190x10 ⁻³	1,281x10 ⁻²	78,07	2215
3,160	0,03051	9,740x10 ⁻³	1,126x10 ⁻²	88,81	2828
3,340	0,03224	1,147x10 ⁻²	9,530x10 ⁻³	104,93	3856
3,410	0,03292	1,215x10 ⁻²	8,850x10 ⁻³	4599	

Do graf. 1/(a-x) l. mol⁻¹ vs t (seg) temos:

$$k_2 = 1,50 \times 10^{-2} \text{ l. mol}^{-1} \text{ s}^{-1}$$

(*) em solução contendo igual concentração de sulfato de metilguanidinio.

REAÇÃO DE 1-CLORO - 2,4-DINITROBENZENO COM METILGUANIDINA EM ETANOL ABSOLUTO.

DETERMINAÇÃO CINETICA Nº 4

Conc. do composto clorado	=	0,0207 ₀ M
Conc. da metilguanidina	=	0,0414 ₀ M (*)
Conc. de cloreto adicionado	=	0,0201 ₂ M (*) (*)
Conc. de nitrato de prata	=	0,0484 ₅ N
Volume de amostra	=	5,0186 ₅ ml
Volume de HNO ₃ 0,05M adic.	=	10,0 ml
Temperatura	=	-5,45 ± 0,05°C

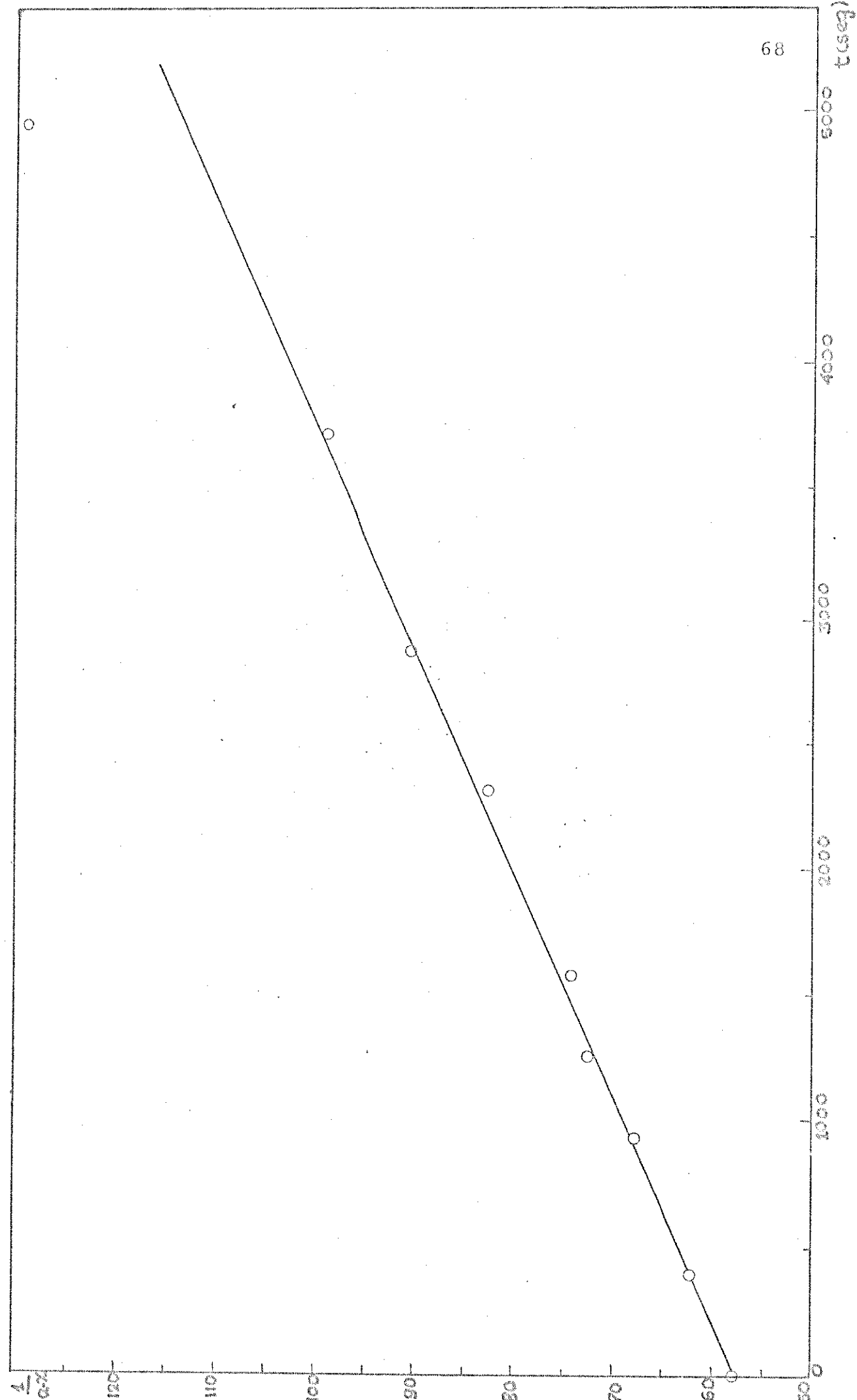
V _{AgNO₃} (ml)	N _{Cl}	x	(a-x)	1/(a-x)	Tempo (seg)
2,180	0,02105	9,30 x10 ⁻⁴	1,977x10 ⁻²	50,58	0
2,280	0,02201	1,89 x10 ⁻³	1,881x10 ⁻²	53,16	390
2,380	0,02298	2,85 x10 ⁻³	1,785x10 ⁻²	56,02	708
2,470	0,02385	3,73 x10 ⁻³	1,697x10 ⁻²	58,92	1292
2,630	0,02539	5,27 x10 ⁻³	1,543x10 ⁻²	64,80	2066
2,770	0,02674	6,62 x10 ⁻³	1,408x10 ⁻²	71,02	2831
2,950	0,02848	8,36 x10 ⁻³	1,234x10 ⁻²	81,03	3986
3,070	0,02964	9,52 x10 ⁻³	1,118x10 ⁻²	89,44	5142
3,218	0,03107	1,095x10 ⁻²	9,75 x10 ⁻³	102,56	6187

Do graf. 1/(a-x) l. mol⁻¹ vs t(seg) temos:

$$k_2 = 8,10 \times 10^{-3} \text{ l. mol}^{-1} \text{ s}^{-1}$$

(*) em solução contendo igual concentração de sulfato de metilguanidinio.

(*) (*) foi usado o cloreto de tetrametil amônio.



Graf. nº 5 - Determinação da constante de velocidade da reação entre 1-cloro - 2,4-dinitrobenzeno e metilguanidina em etanol absoluto à $0,0 \pm 0,05^\circ\text{C}$.

REAÇÃO DE 1-CLORO - 2,4-DINITROBENZENO COM METILGUANIDINA EM
ETANOL ABSOLUTO.

DETERMINAÇÃO CINETICA Nº 5

Conc. do composto clorado	=	0,0204 M
Conc. da metilguanidina	=	0,0409 M (*)
Conc. de nitrato de prata	=	0,0484 N
Volume de amostra	=	5,0186 ml
Volume de HNO ₃ 0,05M adic.	=	10,0 ml
Temperatura	=	-9,95 ± 0,05°C

V _{AgNO₃} (ml)	x	(a-x)	1/(a-x)	Tempo (seg)
0,490	0,00473	1,572x10 ⁻²	63,61	0
0,610	0,00589	1,456x10 ⁻²	68,68	813
0,710	0,00686	1,359x10 ⁻²	73,58	1406
0,790	0,00763	1,282x10 ⁻²	78,00	2035
0,830	0,00801	1,244x10 ⁻²	80,39	2690
0,960	0,00927	1,118x10 ⁻²	89,45	3186
1,050	0,01014	1,031x10 ⁻²	96,99	4358
1,240	0,01197	8,480x10 ⁻³	117,92	5936
1,380	0,01332	7,130x10 ⁻³	140,25	7796

Do graf. $1/(a-x) \text{ l. mol}^{-1}$ vs t(seg) temos:

$$k_2 = 8,20 \times 10^{-3} \text{ l. mol}^{-1} \text{ s}^{-1}$$

(*) em solução contendo igual concentração de sulfato de metilguanidinio.

REAÇÃO DE 1-CLORO -2,4-DINITROBENZENO COM METILGUANIDINA EM
ETANOL ABSOLUTO.

DETERMINAÇÃO CINETICA Nº 6

Conc. do composto clorado	=	0,0201 M
Conc. da metilguanidina	=	0,0402 M (*)
Conc. de nitrato de prata	=	0,0484 N
Volume de amostra	=	5,0186 ml
Volume de HNO ₃ 0,05M adic.	=	10,0 ml
Temperatura	=	-20,0 ± 0,05°C

V _{AgNO₃} (ml)	x	(a-x)	1/(a-x)	Tempo (seg)
0,400	0,00386	1,624x10 ⁻²	61,58	0
0,450	0,00435	1,575x10 ⁻²	63,49	900
0,550	0,00531	1,478x10 ⁻²	67,61	2190
0,655	0,00632	1,378x10 ⁻²	72,56	4242
0,755	0,00729	1,281x10 ⁻²	78,06	5733
0,820	0,00792	1,218x10 ⁻²	82,11	7473
0,900	0,00869	1,141x10 ⁻²	87,64	9308
1,050	0,01014	9,960x10 ⁻³	100,40	11268
1,100	0,01062	9,480x10 ⁻³	105,49	13710

Do graf. $1/(a-x) \text{ l. mol}^{-1}$ vs t(seg) temos:

$$k_2 = 2,85 \times 10^{-3} \text{ l. mol}^{-1} \text{ s}^{-1}$$

(*) em solução contendo igual concentração de sulfato de metilguanidinio.

REAÇÃO DE 1-CLORO- 2,4-DINITROBENZENO COM METILGUANIDINA EM ETANOL ABSOLUTO.

DETERMINAÇÃO CINETICA Nº 7

Conc. do composto clorado	=	0,0200 ₅ M
Conc. de metilguanidina	=	0,0401 ₅ M (*)
Conc. de nitrato de prata	=	0,0484 ₀ N
Volume de amostra	=	5,0186 ₅ ml
Volume de HNO ₃ 0,05M adic.	=	10,0 ml
Temperatura	=	-20,4 ± 0,05°C

V _{AgNO₃} (ml)	x	(a-x)	1/(a-x)	Tempo (seg)
0,365	0,00352	1,653x10 ⁻²	60,49	0
0,435	0,00420	1,585x10 ⁻²	63,09	1161
0,500	0,00483	1,522x10 ⁻²	65,70	1990
0,580	0,00560	1,445x10 ⁻²	69,20	3188
0,620	0,00599	1,405x10 ⁻²	71,17	4415
0,730	0,00705	1,300x10 ⁻²	76,92	5934
0,770	0,00743	1,262x10 ⁻²	79,23	7025
0,865	0,00835	1,170x10 ⁻²	85,47	8905
0,918	0,00886	1,119x10 ⁻²	89,36	10506

Do graf. $1/(a-x)$ l. mol⁻¹ vs t(seg) temos:

$$k_2 = 2,90 \times 10^{-3} \text{ l. mol}^{-1} \text{ s}^{-1}$$

(*) em solução contendo igual concentração de sulfato de metilguanidônio.

REACÃO DE 1-CLORO, 2,4 DINITROBENZENO COM METILGUANIDINA EM ETANOL ABSOLUTO.

PARAMETROS DE ARRHENIUS

DETERM. CINÉT. N°	t (°C)	T (K)	$10^3 / (1/T)$ (K ⁻¹)	$10^3 \cdot k_2$ (l.mol ⁻¹ s ⁻¹)	$\log_{10} k_2$
1	10,0	283,16	3,5316	31,60	-1,4948
2	10,0	283,16	3,5316	30,90	-1,5086
3	0,0	273,16	3,6609	15,00	-1,8239
4	-5,4 ₅	267,71	3,7350	8,10	-2,0915
5	-9,9 ₅	263,21	3,7990	8,20	-2,0862
6	-20,0	253,16	3,9501	2,85	-2,5376
7	-20,4	252,76	3,9563	2,90	-2,5376

$$\Delta E^\ddagger = 11,12 \text{ kcal.mol}^{-1}$$

$$\log_{10} B = 7,07$$

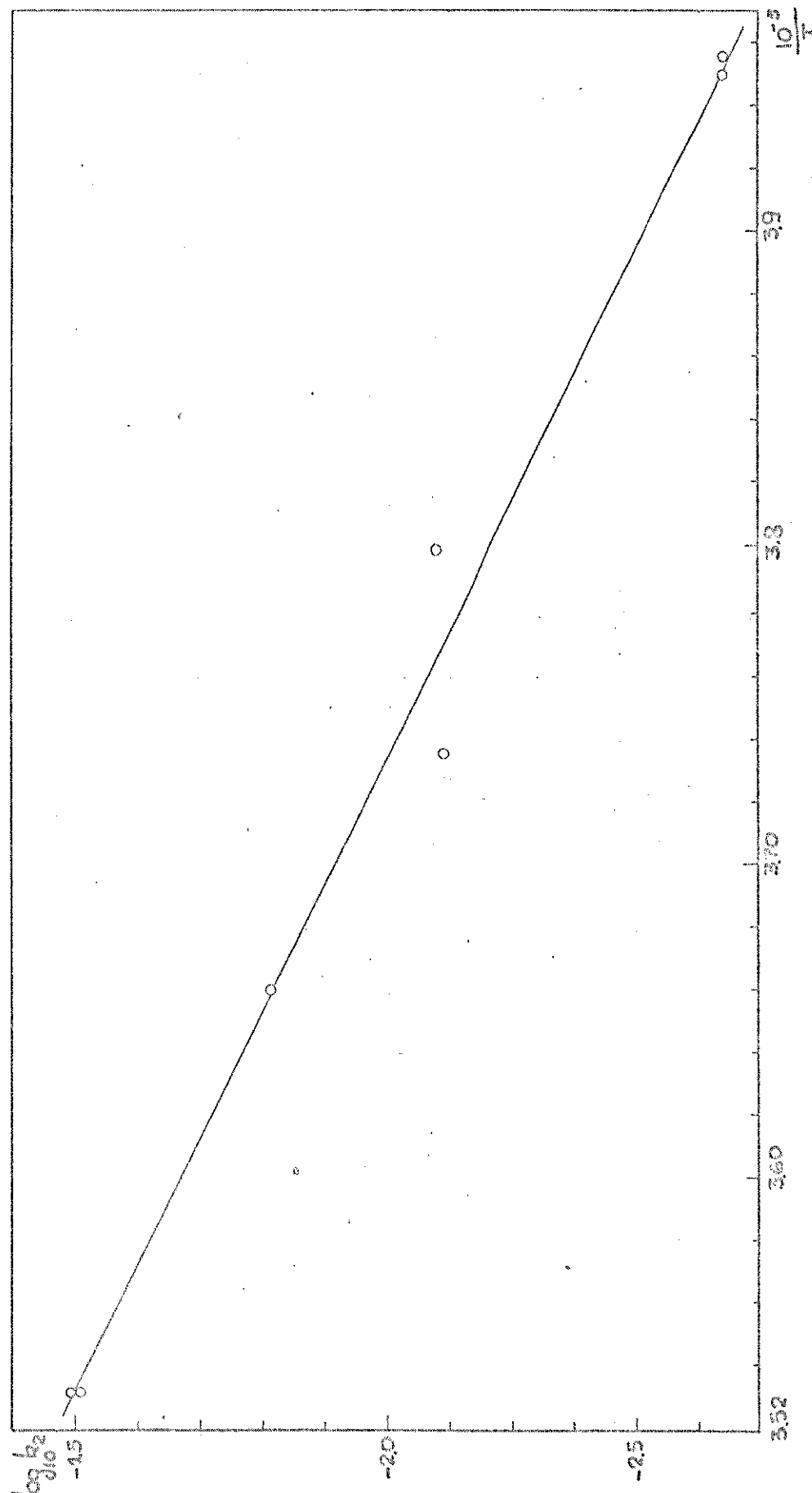
$$\Delta S^\ddagger_{25} = -26,17 \text{ u.e.}$$

$$\Delta H^\ddagger_{25} = 10,53 \text{ kcal.mol}^{-1}$$

$$\Delta G^\ddagger_{25} = 18,93 \text{ kcal.mol}^{-1}$$

Constantes de velocidade calculadas à:

$$\begin{aligned} -20,0^\circ\text{C}, k_2 &= 2,96 \times 10^{-3} \text{ l.mol}^{-1}\text{s}^{-1} \\ 0,0^\circ\text{C}, k_2 &= 1,49 \times 10^{-2} \text{ l.mol}^{-1}\text{s}^{-1} \\ 50,0^\circ\text{C}, k_2 &= 3,55 \times 10^{-1} \text{ l.mol}^{-1}\text{s}^{-1} \\ 100,0^\circ\text{C}, k_2 &= 36,15 \times 10^{-1} \text{ l.mol}^{-1}\text{s}^{-1} \end{aligned}$$



Graf. nº 6 - Gráfico de Arrhenius da reação entre 1-cloro,-2,4-dinitrobenzeno e metilguanidina em etanol absoluto no intervalo de $10,0 \pm 0,01$ à $-20,4 \pm 0,01^\circ\text{C}$.

6.5.4.4. - REAÇÃO DE 1-CLORO-2,4-DINITROBENZENO E NN-DIMETILGUANIDINA
EM ETANOL ABSOLUTO.

1. Reagentes

- a) 1-cloro-2,4-dinitrobenzeno - purificado de acordo com o processo descrito no item 6.5.1-a
- b) Sulfato de NN-dimetilguanidinio

O sulfato de NN-dimetilguanidinio foi sintetizado a partir do sulfato de S-metilisotiouronio.

b.1) Preparação de sulfato de S-metilisotiouronio - em um erlenmeyer foram aquecidos 38g de tioureia com 25ml de agua, e 31,5g de sulfato de metila. Desta forma iniciou-se uma reação espontânea, que rapidamente transformou-se em solução. Após 5 a 10 minutos de fervura (sem refluxo), houve a separação de cristais. O aquecimento foi continuado até a obtenção de u'a massa quase sem liquido. Após resfriamento em banho de gelo, o produto foi filtrado a vacuo, lavado em etanol. Após recristalização em etanol, o produto apresentou ponto de fusão de 243-244°C (Lit. = 244°C).

(8,40)
b.2) Preparação de sulfato de NN-dimetilguanidinio - uma suspensão de 50g de sulfato de S-metilisotiouronio em 60ml de agua gelada foi tratada com 57g de uma solução aquosa de dimetilamina a 33%. A mistura foi refluxada, e o gás produzido foi passado através de dois frascos lavadores, o primeiro contendo uma solução de ácido clorídrico a 10% e, o segundo contendo uma solução de hidróxido de sódio gelado. A seguir a mistura foi lentamente aquecida até a ebulição, e a seguir concentrada a vácuo. O xarope resultante após resfriamento cristalizou-se, sendo então filtrado a vácuo, lavado com metanol gelado e seco. O produto apresentou ponto de fusão com decomposição igual a 284-288°C (Lit.= 285-288°C).

2. Solvente - foi utilizado etanol purificado de acordo com o processo descrito no item 6.5.2-a

3. Determinação da velocidade de reação

As medidas cinéticas foram efetuadas no intervalo de -20,5 a +10,0 °C, utilizando-se o termostato HETOTHERM.

Primeiramente foi feita a neutralização parcial do sulfato de NN-dimetilguanidinio, com a solução-padrão de etóxido de sódio aproximadamente 0,2N, obtendo-se uma solução de NN-dimetilguanidina, com igual concentração de sulfato de NN-dimetilguanidinio, e um precipitado de sulfato de sódio. Após a filtração do sal, foi feita a padronização da solução. A seguir, foi preparada a solução de substrato (1-cloro-2,4-dinitrobenzeno) em etanol mantendo-se a relação molar:nucleófilo:substrato:: 2:1.

Para as determinações cinéticas foi seguido o processo titulométrico geral. A reação foi interrompida pela solução de ácido nítrico adicionada. Os ions cloreto titulados com solução padronizada de nitrato de prata, utilizando-se a escala de mV do pHmetro E-516.

4. Tabelas

REAÇÃO DE 1-CLORO - 2,4-DINITROBENZENO COM NN-DIMETILGUANIDINA EM ETANOL ABSOLUTO.

DETERMINAÇÃO CINETICA Nº 1

Conc. do composto clorado	= 0,0203 M
Conc. da NN-dimetilguanidina	= 0,0406 ₀ M (*)
Conc. de nitrato de prata	= 0,0484 ₅ N
Volume de amostra	= 5,0186 ₅ ml
Volume de HNO ₃ 0,05M adic.	= 10,0 ml
Temperatura	= 10,0 ± 0,01°C

V _{AgNO₃} (ml)	x	(a-x)	1/(a-x)	Tempo (seg)
0,475	0,00459	0,01571	63,6 ₆	0
0,630	0,00608	0,01422	70,3 ₀	197
0,763	0,00737	0,01293	77,3 ₄	397
0,925	0,00893	0,01137	87,9 ₆	708
1,075	0,01038	0,00992	100,8 ₆	852
1,125	0,01086	0,00944	105,9 ₅	1244
1,232	0,01189	0,00841	118,9 ₃	1528
1,325	0,01279	0,00751	133,1 ₀	1862
1,432	0,01383	0,00647	154,5 ₅	2282

Do graf. $1/(a-x)$. l. mol⁻¹ vs t(seg) temos:

$$k_2 = 3,69 \times 10^{-2} \text{ l. mol}^{-1} \text{ s}^{-1}$$

(*) em solução contendo igual concentração de sulfato de NN-dimetilguanidinio.

REAÇÃO DE 1-CLORO - 2,4-DINITROBENZENO COM NN-DIMETILGUANIDINA EM ETANOL ABSOLUTO.

DETERMINAÇÃO CINETICA Nº 2

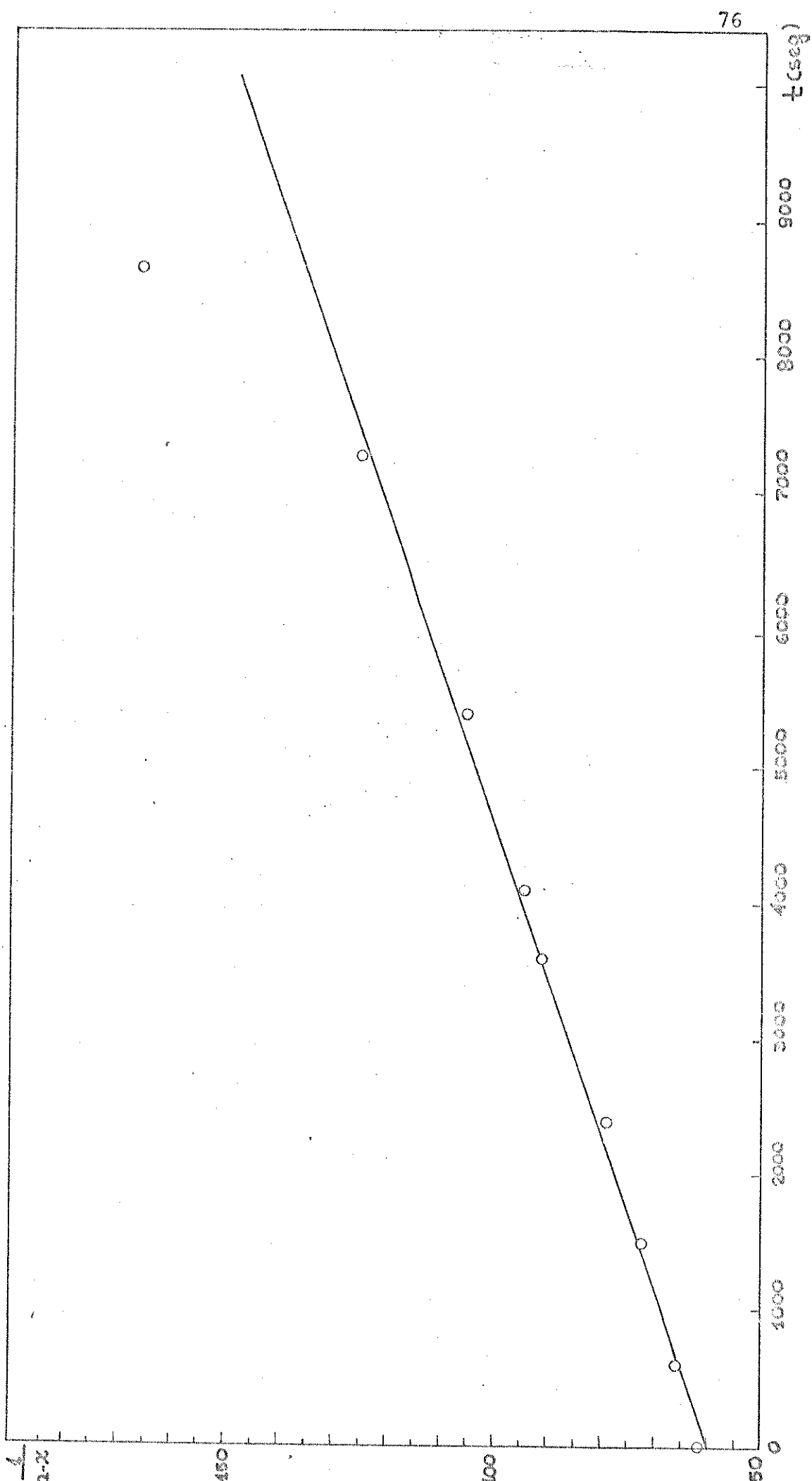
Conc. do composto clorado	= 0,0200 M
Conc. da NN-dimetilguanidina	= 0,0400 M (*)
Conc. de nitrato de prata	= 0,0484 ₅ N
Volume de amostra	= 5,0186 ₅ ml
Volume de HNO ₃ 0,05M adic.	= 10,0 ml
Temperatura	= 10,0 ± 0,01°C

V _{AgNO₃} (ml)	x	(a-x)	1/(a-x)	Tempo (seg)
0,695	0,00671	0,01329	75,3	0
0,775	0,00748	0,01252	79,8 ₈	126
0,832	0,00803	0,01197	83,5 ₈	247
0,935	0,00903	0,01097	91,2	459
0,987	0,00953	0,01047	95,5	646
0,995	0,00961	0,01039	96,3	866
1,175	0,01134	0,00866	115,5	1017
1,250	0,01207	0,00793	126,1	1253
1,410	0,01361	0,00639	156,5	1622

Do graf. $1/(a-x)$. l. mol⁻¹ vs t(seg) temos:

$$k_2 = 3,80 \times 10^{-2} \text{ l. mol}^{-1} \text{ s}^{-1}$$

(*) em solução contendo igual concentração de sulfato de NN-dimetilguanidinio.



Graf. nº 7 - Determinação da constante de velocidade da reação entre 1-cloro - 2,4-dinitrobenzeno e NN-dimetilguanidina em etanol absoluto à $10.0 \pm 0.01^\circ\text{C}$.

REAÇÃO DE 1-CLORO -2,4-DINITROBENZENO COM NN-DIMETILGUANIDINA EM ETANOL ABSOLUTO.

DETERMINAÇÃO CINETICA N° 3

Conc. do composto clorado	= 0,0204 M
Conc. de NN-dimetilguanidina	= 0,0408 M (*)
Conc. de nitrato de prata	= 0,0484 N
Volume de amostra	= 5,0186 ml
Volume de HNO ₃ 0,05M adic.	= 10,0 ml
Temperatura	= 0,0 ± 0,01°C

V _{AgNO₃} (ml)	x	(a-x)	1/(a-x)	Tempo (seg)
0,405	0,00391	0,01649	60,6	354
0,455	0,00439	0,01601	62,5	541
0,480	0,00463	0,01577	63,4	786
0,588	0,00568	0,01472	67,9	1165
0,675	0,00652	0,01388	72,1	1742
0,825	0,00797	0,01243	80,5	2157
0,963	0,00930	0,01110	90,1	2993
1,100	0,01062	0,00978	102,3	3870

Do graf. $1/(a-x)$ l. mol⁻¹ vs t(seg) temos:

$$k_2 = 1,30 \times 10^{-2} \text{ l. mol}^{-1} \text{ s}^{-1}$$

(*) em solução contendo igual concentração de sulfato de NN-dimetilguanidinio.

REAÇÃO DE 1-CLORO - 2,4-DINITROBENZENO COM NN-DIMETILGUANIDINA EM ETANOL ABSOLUTO.

DETERMINAÇÃO CINETICA N° 4

Conc. do composto clorado	= 0,0202 M
Conc. da NN-dimetilguanidina	= 0,0404 M (*)
Conc. de cloreto adicionado	= 0,0200 M (*) (*)
Conc. de nitrato de prata	= 0,0484 N
Volume de amostra	= 5,0186 ml
Volume de HNO ₃ 0,05M adic.	= 10,0 ml
Temperatura	= 0,0 ± 0,01°C

V _{AgNO₃} (ml)	N _{Cl}	x	(a-x)	1/(a-x)	Tempo (seg)
2,200	0,02124	0,00124	0,01896	52,7	0
2,320	0,02240	0,00240	0,01780	56,2	332
2,480	0,02394	0,00394	0,01626	61,5	767
2,590	0,02500	0,00500	0,01520	65,8	1160
2,685	0,02592	0,00592	0,01428	70,0	1516
2,820	0,02722	0,00722	0,01298	77,0	2138
2,920	0,02819	0,00819	0,01201	83,3	2598
3,030	0,02925	0,00925	0,01095	91,3	3061
3,193	0,03083	0,01083	0,00937	106,7	3977

Do graf. $1/(a-x)$ l. mol⁻¹ vs t(seg) temos:

$$k_2 = 1,20 \times 10^{-2} \text{ l. mol}^{-1} \text{ s}^{-1}$$

(*) em solução contendo igual concentração de sulfato de NN-dimetilguanidinio.

(*) (*) usado o cloreto de tetrametil-amonio.

REAÇÃO DE 1-CLORO - 2,4-DINITROBENZENO COM NN-DIMETILGUANIDINA
EM ETANOL ABSOLUTO.

DETERMINAÇÃO CINETICA Nº 5

Conc. do composto clorado	=	0,0207 ⁰ M
Conc. da NN-dimetilguanidina	=	0,0414 ⁰ M (*)
Conc. de cloreto adicionado	=	0,0200 ⁰ M (*) (*)
Conc. de nitrato de prata	=	0,0484 ⁵ N
Volume de amostra	=	5,0186 ⁵ ml
Volume de HNO ₃ 0,05M adic.	=	10,0 ml
Temperatura	=	-5,6 ± 0,01°C

V _{AgNO₃} (ml)	N _{Cl}	x	(a-x)	1/(a-x)	Tempo (seg)
2,200	0,92124	0,00124	0,01946	51,4	0
2,180	0,02105	0,00105	0,01965	59,9	193
2,270	0,02191	0,00191	0,01879	53,2	505
2,435	0,02351	0,00351	0,01719	58,2	1188
2,650	0,02442	0,00442	0,01628	61,4	1762
2,660	0,02568	0,00568	0,01502	66,6	2503
2,830	0,02732	0,00732	0,01338	74,7	3561
2,960	0,02858	0,00858	0,01212	82,5	4568
3,190	0,03080	0,01080	0,00990	101,0	5762

Do graf. $1/(a-x)$ l. mol⁻¹ vs t(seg) temos:

$$k_2 = 7,30 \times 10^{-3} \text{ l. mol}^{-1} \text{ s}^{-1}$$

(*) em solução contendo igual concentração de sulfato de NN-dimetilguanidinio.

(*) (*) usado o cloreto de tetrametil-amônio.

REAÇÃO DE 1-CLORO - 2,4-DINITROBENZENO COM NN-DIMETILGUANIDINA
EM ETANOL ABSOLUTO.

DETERMINAÇÃO CINETICA Nº 6

Conc. do composto clorado	=	0,0202 ⁵ M
Conc. de NN-dimetilguanidina	=	0,0404 ⁵ M (*)
Conc. de nitrato de prata	=	0,0484 ⁵ N
Volume de amostra	=	5,0186 ⁵ ml
Volume de HNO ₃ 0,05M adic.	=	10,0 ml
Temperatura	=	-10,0 ± 0,1°C

V _{AgNO₃} (ml)	x	(a-x)	1/(a-x)	Tempo (seg)
0,425	0,00410	0,01615	61,9	0
0,525	0,00507	0,01518	65,9	605
0,663	0,00640	0,01385	72,2	1480
0,788	0,00761	0,01264	79,1	2388
0,960	0,00927	0,01098	91,1	3595
1,000	0,00927	0,01059	94,4	4101
1,113	0,01075	0,00950	105,3	5373
1,270	0,01226	0,00799	125,2	7268
1,475	0,01424	0,00601	166,4	8654

Do graf. $1/(a-x)$ l. mol⁻¹ vs t(seg) temos:

$$k_2 = 8,80 \times 10^{-3} \text{ l. mol}^{-1} \text{ s}^{-1}$$

(*) em solução contendo igual concentração de sulfato de NN-dimetilguanidinio.

REAÇÃO DE 1-CLORO - 2,4-DINITROBENZENO COM NN-DIMETILGUANIDINA
EM ETANOL ABSOLUTO.

DETERMINAÇÃO CINETICA Nº 7

Conc. do composto clorado	=	0,0201 ₅ M
Conc. de NN-dimetilguanidina	=	0,0403 ₀ M (*)
Conc. de nitrato de prata	=	0,0484 ₅ N
Volume de amostra	=	5,0186 ₅ ml
Volume de HNO ₃ 0,05M adic.	=	10,0 ml
Temperatura	=	-20,4 ± 0,1°C

V _{AgNO₃} (ml)	x	(a-x)	1/(a-x)	Tempo (seg)
0,420	0,00406	0,01609	62,2	924
0,475	0,00459	0,01556	64,3	1874
0,540	0,00521	0,01494	66,9	3296
0,630	0,00608	0,01407	71,1	4975
0,740	0,00715	0,01300	76,9	7516
0,835	0,00806	0,01209	82,7	9368
0,870	0,00840	0,01175	85,1	10080
0,913	0,00882	0,01133	88,2 ₆	11409

Do graf. $1/(a-x)$ l. mol⁻¹ vs t(seg) temos:

$$k_2 = 2,50 \times 10^{-3} \text{ l. mol}^{-1} \text{ s}^{-1}$$

(*) em solução contendo igual concentração de sulfato de NN-dimetilguanidinio.

REAÇÃO DE 1-CLORO - 2,4-DINITROBENZENO COM NN-DIMETILGUANIDINA
EM ETANOL ABSOLUTO.

DETERMINAÇÃO CINETICA Nº 8

Conc. do composto clorado	=	0,0201 ₅ M
Conc. de NN-dimetilguanidina	=	0,0403 ₀ M (*)
Conc. de nitrato de prata	=	0,0484 ₅ N
Volume de amostra	=	5,0186 ₅ ml
Volume de HNO ₃ 0,05M adic.	=	10,0 ml
Temperatura	=	-20,5 ± 0,1°C

V _{AgNO₃} (ml)	x	(a-x)	1/(a-x)	Tempo (seg)
0,400	0,00386	0,01629	61,4	0
0,485	0,00468	0,01547	64,6	1156
0,560	0,00541	0,01474	67,8	3057
0,640	0,00618	0,01397	71,6	3948
0,700	0,00676	0,01339	74,7	5770
0,800	0,00772	0,01243	80,5	8829
0,900	0,00869	0,01146	87,3	9230
0,945	0,00912	0,01103	90,7	10941

Do graf. $1/(a-x)$ l. mol⁻¹ vs t(seg) temos:

$$k_2 = 2,30 \times 10^{-3} \text{ l. mol}^{-1} \text{ s}^{-1}$$

(*) em solução contendo igual concentração de sulfato de NN-dimetilguanidinio.

REAÇÃO DE 1-CLORO,-2,4-DINITROBENZENO COM NN-DIMETILGUANIDINA EM
ETANOL ABSOLUTO.

PARAMETROS DE ARRHENIUS

DETERM. CINÉT.Nº	t (°C)	T (K)	$10^3/(1/T)$ (K ⁻¹)	$10^2 \cdot k_2$ (l.mol ⁻¹ s ⁻¹)	$\log_{10} k_2$
1	10,0	283,16	3,5316	3,70	-1,4317 ₉
2	10,0	283,16	3,5316	3,80	-1,4222
3	0,0	273,16	3,6609	1,30	-1,8861
4	0,0	273,16	3,6609	1,20	-1,9208
5	-5,6	267,56	3,7370	0,73	-2,1361
6	-10,0	263,16	3,7999	0,88	-2,0555
7	-20,4	252,76	3,9563	0,25	-2,6021
8	-20,5	252,66	3,9579	0,23	-2,6383

$$\Delta E^\ddagger = 12,29 \text{ kcal.mol}^{-1}$$

$$\log_{10} B = 8,00$$

$$\Delta S^\ddagger_{25} = -21,92 \text{ u.e.}$$

$$\Delta H^\ddagger_{25} = 11,69 \text{ kcal.mol}^{-1}$$

$$\Delta G^\ddagger_{25} = 18,23 \text{ kcal.mol}^{-1}$$

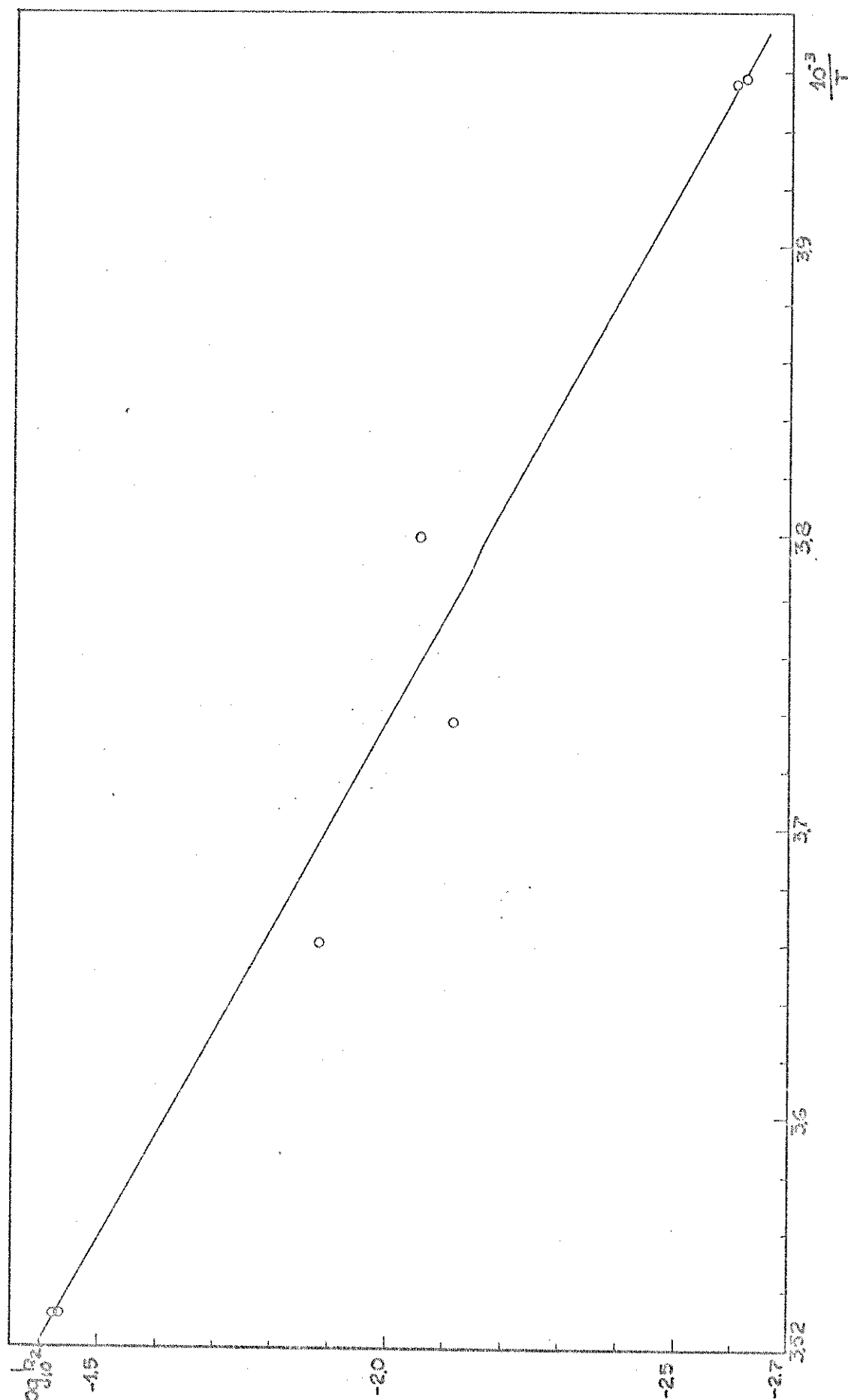
Constantes de velocidade calculadas à:

$$-20,0^\circ\text{C}, k_2 = 2,49 \times 10^{-3} \text{ l.mol}^{-1}\text{s}^{-1}$$

$$0,0^\circ\text{C}, k_2 = 1,62 \times 10^{-2} \text{ l.mol}^{-1}\text{s}^{-1}$$

$$50,0^\circ\text{C}, k_2 = 4,94 \times 10^{-1} \text{ l.mol}^{-1}\text{s}^{-1}$$

$$100,0^\circ\text{C}, k_2 = 64,16 \times 10^{-1} \text{ l.mol}^{-1}\text{s}^{-1}$$



Graf. nº 8 - Gráfico de Arrhenius da reação entre 1-cloro,-2,4-dinitro benzeno e NN-dimetilguanidina em etanol absoluto no intervalo de $10,0 \pm 0,01$ à $-20,5 \pm 0,01^\circ\text{C}$.

6.5.4.5. - REAÇÃO DE 1-BROMO-2,4-DINITROBENZENO COM SIM-TRIMETILGUANIDINA EM ETANOL ABSOLUTO.

1. Reagentes

- a) 1-bromo-2,4-dinitrobenzeno - purificado de acordo com o processo descrito no item 6.5.1-a
- b) Brometo de sim-trimetilguanidínio

Este reagente foi sintetizado de acordo com o processo descrito na literatura, com substituição do iodeto de cianogenio pelo brometo correspondente.

(10)
Preparação: 2,0g de brometo de cianogenio foi juntado a 20ml de uma solução de metilamina em etanol absoluto a 40%. A solução resultante foi então colocada em uma ampola e aquecida a 125-130°C durante quatro horas. Após resfriamento houve formação de cristais, na forma de agulhas brancas, que após filtrados a vacuo foram recristalizados em etanol a quente e levados a estufa a 100°C. O produto apresentou ponto de fusão igual a 339 - 340°C (Lit.= 339-340°C). Pela concentração da solução alcoolica foram obtidos novos cristais, com o mesmo ponto de fusão.

2. Solvente

Etanol absoluto - o produto comercial foi purificado de acordo com o processo descrito no item 6.5.2-a

3. Determinação da velocidade de reacão

As medidas cinéticas foram efetuadas no intervalo de -3,8 a 25°C , utilizando-se o termostato HETOTHERM.

Inicialmente, foi feita a neutralização parcial do brometo de sim-trimetilguanidínio com a solução-padrão de etóxido de sódio aproximadamente 0,1N, obtendo-se uma solução de sim-trimetilguanidina, com igual concentração de brometo de sim-trimetilguanidínio, e um precipitado de brometo de sódio. Após a filtração do sal, foi feita a padronização da solução e a determinação do brometo presente. A seguir foi preparada a solução de substrato (1-bromo-2,4-dinitrobenzeno), em etanol mantendo-se a relação molar:nucleófilo:substrato:: 2:1.

Para as determinações cinéticas foi seguido o processo titulométrico geral. A reação foi interrompida pela solução de ácido nítrico adicionada.

Os ions brometo presentes foram titulados com solução padronizada de nitrato de prata, utilizando-se a escala de mV do pHmetro E-516.

4. Tabelas

REAÇÃO DE 1-BROMO-2,4-DINITROBENZENO COM SIM-TRIMETILGUANIDINA
EM ETANOL ABSOLUTO.

DETERMINAÇÃO CINÉTICA Nº 1

Conc. do composto bromado	=	0,0198 M
Conc. da sim-trimetilguanidina	=	0,0396 ⁰ M (*)
Conc. do brometo inicial	=	0,0359 ⁰ M
Conc. de nitrato de prata	=	0,0471 ⁹ N
Volume da amostra	=	5,0186 ⁶ ml
Volume de HNO ₃ 0,05M adicionado	=	10,0 ml
Temperatura	=	25,0 ± 0,01°C

V _{AgNO₃} (ml)	N _{Br}	x	a-x	1/(a-x)	Tempo (seg)
4,050	0,03806	0,00207	0,01773	56,40	0
4,180	0,03928	0,00329	0,01651	60,57	147
4,350	0,04088	0,00489	0,01491	67,07	346
4,490	0,04219	0,00620	0,01360	73,53	516
4,670	0,04388	0,00789	0,01191	83,96	855
4,800	0,04511	0,00912	0,01068	93,63	1081
4,910	0,04614	0,01015	0,00965	103,63	1345
5,060	0,04755	0,01156	0,00824	121,36	1771
5,150	0,04839	0,01240	0,00740	135,14	2167

Do graf.: $1/(a-x) \text{ l. mol}^{-1}$ vs t (seg) temos:

$$k_2 = 3,54 \times 10^{-2} \text{ l. mol}^{-1} \cdot \text{s}^{-1}$$

(*) em solução contendo igual concentração de brometo de sim-trimetilguanidinio.

REAÇÃO DE 1-BROMO-2,4-DINITROBENZENO COM SIM-TRIMETILGUANIDINA
EM ETANOL ABSOLUTO.

DETERMINAÇÃO CINÉTICA Nº 2

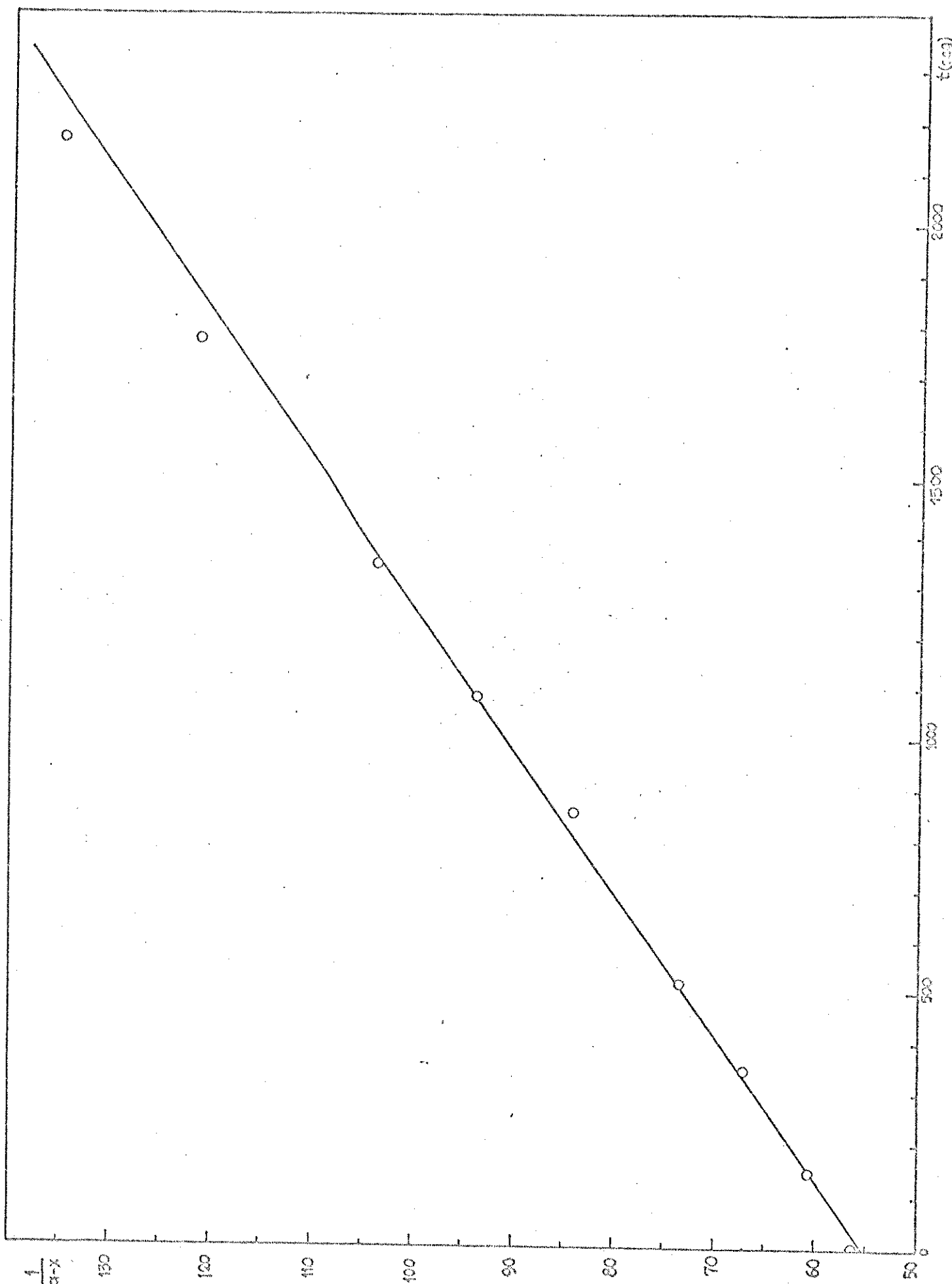
Conc. do composto bromado	=	0,0195 M
Conc. da sim-trimetilguanidina	=	0,0390 ³ M (*)
Conc. do brometo inicial	=	0,0404 ⁶ M
Conc. de nitrato de prata	=	0,0471 ² N
Volume da amostra	=	5,0186 ⁶ ml
Volume de HNO ₃ 0,05M adicionado	=	10,0 ml
Temperatura	=	25,0 ± 0,01°C

V _{AgNO₃} (ml)	N _{Br}	x	a-x	1/(a-x)	Tempo (seg)
4,500	0,04229	0,00187	0,01766	56,63	0
4,620	0,04341	0,00299	0,01654	60,46	116
4,720	0,04435	0,00393	0,01560	64,10	248
4,820	0,04529	0,00487	0,01466	68,21	406
4,910	0,04614	0,00572	0,01381	72,41	556
5,030	0,04727	0,00685	0,01268	78,86	732
5,190	0,04877	0,00835	0,01118	89,45	993
5,280	0,04962	0,00920	0,01033	96,81	1240
5,410	0,05084	0,01042	0,00911	109,77	1530

Do graf.: $1/(a-x) \text{ l. mol}^{-1}$ vs t (seg) temos:

$$k_2 = 3,30 \times 10^{-2} \text{ l. mol}^{-1} \cdot \text{s}^{-1}$$

(*) em solução contendo igual concentração de brometo de sim-trimetilguanidinio.



Graf. nº 9 - Determinação da constante de velocidade da reação entre 1-bromo-2,4-dinitrobenzeno e sim-trimetilguanidina, em etanol absoluto à $25.0 \pm 0.01^\circ\text{C}$.

REAÇÃO DE 1-BROMO-2,4-DINITROBENZENO COM SIM-TRIMETILGUANIDINA EM ETANOL ABSOLUTO.

DETERMINAÇÃO CINÉTICA Nº 3

Conc. do composto bromado	=	0,0207 M
Conc. da sim-trimetilguanidina	=	0,0414 M (*)
Conc. do brometo inicial	=	0,0399 M
Conc. de nitrato de prata	=	0,0471 N
Volume da amostra	=	5,0186 ml
Volume de HNO ₃ 0,05M adic.	=	10,0 ml
Temperatura	=	1,50 ± 0,01°C

V _{AgNO₃} (ml)	N _{Br}	x	a-x	1/(a-x)	Tempo (seg)
4,710	0,04425	0,00427	0,01709	58,51	0
4,420	0,04153	0,00154	0,01916	52,19	135
4,540	0,04266	0,00267	0,01803	55,46	282
4,770	0,04482	0,00483	0,01587	63,01	917
4,780	0,04492	0,00493	0,01577	63,41	2338
5,290	0,04971	0,00972	0,01098	91,07	2875
5,480	0,05149	0,01145	0,00925	108,11	3886
5,580	0,05244	0,01245	0,00825	121,21	5110

Do graf.: $1/(a-x) \text{ l. mol}^{-1}$ vs t (seg) temos:

$$k_2 = 1,37 \times 10^{-2} \text{ l. mol}^{-1} \cdot \text{s}^{-1}$$

(*) em solução contendo igual concentração de brometo de sim-trimetilguanidinio.

REAÇÃO DE 1-BROMO-2,4-DINITROBENZENO COM SIM-TRIMETILGUANIDINA EM ETANOL ABSOLUTO.

DETERMINAÇÃO CINÉTICA Nº 4

Conc. do composto bromado	=	0,0189 M
Conc. da sim-trimetilguanidina	=	0,0378 M (*)
Conc. do brometo inicial	=	0,0427 M
Conc. de nitrato de prata	=	0,0471 N
Volume da amostra	=	5,0186 ml
Volume de HNO ₃ 0,05M adic.	=	10,0 ml
Temperatura	=	5,0 ± 0,01°C

V _{AgNO₃} (ml)	N _{Br}	x	a-x	1/(a-x)	Tempo (seg)
4,600	0,04323	0,00053	0,01837	54,44	0
4,850	0,04558	0,00288	0,01602	62,42	474
4,700	0,04417	0,00147	0,01743	57,37	1461
5,070	0,04764	0,00494	0,01396	71,63	3111
5,330	0,05009	0,00739	0,01151	86,88	6175
5,460	0,05131	0,00861	0,01029	97,18	7895
5,560	0,05225	0,00955	0,00935	106,95	9086
5,700	0,05356	0,01086	0,00804	124,38	10614

Do graf.: $1/(a-x) \text{ l. mol}^{-1}$ vs t(seg) temos:

$$k_2 = 5,41 \times 10^{-3} \text{ l. mol}^{-1} \cdot \text{s}^{-1}$$

(*) em solução contendo igual concentração de brometo de sim-trimetilguanidinio.

REACÃO DE 1-BROMO-2,4-DINITROBENZENO COM SIM-TRIMETILGUANIDINA EM ETANOL ABSOLUTO.

PARAMETROS DE ARRHENIUS

DETERMIN. CINÉTICA Nº	t (°C)	T (K)	10 ³ /T	10 ³ k ₂	log ₁₀ k ₂
1	25,0	298,16	3,3539	35,43	-1,4506
2	25,0	298,16	3,3539	33,00	-1,4815
3	15,0	288,16	3,4703	13,70	-1,8633
4	5,0	278,16	3,5951	5,41	-2,2668
5	-3,8	269,36	3,7125	2,26	-2,6463

$$\Delta E^\ddagger = 15,07 \text{ kcal. mol}^{-1}$$

$$\log_{10} B = 9,57$$

$$\Delta S^\ddagger = -14,72 \text{ u.e.}$$

$$\Delta H^\ddagger = 14,48 \text{ kcal. mol}^{-1}$$

$$\Delta G^\ddagger = 18,87 \text{ kcal. mol}^{-1}$$

Constantes de velocidade calculadas a:

$$\begin{aligned} -20,0^\circ\text{C}, k_2 &= 3,69 \times 10^{-4} \text{ l. mol}^{-1} \text{ s}^{-1} \\ 0,0^\circ\text{C}, k_2 &= 3,31 \times 10^{-3} \text{ l. mol}^{-1} \text{ s}^{-1} \\ 50,0^\circ\text{C}, k_2 &= 2,43 \times 10^{-1} \text{ l. mol}^{-1} \text{ s}^{-1} \\ 100,0^\circ\text{C}, k_2 &= 56,27 \times 10^{-1} \text{ l. mol}^{-1} \text{ s}^{-1} \end{aligned}$$

REACÃO DE 1-BROMO-2,4-DINITROBENZENO COM SIM-TRIMETILGUANIDINA EM ETANOL ABSOLUTO.

DETERMINAÇÃO CINÉTICA Nº 5

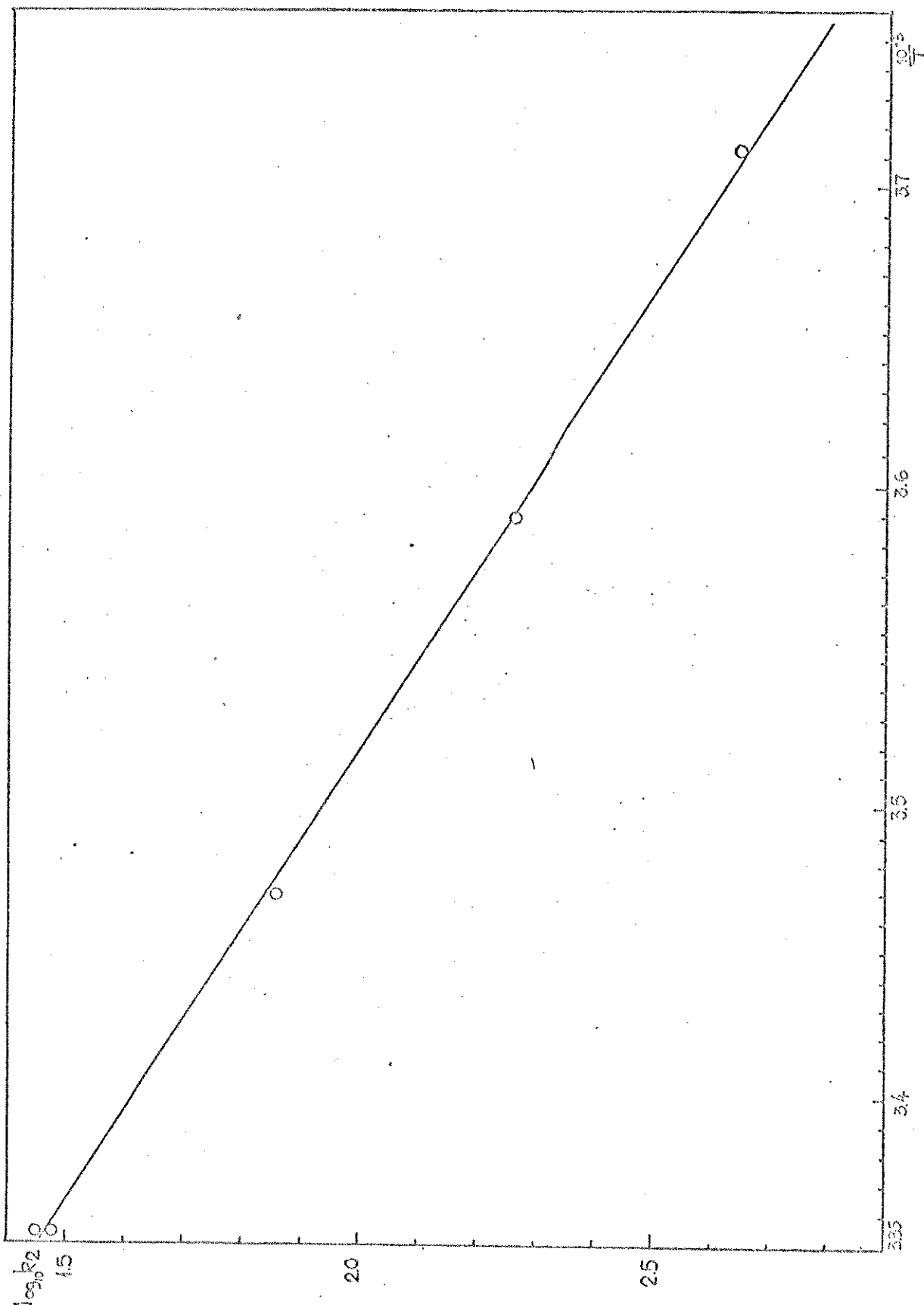
Conc. do composto bromado	=	0,01980 M
Conc. da sim-trimetilguanidina	=	0,03960 M (*)
Conc. do brometo inicial	=	0,04262 M
Cônc. de nitrato de prata	=	0,04712 N
Volume da amostra	=	5,01866 ml
Volume de HNO_3 0,05M adic.	=	10,0 ml
Temperatura	=	-3,8 ± 0,05°C

V_{AgNO_3} (ml)	N_{Br}	x	(a-x)	$1/(a-x)$	Tempo (seg)
4,660	0,04379	0,00117	0,01863	53,68	0
4,810	0,04520	0,00258	0,01722	58,07	2247
4,870	0,04576	0,00314	0,01666	60,02	3411
4,970	0,04670	0,00408	0,01572	63,61	4692
5,010	0,04708	0,00446	0,01534	65,19	5964
5,150	0,04839	0,00577	0,01403	71,28	7990
5,370	0,05046	0,00784	0,01196	83,61	10442
5,380	0,05056	0,00794	0,01186	84,32	13380

Do graf.: $1/(a-x)$ 1. mol⁻¹ vs. t(seg) temos:

$$k_2 = 2,26 \times 10^{-3} \text{ 1. mol}^{-1} \cdot \text{s}^{-1}$$

(*) em solução contendo igual concentração de brometo de sim-trimetilguanidônio.



Graf. nº 10 - Curva de Arrhenius da reação entre 1-bromo-2,4-dinitrobenzeno e sim-trimetilguanidina em etanol absoluto no intervalo de $25,0 \pm 0,01$ à $-3,8 \pm 0,01^\circ\text{C}$.

6.5.4.6. - REAÇÃO DE 1-BROMO-2,4-DINITROBENZENO COM METILGUANIDINA
EM ETANOL ABSOLUTO.

1. - Reagentes

- a) 1-bromo-2,4-dinitrobenzeno - purificado de acordo com o processo descrito no item 6.5.1-a
- b) sulfato de metilguanidínio - sintetizado de acordo com o item 6.5.4.3,

2. - Solventes

Etanol absoluto: o produto comercial foi purificado de acordo com o processo descrito no item 6.5.2-a

3. - Determinação da velocidade de reação

As medidas cinéticas foram efetuadas no intervalo de -5,0 a + 20,0 °C, utilizando-se o termostato HETOTHERM. Inicialmente, foi feita a neutralização parcial do sulfato de metilguanidínio com a solução padrão de etóxido de sódio aproximadamente 0,2N, obtendo-se uma solução de metilguanidina com igual concentração de sulfato de metilguanidínio, e um precipitado de sulfato de sódio. Após a filtração do sal foi feita a padronização da solução. A seguir foi preparada a solução do substrato (1-bromo-2,4-dinitrobenzeno) em etanol absoluto, mantendo-se a relação molar nucleófilo:substrato::2:1.

Para as determinações cinéticas foi seguido o processo geral titulométrico. A reação foi interrompida pela solução de ácido nítrico adicionado. Os íons brometo presentes foram titulados com solução padronizada de nitrato de prata, utilizando-se a escala de mV do pHmetro E-516.

4. - Tabelas

REAÇÃO DE 1-BROMO-2,4-DINITROBENZENO COM METILGUANIDINA EM ETANOL ABSOLUTO.

DETERMINAÇÃO CINÉTICA Nº 1

Conc. do composto bromado	=	0,0212 M
Conc. da metilguanidina	=	0,0425 M (*)
Conc. de nitrato de prata	=	0,0471 N
Volume da amostra	=	5,0186 ml
Volume de HNO_3 0,05M adic.	=	10,0 ml
Temperatura	=	20,0 \pm 0,01°C

V_{AgNO_3} (ml)	x	(a-x)	$1/(a-x)$	Tempo (seg)
0,250	0,00235	0,01890	52,91	0
0,340	0,00320	0,01805	55,40	102
0,450	0,00423	0,01702	58,75	194
0,520	0,00489	0,01636	61,12	284
0,630	0,00592	0,01533	65,23	397
0,710	0,00667	0,01458	68,59	513
0,790	0,00742	0,01383	72,31	633
0,880	0,00827	0,01298	77,04	777
1,030	0,00968	0,01157	86,43	1019

Do graf.: $1/(a-x) \text{ l. mol}^{-1}$ vs t (seg) temos:

$$k_2 = 3,15 \times 10^{-2} \text{ l. mol}^{-1} \cdot \text{s}^{-1}$$

(*) em solução contendo igual concentração de sulfato de metil guanidinio.

REAÇÃO DE 1-BROMO-2,4-DINITROBENZENO COM METILGUANIDINA EM ETANOL ABSOLUTO.

DETERMINAÇÃO CINÉTICA Nº 2

Conc. do composto bromado	=	0,0208 M
Conc. da metilguanidina	=	0,0416 M (*)
Conc. de nitrato de prata	=	0,0471 N
Volume da amostra	=	5,0186 ml
Volume de HNO_3 0,05M adic.	=	10,0 ml
Temperatura	=	10,15 \pm 0,01°C

V_{AgNO_3} (ml)	x	(a-x)	$1/(a-x)$	Tempo (seg)
0,160	0,00150	0,01930	51,81	0
0,210	0,00197	0,01883	53,11	134
0,300	0,00282	0,01798	55,62	269
0,370	0,00348	0,01732	57,74	472
0,450	0,00423	0,01657	60,35	627
0,495	0,00465	0,01615	61,92	814
0,620	0,00583	0,01497	66,80	1175
0,830	0,00800	0,01300	76,92	1864
0,990	0,00930	0,01150	86,96	2544

Do graf.: $1/(a-x) \text{ l. mol}^{-1}$ vs t (seg) temos:

$$k_2 = 1,39 \times 10^{-2} \text{ l. mol}^{-1} \cdot \text{s}^{-1}$$

(*) em solução contendo igual concentração de brometo de metil guanidinio.

REAÇÃO DE 1-BROMO-2,4-DINITROBENZENO COM METILGUANIDINA EM ETANOL ABSOLUTO.

DETERMINAÇÃO CINÉTICA N° 3

Conc. do composto bromado	= 0,0208 M
Conc. da metilguanidina	= 0,0417 M (*)
Conc. de nitrato de prata	= 0,0471 N
Volume da amostra	= 5,0186 ml
Volume de HNO ₃ 0,05M adic.	= 10,0 ml
Temperatura	= 0,5 ± 0,01°C

V AgNO ₃ (ml)	x	(a-x)	1/(a-x)	Tempo (seg)
0,260	0,00244	0,01841	54,32	0
0,340	0,00320	0,01765	56,66	359
0,460	0,00432	0,01653	60,50	827
0,570	0,00536	0,01549	64,56	1302
0,670	0,00630	0,01455	68,73	1883
0,830	0,00780	0,01305	76,63	3259
0,990	0,00930	0,01155	86,58	4045
1,220	0,01146	0,00939	106,50	5793
1,320	0,01240	0,00845	118,34	7069

Do graf.: $1/(a-x) \text{ l.mol}^{-1}$ vs t (seg) temos:

$$k_2 = 7,97 \times 10^{-3} \text{ l.mol}^{-1} \text{ s}^{-1}$$

(*) em solução contendo igual concentração de sulfato de metilguanidinio.

REAÇÃO DE 1-BROMO-2,4-DINITROBENZENO COM METILGUANIDINA EM ETANOL ABSOLUTO.

DETERMINAÇÃO CINÉTICA N° 4

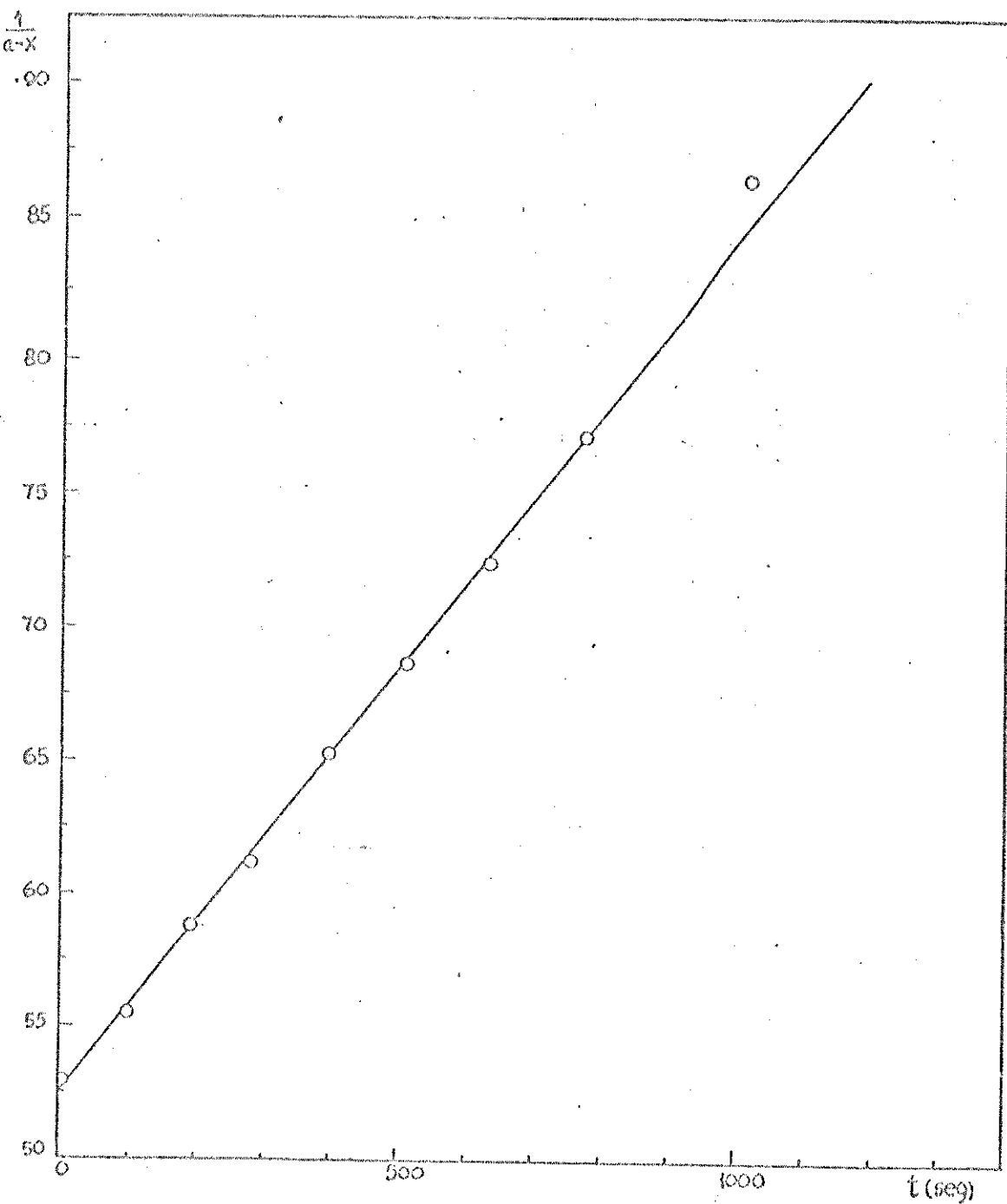
Conc. do composto bromado	= 0,0208 M
Conc. da metilguanidina	= 0,0416 M (*)
Conc. de nitrato de prata	= 0,0508 N
Volume da amostra	= 5,0186 ml
Volume de HNO ₃ 0,05M Adic.	= 10,0 ml
Temperatura	= -5,0 ± 0,01°C

V AgNO ₃ (ml)	x	(a-x)	1/(a-x)	Tempo (seg)
0,450	0,00456	0,01624	61,58	0
0,640	0,00649	0,01431	69,88	1401
0,770	0,00780	0,01300	76,92	3057
0,860	0,00872	0,01208	82,78	4257
1,020	0,01034	0,01046	95,60	6032
1,140	0,01156	0,00924	108,23	8049
1,150	0,01166	0,00914	109,41	8433
1,210	0,01227	0,00853	117,23	10009

Do graf.: $1/(a-x) \text{ l.mol}^{-1}$ vs t(seg) temos:

$$k_2 = 5,63 \times 10^{-3} \text{ l.mol}^{-1} \text{ s}^{-1}$$

(*) em solução contendo igual concentração de sulfato de metilguanidinio.



Graf. nº 11 - Determinação de velocidade da reação entre 1-bromo-2,4-dinitrobenzeno e metilguanidina, em etanol abso-luto, à $20.0 \pm 0.01^\circ\text{C}$.

REAÇÃO DE 1-BROMO-2,4-DINITROBENZENO COM METILGUANIDINA EM ETANOL ABSOLUTO.

PARAMETROS DE ARRHENIUS

DETERMIN. CINÉTICA Nº	t (°C)	T (K)	10 ³ /T (K ⁻¹)	10 ³ k ₂	log ₁₀ k ₂
1	20,00	293,16	3,4111	31,54	-1,5011
2	10,15	283,31	3,5297	13,92	-1,8564
3	0,50	273,66	3,6541	7,97	-2,0986
4	-5,00	268,16	3,7291	5,63	-2,2496

$$\Delta E^\neq = 10,61 \text{ kcal. mol}^{-1}$$

$$\log_{10} B = 6,38$$

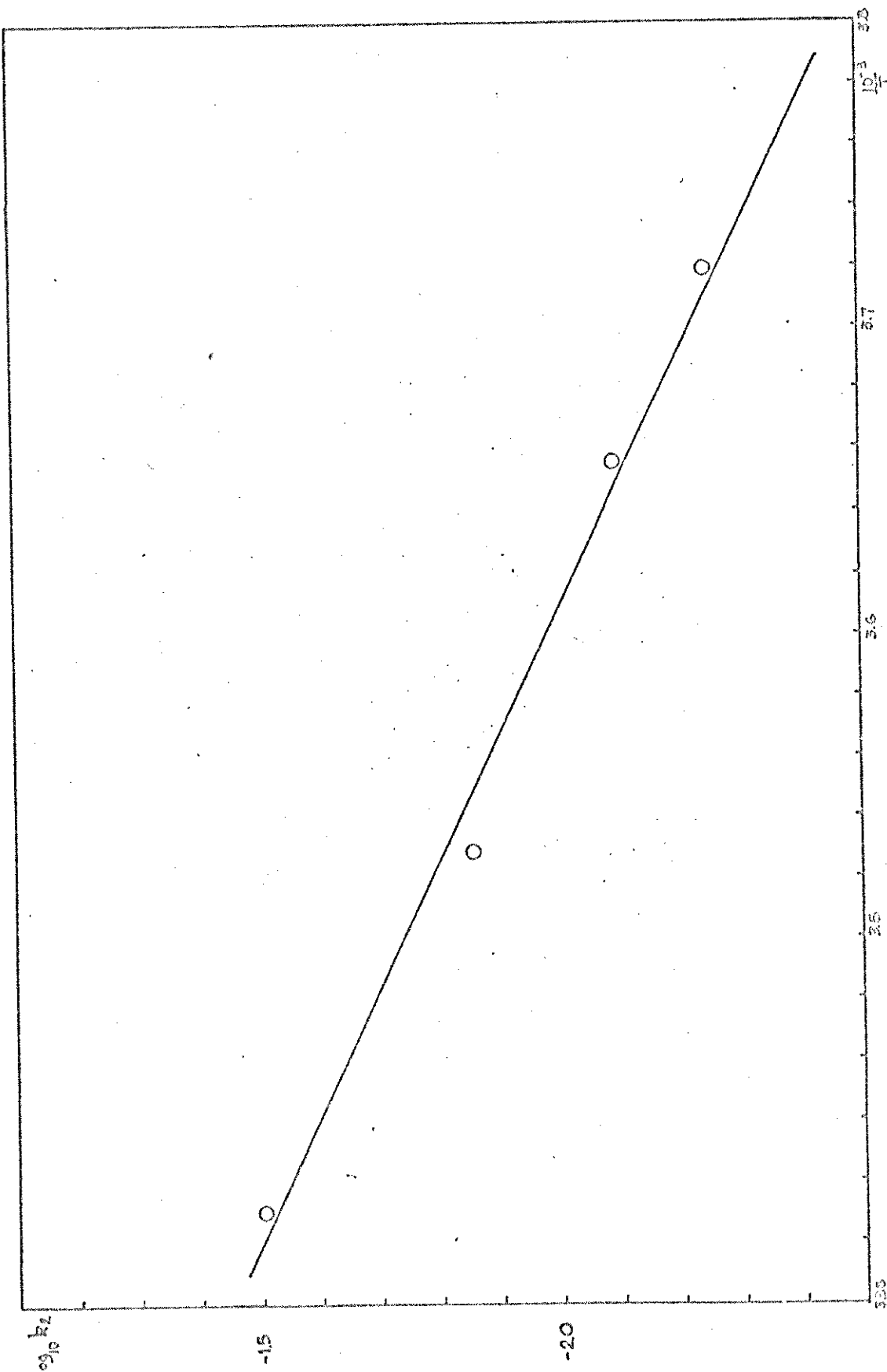
$$\Delta S^\neq_{25} = -29,35 \text{ u.e.}$$

$$\Delta H^\neq_{25} = 10,02 \text{ kcal. mol}^{-1}$$

$$\Delta G^\neq_{25} = 18,77 \text{ kcal. mol}^{-1}$$

Constantes de velocidade calculadas a:

$$\begin{aligned} -20,0^\circ\text{C}, k_2 &= 1,65 \times 10^{-3} \text{ l. mol}^{-1} \text{ s}^{-1} \\ 0,0^\circ\text{C}, k_2 &= 7,74 \times 10^{-3} \text{ l. mol}^{-1} \text{ s}^{-1} \\ 50,0^\circ\text{C}, k_2 &= 1,59 \times 10^{-1} \text{ l. mol}^{-1} \text{ s}^{-1} \\ 100,0^\circ\text{C}, k_2 &= 14,57 \times 10^{-1} \text{ l. mol}^{-1} \text{ s}^{-1} \end{aligned}$$



Graf. nº 12 - Curva de Arrhenius da reação entre 1-bromo-2,4-dinitrobenzeno e metilguanidina, em etanol absoluto, no intervalo de $20,0 \pm 0,01$ à $-5,0 \pm 0,01^\circ\text{C}$.

6.5.4.7. - REAÇÃO DE 1-CLORO-2,4-DINITROBENZENO COM ACETAMIDINA EM ETANOL ABSOLUTO.

1. Reagentes

- a) 1-cloro-2,4-dinitrobenzeno - purificado de acordo com o processo descrito no item 6.5.1-a
- b) cloreto de acetamidinio
(29a)

Preparação: Passou-se gas HCl numa mistura de 50g de acetonitria, (previamente purificada e seca) e 56,5g de etanol absoluto contidos em um banho de gelo-sal até que o peso total aumentasse de 47,5g. Após alguns dias, o etoxicloreto de acetamidinio precipitou. A massa sólida, juntamente com 50ml de etanol absoluto foi agitada com 250ml de solução de amônia em etanol a 9%. Após algumas horas foi filtrado o cloreto de amônio formado e o filtrado foi evaporado em banho-maria até o apagamento de cristais. Após resfriamento, os cristais de cloreto de acetamidinio foram lavados com etanol gelado e secos em dissecador contendo ácido sulfúrico. O ponto de fusão foi de 164 - 166°C (Lit. = 164 - 166°C).

2. Solvente

Etanol absoluto - foi utilizado o etanol purificado pelo processo descrito no item 6.5.2-a

3. Determinação da velocidade de reação

As medidas cinéticas foram efetuadas no intervalo de 15,0 a 47,2°C utilizando-se o termostato THERMOMIX 1460.

Inicialmente, foi feita a neutralização parcial do cloreto de acetamidinio com a solução-padrão de etóxido de sódio aproximadamente 0,1N, obtendo-se uma solução de acetamidina, com igual concentração de cloreto de acetamidinio, e um precipitado de cloreto de sódio. Após a filtração do sal, foi feita a padronização da solução e a determinação de cloreto presente (inclusive o cloreto de sódio solubilizado no etanol). A seguir foi preparada a solução de substrato (1-cloro-2,4-dinitrobenzeno), em etanol mantendo-se a relação molar:nucleófilo:substrato:: 2:1.

Para as determinações cinéticas foi seguido o processo titulométrico geral. A reação foi interrompida pela solução de ácido nítrico

adicionada. Os ions cloreto presentes (formados) foram titulados com solução padronizada de nitrato de prata, utilizando-se a escala de mV do pHmetro E-512.

4. Tabelas (a seguir)

REAÇÃO DE 1-CLORO - 2,4-DINITROBENZENO COM ACETAMIDINA EM ETANOL ABSOLUTO.

DETERMINAÇÃO CINETICA N° 1

Conc. do composto clorado	=	0,0243 ₁ M
Conc. da acetamidina	=	0,0486 ₂ M (*)
Conc. de cloreto inicial	=	0,0512 ₁ M
Conc. de nitrato de prata	=	0,0523 ₀ N
Volume de amostra	=	5,2361 ml
Volume de HNO ₃ 0,05M adic.	=	10,0 ml
Temperatura	=	15,05 ± 0,05°C

V _{AgNO₃} (ml)	N _{Cl}	x	(a-x)	1/(a-x)	Tempo (seg)
5,160	0,05154	0,00033	0,02398	41,70	0
5,195	0,05189	0,00068	0,02363	42,32	946
5,180	0,05174	0,00053	0,02378	42,05	1841
5,165	0,05159	0,00038	0,02391	41,79	2743
5,205	0,05199	0,00078	0,02353	42,50	5137
5,220	0,05214	0,00093	0,02338	42,77	5764
5,260	0,05254	0,00133	0,02298	43,52	7520
5,370	0,05364	0,00243	0,02188	45,70	12345
5,387	0,05381	0,00260	0,02171	46,06	14748

Do graf. $1/(a-x)$ l. mol⁻¹ vs t(seg) temos:

$$k_2 = 3,34 \times 10^{-4} \text{ l. mol}^{-1} \text{ s}^{-1}$$

(*) em solução contendo igual concentração de cloreto de acetamidinio.

REAÇÃO DE 1-CLORO - 2,4-DINITROBENZENO COM ACETAMIDINA EM ETANOL ABSOLUTO.

DETERMINAÇÃO CINETICA N° 2

Conc. do composto clorado	=	0,0243 ₁ M
Conc. de acetamidina	=	0,0486 ₂ M (*)
Conc. inicial de cloreto	=	0,0512 ₁ M
Conc. de nitrato de prata	=	0,0523 ₀ N
Volume de amostra	=	5,2361 ml
Volume de HNO ₃ 0,05M adic.	=	10,0 ml
Temperatura	=	15,05 ± 0,05°C

V _{AgNO₃} (ml)	N _{Cl}	x	(a-x)	1/(a-x)	Tempo (seg)
5,160	0,05154	0,00033	0,02398	41,70	0
5,130	0,05124	0,00030	0,02428	41,19	938
5,195	0,05189	0,00068	0,02363	42,32	1786
5,210	0,05204	0,00083	0,02348	42,59	3763
5,235	0,05229	0,00106	0,02323	43,05	5908
5,190	0,05184	0,00063	0,02368	42,23	7177
5,345	0,05339	0,00218	0,02213	45,19	11089
5,415	0,05409	0,00288	0,02143	46,66	14992

Do graf. $1/(a-x)$ l. mol⁻¹ vs t(seg) temos:

$$k_2 = 3,46 \times 10^{-4} \text{ l. mol}^{-1} \text{ s}^{-1}$$

(*) em solução contendo igual concentração de cloreto de acetamidinio.

REAÇÃO DE 1-CLORO - 2,4-DINITROBENZENO COM ACETAMIDINA EM ETANOL ABSOLUTO.

DETERMINAÇÃO CINETICA Nº 3

Conc. do composto clorado	=	0,02648 M
Conc. da acetamidina	=	0,05295 M (*)
Conc. inicial de cloreto	=	0,06035 M
Conc. de nitrato de prata	=	0,05085 N
Volume de amostra	=	4,7703 ml
Volume de HNO ₃ 0,05M adic.	=	10,0 ml
Temperatura	=	29,85°C

V _{AgNO₃} (ml)	N _{Cl}	x	(a-x)	1/(a-x)	Tempo (seg)
6,070	0,06458	0,00423	0,02225	44,94	0
6,070	0,06458	0,00423	0,02225	44,94	199
6,140	0,06533	0,00498	0,02150	46,51	461
6,250	0,06650	0,00615	0,02033	49,19	1754
6,260	0,06661	0,00625	0,02023	49,43	3802
6,400	0,06810	0,00775	0,01873	53,39	5297
6,530	0,06948	0,00913	0,01735	57,64	9814
6,600	0,07022	0,00987	0,01661	60,20	12408

Do graf. $1/(a-x)$ l. mol⁻¹ vs t(seg) temos:

$$k_2 = 8,36 \times 10^{-4} \text{ l. mol}^{-1} \text{ s}^{-1}$$

(*) em solução contendo igual concentração de cloreto de acetamidinio.

REAÇÃO DE 1-CLORO - 2,4-DINITROBENZENO COM ACETAMIDINA EM ETANOL ABSOLUTO.

DETERMINAÇÃO CINETICA Nº 4

Conc. do composto clorado	=	0,02661 M
Conc. de acetamidina	=	0,05322 M (*)
Conc. de nitrato de prata	=	0,05230 N
Conc. inicial de cloreto	=	0,05201 M
Volume de amostra	=	5,2361 ml
Volume de HNO ₃ 0,05M adic.	=	10,0 ml
Temperatura	=	33,05 ± 0,1°C

V _{AgNO₃} (ml)	N _{Cl}	x	(a-x)	1/(a-x)	Tempo (seg)
5,430	0,05423	0,00222	0,02439	41,00	0
5,250	0,05244	0,00043	0,02618	38,20	135
5,220	0,05214	0,00013	0,02648	37,76	394
5,260	0,05254	0,00053	0,02607	38,36	691
5,255	0,05249	0,00048	0,02613	38,27	991
5,370	0,05364	0,00163	0,02498	40,03	2178
5,457	0,05450	0,00249	0,02412	41,46	3687
5,555	0,05548	0,00347	0,02314	43,22	5369
5,675	0,05668	0,00467	0,02194	45,58	7879

Do graf. $1/(a-x)$ l. mol⁻¹ vs t(seg) temos:

$$k_2 = 1,00 \times 10^{-3} \text{ l. mol}^{-1} \text{ s}^{-1}$$

(*) em solução contendo igual concentração de cloreto de acetamidinio.

REAÇÃO DE 1-CLORO - 2,4-DINITROBENZENO COM ACETAMIDINA EM ETANOL ABSOLUTO.

DETERMINAÇÃO CINETICA N° 5

Conc. do composto clorado	=	0,0204 ₃ M
Conc. de acetamidina	=	0,0408 ₆ M (*)
Conc. inicial de cloreto	=	0,0463 ₄ M
Conc. de nitrato de prata	=	0,0534 ₀ N
Volume de amostra	=	5,2770 ml
Volume de HNO ₃ 0,05M adic.	=	10,0 ml
Temperatura	=	45,1 ₅ ± 0,05°C

V _{AgNO₃} (ml)	N _{Cl}	x	(a-x)	1/(a-x)	Tempo (seg)
4,600	0,04655	0,00021	0,02022	49,46	0
4,700	0,04756	0,00122	0,01921	52,06	293
4,760	0,04717	0,00083	0,01960	51,02	1021
4,725	0,04782	0,00148	0,01895	52,77	2065
4,900	0,04959	0,00325	0,01718	58,21	3162
4,975	0,05035	0,00401	0,01642	60,90	4335
5,010	0,05070	0,00436	0,01607	62,23	5560
5,075	0,05136	0,00502	0,01541	64,89	7904
5,200	0,05262	0,00628	0,01415	70,67	10015

Do graf. 1/(a-x) 1. mol⁻¹ vs t(seg) temos:

$$k_2 = 1,87 \times 10^{-3} \text{ 1. mol}^{-1} \text{ s}^{-1}$$

(*) em solução contendo igual concentração de cloreto de acetamidinio.

REAÇÃO DE 1-CLORO - 2,4-DINITROBENZENO COM ACETAMIDINA EM ETANOL ABSOLUTO.

DETERMINAÇÃO CINETICA N° 6

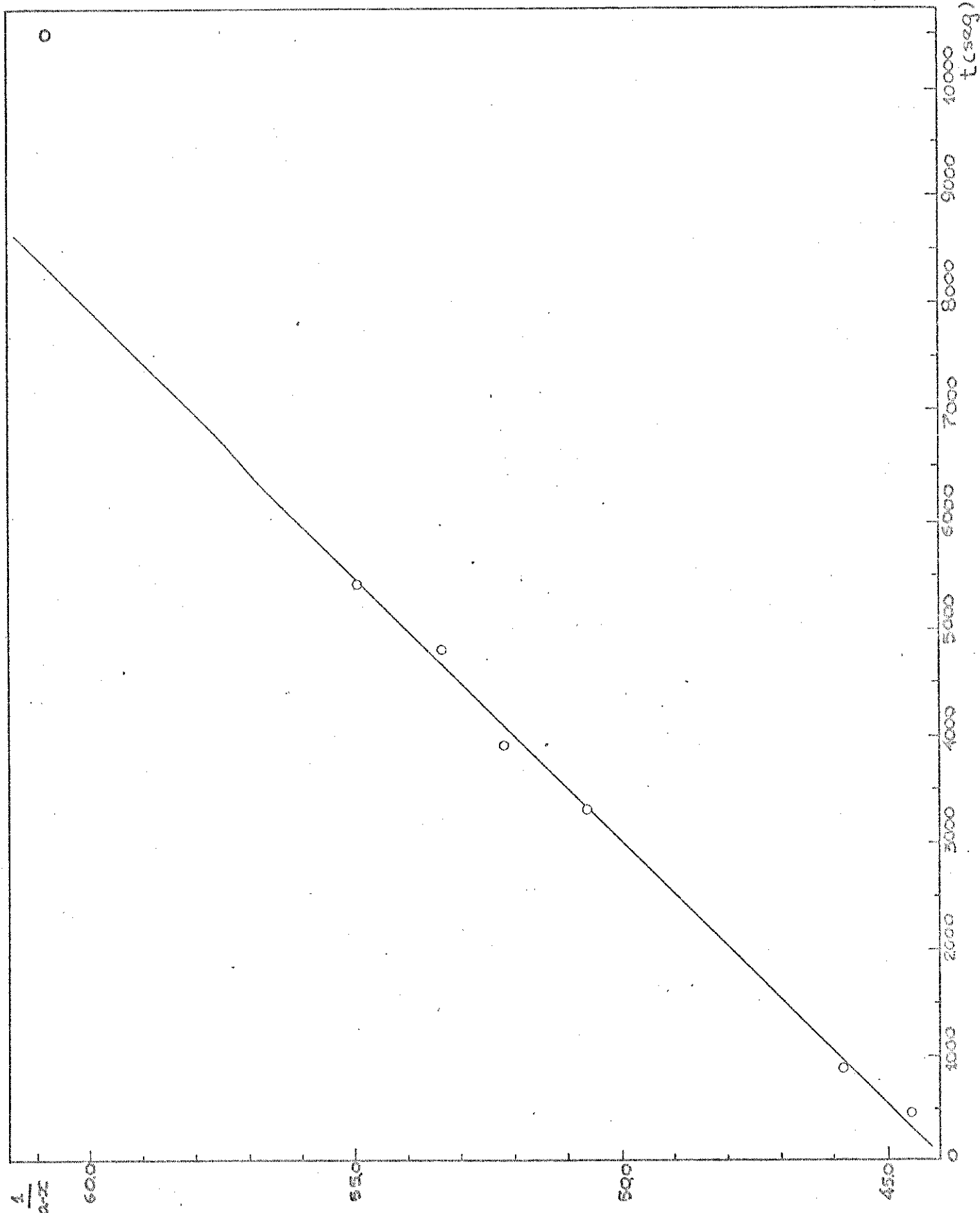
Conc. do composto clorado	=	0,0224 ₄ M
Conc. de acetamidina	=	0,0448 ₈ M (*)
Conc. inicial de cloreto	=	0,0514 ₅ M
Conc. de nitrato de prata	=	0,0523 ₀ N
Volume de amostra	=	5,2361 ml
Volume de HNO ₃ 0,05M adic.	=	10,0 ml
Temperatura	=	47,1 ₃ ± 0,05°C

V _{AgNO₃} (ml)	N _{Cl}	x	(a-x)	1/(a-x)	Tempo (seg)
5,138	0,05132	0	0,02244	44,56	579
5,212	0,05206	0,00061	0,02183	45,81	882
5,420	0,05413	0,00268	0,01976	50,61	3307
5,480	0,05473	0,00328	0,01916	52,19	3916
5,520	0,05513	0,00368	0,01876	53,30	4802
5,575	0,05568	0,00423	0,01821	54,92	5443
5,750	0,05743	0,00598	0,01646	60,75	10505

Do graf. 1/(a-x) 1. mol⁻¹ vs t(seg) temos:

$$k_2 = 2,20 \times 10^{-3} \text{ 1. mol}^{-1} \text{ s}^{-1}$$

(*) em solução contendo igual concentração de cloreto de acetamidinio.



Graf. nº 13 - Determinação da constante de velocidade da reação entre 1-cloro,-2,4-dinitrobenzeno e acetamidina em etanol ab-
soluto à $47,13 \pm 0,05^\circ\text{C}$.

REAÇÃO DE 1-CLORO, 2,4 DINITROBENZENO E ACETAMIDINA EM ETANOL ABSOLUTO

PARAMETROS DE ARRHENIUS

DETERMIN. CINÉT.Nº	t (°C)	T (K)	$10^3 / (1/T)$ (K ⁻¹)	$10^4 \cdot k_2$ (l.mol ⁻¹ s ⁻¹)	$\log k_2$
1	15,05	288,21	3,4649	3,34	-3,4768
2	15,05	288,21	3,4649	3,46	-3,4609
3	29,85	303,01	3,3002	8,36	-3,0780
4	33,05	306,21	3,2657	10,00	-3,0000
5	45,15	318,31	3,1416	18,70	-2,7282
6	47,13	320,29	3,1222	20,20	-2,6940

$$\Delta E^\neq = 10,26 \text{ kcal.mol}^{-1}$$

$$\log_{10} B = 4,32$$

$$\Delta S^\neq = -38,79 \text{ u.e.}$$

$$\Delta H^\neq = 9,67 \text{ kcal.mol}^{-1}$$

$$\Delta G^\neq = 21,23 \text{ kcal.mol}^{-1}$$

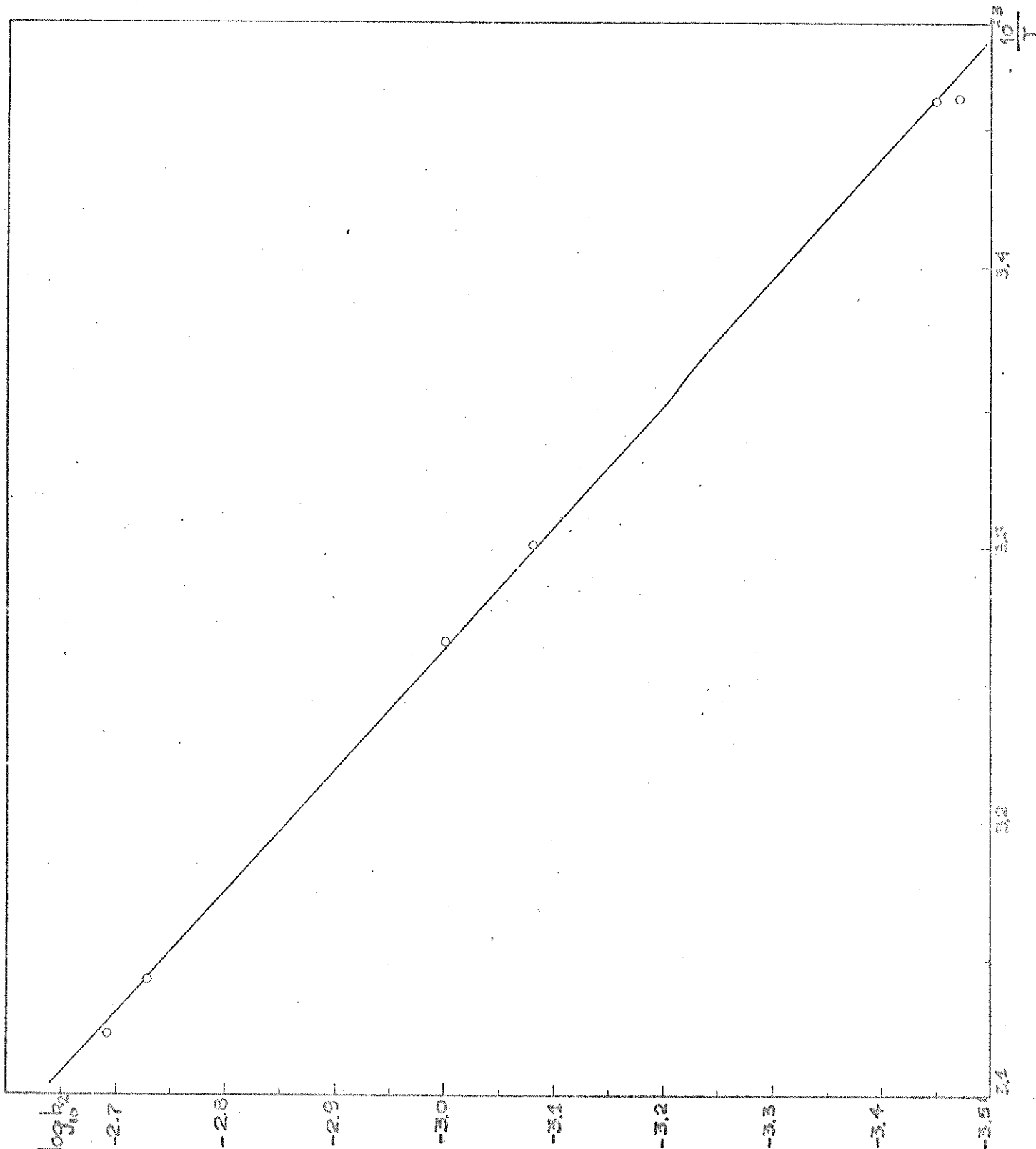
Constantes de velocidade calculadas à:

$$-20,0^\circ\text{C}, k_2 = 2,87 \times 10^{-5} \text{ l.mol}^{-1}\text{s}^{-1}$$

$$0,0^\circ\text{C}, k_2 = 1,28 \times 10^{-4} \text{ l.mol}^{-1}\text{s}^{-1}$$

$$50,0^\circ\text{C}, k_2 = 2,38 \times 10^{-3} \text{ l.mol}^{-1}\text{s}^{-1}$$

$$100,0^\circ\text{C}, k_2 = 2,03 \times 10^{-2} \text{ l.mol}^{-1}\text{s}^{-1}$$



Graf. nº 14 - Gráfico de Arrhenius da reação entre 1-cloro,-2,4-dinitrobenzeno e acetamidina em etanol absoluto, no intervalo entre $15,05 \pm 0,05$ e $47,13 \pm 0,05^\circ\text{C}$.

6.5.5. - NUCLEÓFILOS DO TIPO >C = S

6.5.5.1 - REAÇÃO DE PARA-TOLUENOSULFONATO DE METILA E METILTIOUREIA EM ACETONITRILA.

1. Reagentes

- a) p-toluenosulfonato de metila - preparado e purificado de acordo com o item 6.5.1-c
- b) metiltioureia

A metiltioureia foi sintetizada a partir do isocianato de metila.

(48a)

b.1) Preparação de isocianato de metila - em um balão de quatro bocas, circundado por um banho de gelo e munido de um agitador mecânico, um condensador de refluxo, um termômetro e um funil de separação, foram colocados 110ml de sulfeto de carbono, e uma solução contendo 72g de hidróxido de sódio em 160ml de água. Mantendo a temperatura entre 10 e 15°C foram adicionados, com agitação, 180ml de uma solução aquosa de metil amina a 33%; num período de 30 minutos. A mistura foi então aquecida sob agitação durante 2 horas, em banho-maria. A solução vermelha resultante foi resfriada a 35 - 40 °C e, a ela foram adicionados 196g de clorocarbonato de etila (ainda em agitação). Após total adição a mistura foi agitada por mais 30 minutos, e após um breve repouso da mistura, o isocianato de metila separou-se constituindo a camada superior, a qual foi separada, tratada com sulfato de sódio (10g) e destilada através de uma VIGREAUX. Foi coletada a fração entre 115° - 121°C. O produto foi redestilado e coletado a 117 - 119°C (Lit.= 117 - 119°C).

b.2) Preparação de metiltioureia -^(48b) em um balão de tres bocas, munido de um agitador mecânico, um condensador de refluxo e um funil de separação, foram colocados 140ml de uma solução de hidróxido de amônio concentrado e 95g de isocianato de metila, foram adicionados com agitação, num período de uma hora. A seguir o condensador foi removido, e a solução foi aquecida em banho-maria por 30 minutos para remover o excesso de amônia. A seguir a solução foi fervida com 2 g de Norit, e filtrada.

A solução resultante, após resfriamento em banho de gelo, cristalizou-se. O produto foi então filtrado, lavado com água gelada e finalmente seco. O ponto de fusão foi de 120,0 - 121°C (Lit.= 120,5 - 121°C).

2. Produto da reação entre p-toluenosulfonato de metila e N-metiltioureia.

Preparação: uma solução contendo 1,5g de metilticureia e 3,5g de p-toluenosulfonato de metila em acetona, totalizando um volume de 30ml, foi aquecida, sob refluxo, por um período de 8 horas. A mistura foi a seguir concentrada até a metade do seu volume. Pela adição de 10ml de éter anidro, e resfriamento em gelo seco, o produto precipitou, após filtração e lavagem com éter anidro apresentou ponto de fusão igual a 39 - 40°C. Rendimento 4,0g.

3. Solvente - foi utilizada a acetonitrila purificada de acordo com o processo descrito em 6.5.2-b

4. Determinação da constante de velocidade

As medidas cinéticas foram efetuadas no intervalo de 40 a 70°C, utilizando-se o termostato HETOTHERM. Foi utilizado o processo conducométrico para a determinação da constante de velocidade.

Inicialmente, foram preparadas várias soluções em acetonitrila*, com concentrações conhecidas de tosilato de N-metil-S-metiltiouronio (produto da reação em estudo) a fim de se obter a curva de calibração. A seguir, foram preparadas quantidades equimolares de substrato e nucleófilo, e dissolvidas em 30ml de acetonitrila. Com os valores das resistências obtidas, foi determinada a concentração do ion formado durante a reação, através das curvas de calibração. As constantes de velocidade foram obtidas graficamente.

A tabela a seguir, mostra os valores da resistência para cada concentração do produto da reação, no intervalo de temperatura em estudo.

* na faixa apropriada para a calibração

REAÇÃO ENTRE PARA-TOLUENOSULFONATO DE METILA E METILTIOURÉIA
EM ACETONITRILA.

CURVA DE CALIBRAÇÃO

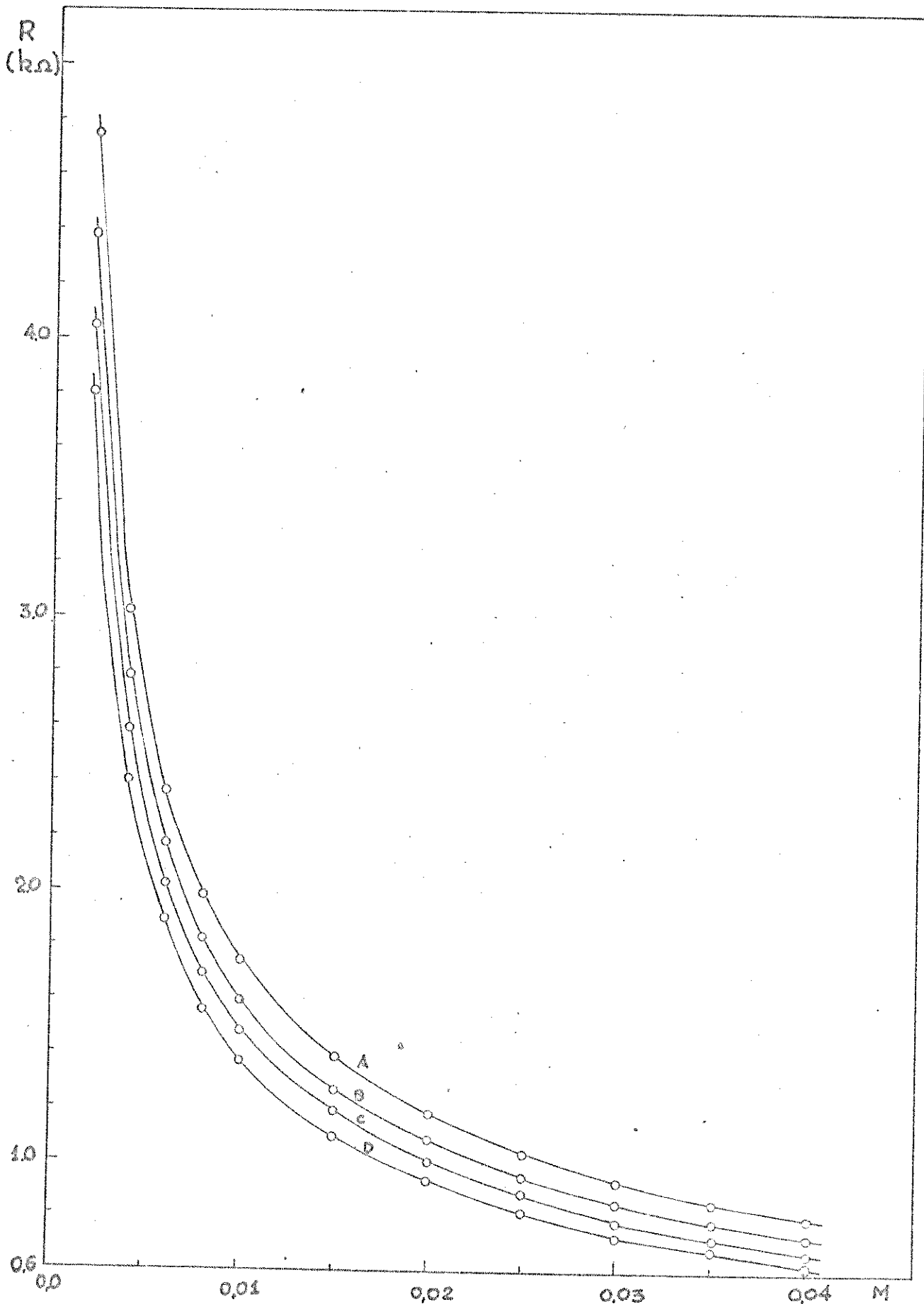
M	R ₄₀ (k.α.)	R ₅₀ (k.α.)	R ₆₀ (k.α.)	R ₇₀ (k.α.)
0,0020	4,75x1,0	4,38x1,0	4,05x1,0	3,8x1,0
0,0040	3,02x1,0	2,78x1,0	2,58x1,0	2,4x1,0
0,0060	2,36x1,0	2,17x1,0	2,02x1,0	1,89x1,0
0,0080	1,98x1,0	1,82x1,0	1,69x1,0	1,57x1,0
0,0100	1,74x1,0	1,59x1,0	1,48x1,0	1,37x1,0
0,0150	1,38x1,0	1,26x1,0	1,18x1,0	1,09x1,0
0,0200	1,18x1,0	1,08x1,0	10,00x0,1	9,30x0,1
0,0250	1,03x1,0	9,45x0,1	8,80x0,1	8,15x0,1
0,0300	9,25x0,1	8,50x0,1	7,80x0,1	7,25x0,1
0,0350	8,52x0,1	7,80x0,1	7,17x0,1	6,68x0,1
0,0400	7,95x0,1	7,25x0,1	6,70x0,1	6,20x0,1

onde:

M = Molaridade do produto de reação entre metiltioureia e p-toluenosulfonato de metila.

R_t = Resistência da solução na temperatura correspondente, ou seja: 40,0 ± 0,01°C - 50,0 ± 0,01°C - 60,0 ± 0,01°C - 70,0 ± 0,01°C.

Solvente: Acetonitrila



Graf. nº 15 - Curvas de calibração para a reação entre p-toluenosulfonato de metila e metil tioureia em acetonitrila.
 $A = 40,0 \pm 0,01^\circ\text{C}$; $B = 50,0 \pm 0,01^\circ\text{C}$; $C = 60,0 \pm 0,01^\circ\text{C}$;
 $D = 70,0 \pm 0,01^\circ\text{C}$.

REAÇÃO ENTRE PARA-TOLUENOSULFONATO DE METILA E METILTIUREIA EM ACETONITRILA.

DETERMINAÇÃO CINETICA Nº 1

Conc. do p-toluenosulfonato de metila = 0,0400 M

Conc. de metil-tioureia = 0,0400 M

Volume da amostra = 30,00 ml

Temperatura = 40,0 \pm 0,01°C

R (K.Δ.)	x	(a - x)	1/(a-x)	t (seg.)
5,0	0,0020	0,0380	26,31	0
4,8	0,0020	0,0380	26,31	144
4,5	0,0021	0,0379	26,38	380
4,4	0,0022	0,0378	26,45	472
4,3	0,0023	0,0377	26,52	560
4,2	0,0024	0,0376	26,59	658
4,1	0,0025	0,0375	26,66	748
4,0	0,0026	0,0374	26,73	870
3,8	0,0028	0,0372	26,88	1120
3,6	0,0031	0,0369	26,95	1402
3,5	0,0032	0,0368	27,17	1568
3,4	0,0033	0,0367	27,24	1745
3,3	0,0034	0,0366	27,32	1954
3,1	0,0038	0,0362	27,62	2375
3,0	0,0040	0,0360	27,77	2638
2,9	0,0042	0,0358	27,93	2851
2,7 ²	0,0046	0,0354	28,24	3295
2,6 ⁸	0,0050	0,0350	28,57	3764
2,5 ⁵	0,0053	0,0348	28,82	4181
2,4 ⁶	0,0058	0,0342	29,23	4742
2,3 ²	0,0063	0,0337	29,67	5386
2,2 ³	0,0066	0,0334	29,94	5845
2,1 ³	0,0070	0,0330	30,30	6400
2,0 ⁵	0,0076	0,0324	30,86	7252
1,9 ⁵	0,0080	0,0320	31,25	7912
1,9 ⁸	0,0086	0,0314	31,84	8750
1,9 ⁰	0,0090	0,0310	32,25	9410
1,8 ⁵	0,0096	0,0304	32,90	10345
1,7 ⁸	0,0100	0,0300	33,33	10912
1,7 ⁴	0,0110	0,0290	34,48	12025
1,6 ⁷	0,0119	0,0281	35,58	13337
1,6 ⁰	0,0126	0,0274	36,50	14485
1,5 ⁵	0,0130	0,0270	37,03	15173
1,4 ²	0,0136	0,0264	37,88	17460

Do graf.: $1/(a-x) \text{ l.mol}^{-1}$ vs t(seg)

$$k_2 = 6,53 \times 10^{-4} \text{ l} \times \text{mol}^{-1} \times \text{s}^{-1}$$

REAÇÃO ENTRE PARA-TOLUENOSULFATO DE METILA E METILTOUREIA EM ACETONITRILA.

DETERMINAÇÃO CINETICA Nº 2

Conc. de p-toluenosulfonato de metila = 0,0400 M
 Conc. de metil-tioureia = 0,0400 M
 Volume da amostra = 30,00 ml
 Temperatura = 40,0 + 0,01°C

R (K ^o)	x	(a-x)	1/(a-x)	t (seg.)
5,0	0,0020	0,0380	26,31	0
4,5	0,0021	0,0379	26,38	369
4,4	0,0022	0,0378	26,45	453
4,3	0,0023	0,0377	26,52	539
4,2	0,0024	0,0376	26,59	626
3,9	0,0027	0,0373	26,80	939
3,8	0,0028	0,0372	26,88	1061
3,7	0,0029	0,0371	26,95	1191
3,6	0,0031	0,0369	27,10	1337
3,5	0,0032	0,0368	27,17	1500
3,4	0,0033	0,0367	27,24	1669
3,3	0,0034	0,0366	27,32	1857
3,2	0,0036	0,0364	27,47	2069
3,1	0,0038	0,0362	27,62	2275
3,0	0,0040	0,0360	27,77	2514
2,9	0,0042	0,0358	27,93	2719
2,7 ²	0,0046	0,0354	28,24	3141
2,6 ⁸	0,0050	0,0350	28,57	3589
2,5 ⁵	0,0053	0,0348	28,82	3927
2,4 ⁶	0,0058	0,0342	29,23	4519
2,3 ²	0,0063	0,0337	29,67	5119
2,2 ³	0,0066	0,0334	29,94	5561
2,1 ³	0,0070	0,0330	30,30	6082
2,0 ⁵	0,0076	0,0324	30,86	6876
1,9 ⁸	0,0080	0,0320	31,25	7515
1,9 ⁸	0,0086	0,0314	31,84	8295
1,8 ⁵	0,0090	0,0310	32,25	8894
1,7 ⁵	0,0096	0,0304	32,90	9769
1,7 ⁸	0,0100	0,0300	33,33	10334
1,6 ⁴	0,0110	0,0290	34,48	11432
1,6 ⁷	0,0119	0,0281	35,58	12600

Do graf.: $1/(a-x) \text{ l.mol}^{-1}$ vs t(seg)

$$k_2 = 6,98 \times 10^{-4} \text{ l} \times \text{mol}^{-1} \text{ s}^{-1}$$

REAÇÃO ENTRE PARA-TOLUENOSULFONATO DE METILA E METILTIOUREIA
EM ACETONITRILA.

DETERMINAÇÃO CINETICA Nº 3

Conc. do p-toluenosulfonato de metila = 0,0400 M
 Conc. de metil-tioureia = 0,0400 M
 Volume de amostra = 30,0 ml
 Temperatura = 50,0 \pm 0,01°C

R (k s ⁻¹)	x	(a-x)	1/(a-x)	Tempo (seg)
4,4	0,0020	0,0380	26,31	0
4,0	0,0021	0,0379	26,38	155
3,9	0,0022	0,0378	26,45	201
3,8	0,0023	0,0377	26,52	248
3,7	0,0024	0,0376	26,59	304
3,5	0,0026	0,0374	26,66	428
3,4	0,0028	0,0372	26,88	498
3,3	0,0030	0,0370	27,01	570
3,2	0,0031	0,0369	27,10	659
3,1	0,0033	0,0367	27,24	748
3,0	0,0035	0,0365	27,39	843
2,9	0,0037	0,0363	27,54	948
2,8	0,0039	0,0361	27,70	1062
2,7	0,0042	0,0358	27,93	1195
2,6	0,0045	0,0355	28,16	1334
2,5	0,0048	0,0352	28,40	1500
2,4	0,0051	0,0349	28,65	1683
2,3	0,0055	0,0345	28,97	1876
2,2	0,0059	0,0341	29,32	2117
2,1	0,0064	0,0336	29,76	2408
2,0	0,0069	0,0331	30,22	2751
1,9	0,0074	0,0326	30,67	3121
1,7	0,0082	0,0318	31,45	3686
1,7	0,0089	0,0311	32,15	4165
1,5	0,0101	0,0299	33,44	4964
1,4	0,0113	0,0287	34,85	5800
1,4	0,0126	0,0274	36,50	6765

Do graf. $1/(a-x)$ l. mol⁻¹ vs t (seg) temos:

$$k_2 = 1,45 \times 10^{-3} \text{ l. mol}^{-1} \text{ s}^{-1}$$

REAÇÃO ENTRE PARA-TOLUENOSULFONATO DE METILA E METILTIOUREIA EM ACETONITRILA.

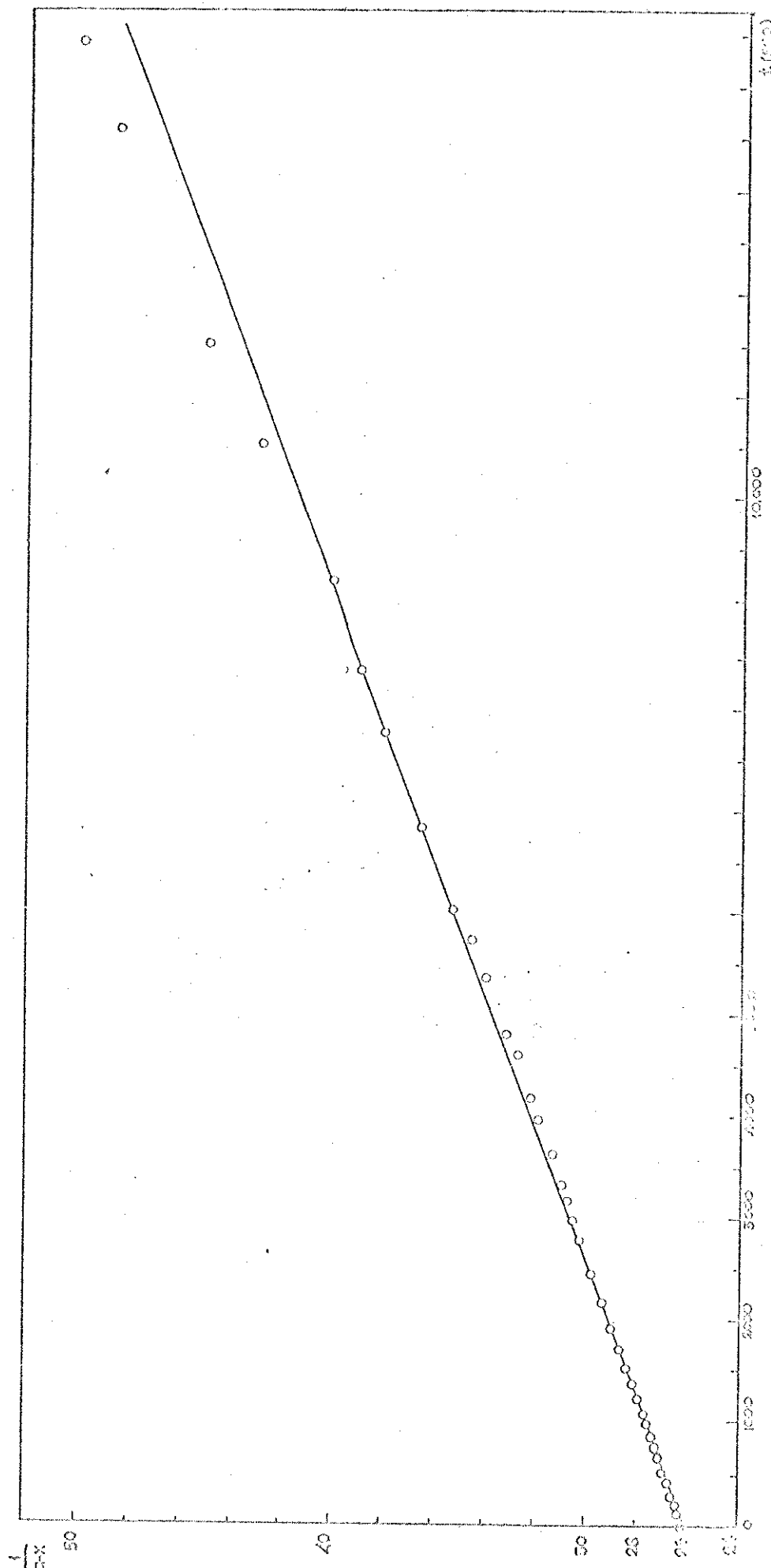
DETERMINAÇÃO CINETICA Nº 4

Conc. de p-toluenosulfonato de metila = 0,0400 M
 Conc. de metiltioureia = 0,0400 M
 Volume de amostra = 30,0 ml
 Temperatura = 50,0 \pm 0,01°C

R (k s ⁻¹)	x	(a-x)	1/(a-x)	Tempo (seg)
4,4	0,0020	0,0380	26,31	0
4,0	0,0021	0,0379	26,38	157
3,9	0,0022	0,0378	26,45	205
3,8	0,0023	0,0377	26,52	256
3,5	0,0026	0,0374	26,73	437
3,3	0,0029	0,0371	26,95	582
3,1	0,0033	0,0367	27,24	755
3,0	0,0035	0,0365	27,39	854
2,9	0,0037	0,0363	27,54	961
2,8	0,0039	0,0361	27,70	1080
2,7	0,0042	0,0358	27,93	1219
2,6	0,0045	0,0355	28,16	1367
2,5	0,0048	0,0352	28,40	1522
2,4	0,0051	0,0349	28,65	1702
2,3	0,0055	0,0345	28,97	1912
2,2	0,0059	0,0341	29,32	2164
2,1	0,0064	0,0336	29,76	2447
2,0	0,0069	0,0331	30,22	2792
1,9 ₅	0,0072	0,0328	30,48	2970
1,9	0,0074	0,0326	30,67	3168
1,8 ₆	0,0077	0,0323	30,95	3331
1,8	0,0081	0,0319	31,34	3639
1,7 ₄	0,0086	0,0314	31,84	3957
1,7	0,0089	0,0311	32,15	4193
1,6 ₄	0,0094	0,0306	32,67	4602
1,6	0,0098	0,0302	33,11	4806
1,5 ₄	0,0105	0,0295	33,90	5356
1,5	0,0110	0,0290	34,48	5737
1,4 ₆	0,0116	0,0284	35,21	6127
1,4	0,0126	0,0274	36,50	6827
1,3 ₄	0,0136	0,0264	37,88	7757
1,3	0,0143	0,0257	38,91	8371
1,2 ₆	0,0150	0,0250	40,00	9172
1,2	0,0167	0,0233	42,92	10514
1,1 ₆	0,0178	0,0222	45,05	11514
1,1	0,0194	0,0206	48,55	13587
1,0 ₈	0,0200	0,0200	50,00	14427
1,0 ₆	0,0206	0,0194	51,55	15312
1,0 ₄	0,0212	0,0188	53,19	16277

DO graf. $1/(a-x)$ l. mol⁻¹ vs t(seg) temos:

$$k_2 = 1,54 \times 10^{-3} \text{ l. mol}^{-1} \text{ s}^{-1}$$



Graf. nº 16 - Determinação da constante de velocidade da reação entre para-toluenosulfonato de metila e metiltiocloroetila em acetonitrila, à $50,0 \pm 0,01^\circ\text{C}$.

REAÇÃO ENTRE PARA-TOLUENOSULFONATO DE METILA E METILTIIOUREIA EM ACETONITRILA.

DETERMINAÇÃO CINETICA Nº 5

Conc. de p-toluenosulfonato de metila = 0,0400 M
 Conc. de metiltioureia = 0,0400 M
 Volume de amostra = 30,0 ml
 Temperatura = 60,0 ± 0,01°C

R (k. s ⁻¹)	x	(a-x)	1/(a-x)	Tempo (seg)
4,1	0,0020	0,0380	26,31	0
4,0	0,0021	0,0379	26,38	11
3,9	0,0022	0,0378	26,45	40
3,7	0,0023	0,0377	26,52	85
3,6	0,0024	0,0376	26,60	110
3,4	0,0025	0,0375	26,66	171
3,3	0,0027	0,0373	26,80	200
3,2	0,0028	0,0372	26,88	239
3,1	0,0029	0,0371	26,95	277
3,0	0,0031	0,0369	27,10	315
2,7	0,0037	0,0363	27,54	475
2,6	0,0039	0,0361	27,70	536
2,4	0,0045	0,0355	28,16	684
2,3	0,0049	0,0351	28,49	769
2,2	0,0052	0,0348	28,73	868
2,1	0,0056	0,0344	29,07	993
2,0	0,0061	0,0339	29,49	1134
1,9	0,0067	0,0333	30,03	1299
1,8	0,0073	0,0327	30,58	1484
1,7	0,0079	0,0321	31,15	1680
1,5 ⁶	0,0092	0,0308	32,46	2142
1,5 ⁶	0,0099	0,0301	33,22	2367
1,4	0,0112	0,0288	34,72	2799
1,3 ⁵	0,0121	0,0279	35,84	3087
1,3 ⁵	0,0129	0,0271	36,90	3419
1,2 ⁵	0,0139	0,0261	38,31	3802
1,2 ⁵	0,0148	0,0252	39,68	4202
1,1 ⁵	0,0160	0,0240	41,67	4812
1,1 ⁰	0,0173	0,0227	44,05	5484
1,0 ⁵	0,0186	0,0214	46,73	6332
1,0 ²	0,0194	0,0206	48,55	6942
0,9 ⁸	0,0208	0,0192	52,08	7529
0,9 ⁸	0,0215	0,0185	54,05	8067
0,9 ⁶	0,0223	0,0177	56,50	8632
0,9 ⁴	0,0231	0,0169	59,17	9272
0,9 ²	0,0236	0,0164	60,97	9642
0,9 ¹	0,0240	0,0160	62,50	9922

Do graf. $1/(a-x)$ l. mol⁻¹ vs t (seg) temos:

$$k_2 = 3,25 \times 10^{-3} \text{ l. mol}^{-1} \text{ s}^{-1}$$

REAÇÃO ENTRE PARA-TOLUENOSULFONATO DE METILA E METILTIOUREIA EM ACETONITRILA.

DETERMINAÇÃO CINETICA Nº 6

Conc. de p-toluenosulfonato de metila = 0,0400 M
 Conc. de metiltioureia = 0,0400 M
 Volume de amostra = 30,0 ml
 Temperatura = 70,0 ± 0,01°C

R (k · s⁻¹)	x	(a-x)	1/(a-x)	Tempo (seg)
3,8	0,0020	0,0380	26,31	0
3,4	0,0024	0,0376	26,59	45
3,3	0,0025	0,0375	26,66	59
3,2	0,0026	0,0374	26,73	73
3,1	0,0027	0,0373	26,80	89
3,0	0,0029	0,0371	26,95	107
2,9	0,0030	0,0370	27,02	126
2,8	0,0031	0,0369	27,10	146
2,7	0,0033	0,0367	27,24	170
2,6	0,0035	0,0365	27,39	194
2,5	0,0037	0,0363	27,54	222
2,4	0,0040	0,0360	27,77	254
2,3	0,0043	0,0357	28,01	290
2,2	0,0047	0,0353	28,32	331
2,1	0,0051	0,0349	28,65	380
2,0	0,0055	0,0345	28,97	438
1,9	0,0060	0,0340	29,41	500
1,8	0,0065	0,0335	29,85	580
1,7	0,0071	0,0329	30,39	668
1,6	0,0078	0,0322	31,05	773
1,5	0,0086	0,0314	31,84	911
1,4	0,0096	0,0304	32,90	1144
1,3	0,0112	0,0288	34,72	1310
1,1	0,0133	0,0267	37,46	1719
1,1	0,0147	0,0253	39,53	2049
1,0	0,0175	0,0225	44,45	2610
0,98	0,0181	0,0219	45,67	2773
0,96	0,0188	0,0212	47,16	2940
0,96	0,0195	0,0205	48,78	3150
0,94	0,0202	0,0198	50,50	3373
0,92	0,0210	0,0190	52,64	3649
0,90	0,0216	0,0184	54,34	3793
0,89	0,0220	0,0180	55,55	3982
0,88	0,0224	0,0176	56,81	4154
0,87	0,0228	0,0172	58,13	4321
0,86	0,0234	0,0166	60,24	4488
0,85	0,0238	0,0162	61,72	4680
0,84	0,0244	0,0156	64,10	4972
0,83				

Do graf. $1/(a-x)$ l. mol⁻¹ vs t(seg) temos:

$$k_2 = 7,86 \times 10^{-3} \text{ l. mol}^{-1} \text{ s}^{-1}$$

REAÇÃO ENTRE PARA-TOLUENOSULFONATO DE METILA E METILTIUREIA EM ACETONITRILA.

PARAMETROS DE ARRHENIUS

DETERMIN. CINÉT.Nº	t (°C),	T (K)	$10^3/(1/T)$ (K ⁻¹)	$10^4 \cdot k_2$ (l.mol ⁻¹ s ⁻¹)	$\log k$ 10^{-2}
1	40,0	313,16	3,194	6,53	-3,1850
2	40,0	313,16	3,194	6,98	-3,1561
3	50,0	323,16	3,094	14,50	-2,8386
4	50,0	323,16	3,094	15,40	-2,8125
5	60,0	333,16	3,001	32,50	-2,4881
6	70,0	343,16	2,914	78,60	-2,1046

$$\Delta E^\ddagger = 17,15 \text{ kcal.mol}^{-1}$$

$$\log_{10} B = 8,78$$

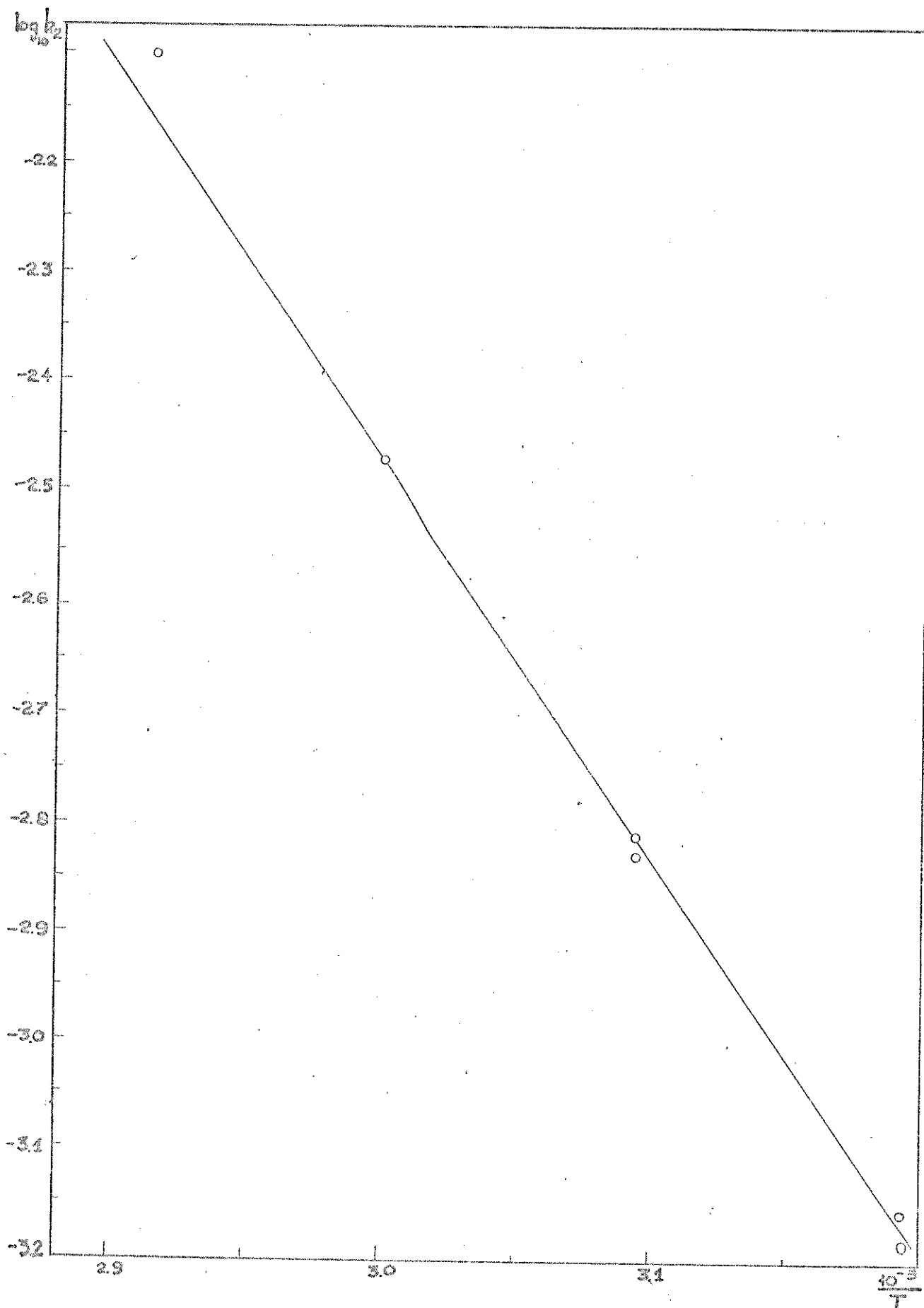
$$\Delta S^\ddagger_{25} = -18,35 \text{ u.e.}$$

$$\Delta H^\ddagger_{25} = 16,55 \text{ kcal.mol}^{-1}$$

$$\Delta G^\ddagger_{25} = 22,03 \text{ kcal.mol}^{-1}$$

Constantes de velocidade calculadas à:

$$\begin{aligned} -20,0^\circ\text{C}, k_2 &= 9,55 \times 10^{-7} \text{ l.mol}^{-1}\text{s}^{-1} \\ 0,0^\circ\text{C}, k_2 &= 1,16 \times 10^{-5} \text{ l.mol}^{-1}\text{s}^{-1} \\ 50,0^\circ\text{C}, k_2 &= 1,54 \times 10^{-3} \text{ l.mol}^{-1}\text{s}^{-1} \\ 100,0^\circ\text{C}, k_2 &= 5,50 \times 10^{-2} \text{ l.mol}^{-1}\text{s}^{-1} \end{aligned}$$



Graf. nº 17 - Gráfico de Arrhenius da reação entre para-toluenosulfonato de metila e metiltioureia, em acetonitrila, no intervalo de $40,0 \pm 0,01$ e $70,0 \pm 0,01^\circ\text{C}$.

6.5.5.2. - REAÇÃO DE PARA-TOLUENOSULFONATO DE METILA E NN'-DIMETILTIOURÉIA EM ACETONITRILA.

1. Reagentes

- a) p-toluenosulfonato de metila - sintetizado e purificado de acordo com o processo descrito no item 6.5.1-c
 - b) NN'-dimetiltioureia - foi utilizado o produto P.A.
2. Produto isolado da reação entre p-toluenosulfonato de metila e NN'-dimetiltioureia.

Tosilato de NN'-dimetil-S-metiltiouuronio

Preparação: uma solução contendo 1,7g de NN'-dimetiltioureia e 3,5g de p-toluenosulfonato de metila em acetona, totalizando um volume de 30ml, foi aquecida, sob refluxo, por um período de 8 horas. A mistura foi a seguir concentrada até a metade do seu volume. Pela adição de 10ml de eter anidro, e resfriamento em gelo seco, o produto precipitou. Após filtração e lavagem com eter seco, apresentou ponto de fusão igual a 141-142°C. Rendimento 4,75g.

3. Solvente - foi utilizada acetonitrila purificada de acordo com o processo descrito em 6.5.2-b

4. Determinação da constante de velocidade

As medidas cinéticas foram efetuadas no intervalo de 40 a 70°C, utilizando-se o termostato HETOTHERM.

Foi seguido o processo condutométrico para a determinação da constante de velocidade.

Inicialmente foram preparadas várias soluções em acetonitrila, com concentrações conhecidas de tosilato de N-metil-S-metiltiouuronio (produto da reação em estudo) a fim de se obter a curva de calibração. A seguir foram preparadas quantidades equimolares de substrato e nucleófilo, e dissolvidas em 30ml de acetonitrila. Com os valores das resistências obtidas, foi determinada a concentração do ión formado durante a reação, através das curvas de calibração. As constantes de velocidade foram obtidas graficamente.

A seguir, a tabela mostra os valores da resistência para cada concentração do produto da reação, no intervalo de temperatura em estudo.

REACÃO ENTRE PARA-TOLUENOSULFONATO DE METILA E NN'-DIMETIL-
TIOUREIA EM ACETONITRILA.

CURVA DE CALIBRAÇÃO

M	R ₄₀ (k _Ω)	R ₅₀ (k _Ω)	R ₆₀ (k _Ω)	R ₇₀ (k _Ω)
0,0020	3,20	2,97	2,76	2,60
0,0040	1,96	1,82	1,70	1,59
0,0060	1,49	1,38	1,29	1,21
0,0080	1,24	1,14	1,07	0,99 ¹
0,0100	1,08	0,99 ⁶	0,92 ⁵	0,87 ¹
0,0150	0,84	0,78 ⁵	0,72 ⁵	0,67 ⁵
0,0200	0,71 ⁵	0,66 ⁸	0,61	0,56 ⁸
0,0250	0,62 ⁵	0,57 ²	0,53	0,49 ⁸
0,0300	0,55 ⁶	0,51 ⁶	0,47 ⁷	0,44 ⁸
0,0350	0,51 ⁸	0,47 ³	0,44 ⁷	0,41 ⁶
0,0388	0,49 ³	0,45 ⁵	0,41 ⁵	0,38 ⁷

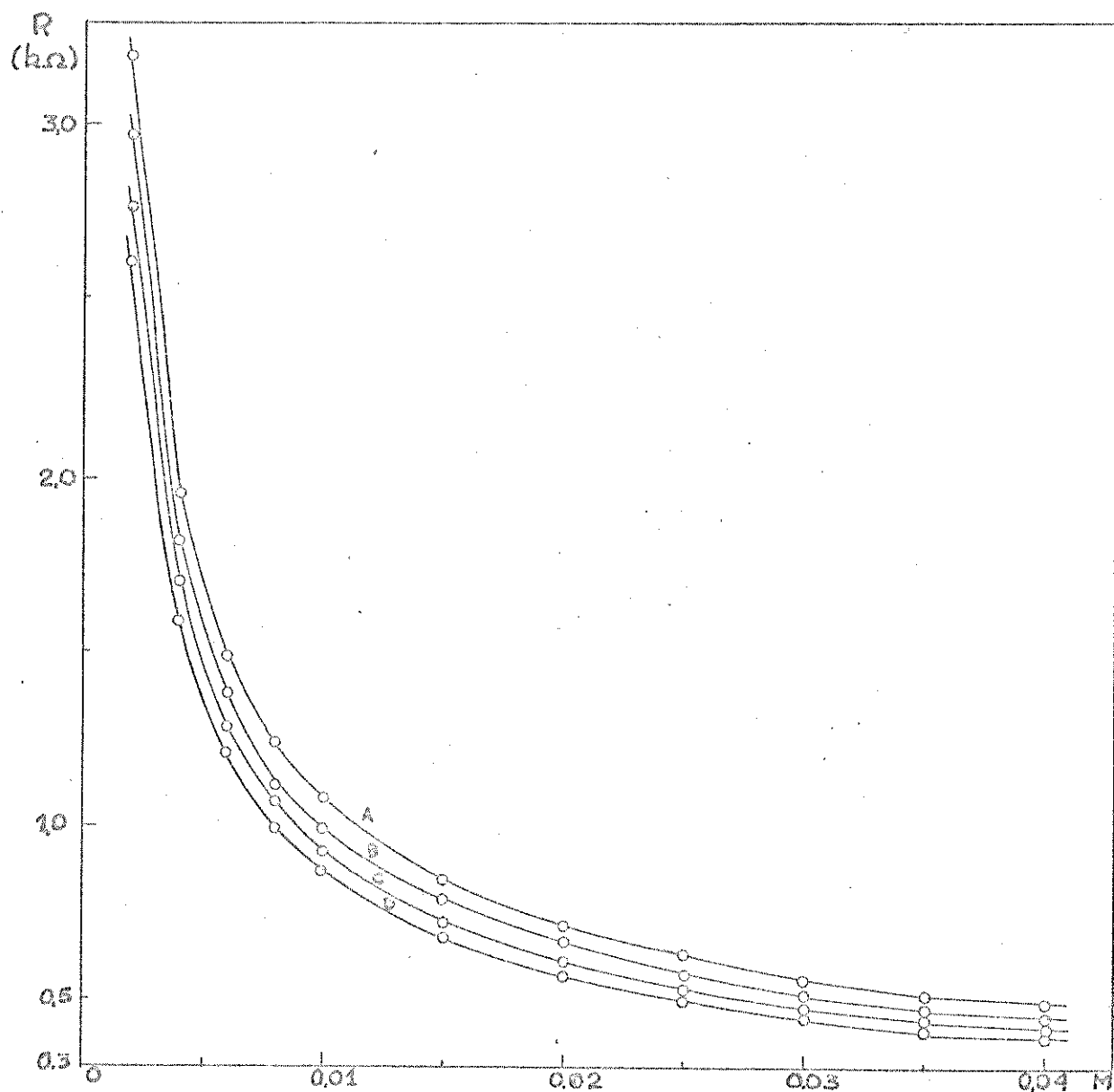
onde:

M = Molaridade da solução preparada com o produto de reação entre o substrato e o reagente, previamente sintetizado.

R_t = Resistência da solução à temperatura correspondente, ou seja à 40,0 ± 0,01°C 50,0 ± 0,01°C - 60,0 ± 0,01°C e 70,0 ± 0,01°C.

Solvente: Acetonitrila

UNIC
BIBLIOTECA CENTRAL



Graf. nº 18 - Curvas de calibração para a reação entre p-toluenosulfonato de metila e NN'-dimetiltioureia em acetonitrila.
 $A = 40,0 \pm 0,01^\circ\text{C}$; $B = 50,0 \pm 0,01^\circ\text{C}$; $C = 60,0 \pm 0,01^\circ\text{C}$;
 $D = 70,0 \pm 0,01^\circ\text{C}$.

REAÇÃO ENTRE PARA-TOLUENOSULFONATO DE METILA E NN'-DIMETILTIIOUREIA
EM ACETONITRILA.

DETERMINAÇÃO CINETICA Nº 1

Conc. de p-toluenosulfonato de metila = 0,0400 M
 Conc. de NN'-dimetiltriourea = 0,0400 M
 Volume de amostra = 30,0 ml
 Temperatura = 40,0 \pm 0,01°C

R (k ⁻²)	x	(a-x)	1/(a-x)	Tempo (seg)
3,2	0,0020	0,0380	26,31	0
3,1	0,0022	0,0378	26,45	211
3,0	0,0023	0,0377	26,52	417
2,9	0,0024	0,0376	26,60	645
2,8	0,0025	0,0375	26,66	903
2,7	0,0026	0,0374	26,74	1171
2,6	0,0027	0,0373	26,80	1491
2,5	0,0029	0,0371	26,95	1835
2,4	0,0031	0,0369	27,10	2214
2,3	0,0032	0,0368	27,17	2656
2,2	0,0034	0,0366	27,32	3112
2,1	0,0036	0,0364	27,47	3715
2,0	0,0039	0,0361	27,70	4374
1,9	0,0043	0,0357	28,01	5092
1,8	0,0046	0,0354	28,24	5953
1,7	0,0049	0,0351	28,49	6922
1,6	0,0054	0,0346	28,90	8044
1,5	0,0059	0,0341	29,32	9530
1,4	0,0067	0,0333	30,03	11251
1,3	0,0075	0,0325	30,76	13393
1,2 ₅	0,0079	0,0321	31,15	14713
1,2	0,0085	0,0315	31,75	16248
1,1 ₄	0,0092	0,0308	32,46	18448
1,1 ₁	0,0096	0,0304	32,90	19753
1,0 ₁ ₅	0,0105	0,0295	33,88	22663
1,0	0,0115	0,0285	35,09	24943

Do graf. $1/(a-x)$ l. mol⁻¹ vs t(seg) temos:

$$k_2 = 3,35 \times 10^{-4} \text{ l. mol}^{-1} \text{ s}^{-1}$$

REAÇÃO ENTRE PARA-TOLUENOSULFONATO DE METILA E NN'-DIMETILTIOUREIA
EM ACETONITRILA.

DETERMINAÇÃO CINETICA Nº 2

Conc. de p-toluenosulfonato de metila = 0,0400 M
 Conc. de NN'-dimetiltioureia = 0,0400 M
 Volume de amostra = 30,0 ml
 Temperatura = 40,0 ± 0,01°C

R (k · s⁻¹)	x	(a-x)	1/(a-x)	Tempo (seg)
3,2	0,0020	0,0380	26,31	0
3,1	0,0022	0,0378	26,45	202
3,0	0,0023	0,0377	26,52	418
2,9	0,0024	0,0376	26,60	657
2,8	0,0025	0,0375	26,66	922
2,7	0,0026	0,0374	26,74	1208
2,6	0,0027	0,0373	26,80	1524
2,5	0,0029	0,0371	26,95	1859
2,4	0,0031	0,0369	27,10	2226
2,3	0,0032	0,0368	27,17	2656
2,2	0,0034	0,0366	27,32	3150
2,1	0,0036	0,0364	27,47	3737
2,0	0,0039	0,0361	27,70	4476
1,9	0,0043	0,0357	28,01	5163
1,8	0,0046	0,0354	28,24	5996
1,7	0,0049	0,0351	28,49	7022
1,6	0,0054	0,0346	28,90	8196
1,5	0,0059	0,0341	29,32	9555
1,4	0,0067	0,0333	30,03	11360
1,3	0,0075	0,0325	30,76	13585
1,20	0,0085	0,0315	31,75	16547
1,14	0,0092	0,0308	32,46	18725
1,11	0,0096	0,0304	32,90	20035
1,01	0,0105	0,0295	33,88	22820
0				

Do graf. $1/(a-x)$ l. mol⁻¹ vs T (seg) temos:

$$k_2 = 3,28 \times 10^{-4} \text{ l. mol}^{-1} \text{ s}^{-1}$$

REAÇÃO ENTRE PARA-TOLUENOSULFONATO DE METILA E NN'DIMETILTIIOUREIA
EM ACETONITRILA.

DETERMINAÇÃO CINETICA Nº 3

Conc. de p-toluenosulfonato de metila = 0,0400 M
 Conc. de NN'dimetiltioureia = 0,0400 M
 Volume de amostra = 30,0 ml
 Temperatura = 50,0 ± 0,01°C

R (k $\text{dm}^3 \text{s}^{-1}$)	x	(a-x)	1/(a-x)	Tempo (seg)
3,0	0,0020	0,0380	26,31	0
2,9	0,0022	0,0378	26,45	93
2,8	0,0023	0,0377	26,52	199
2,7	0,0024	0,0376	26,60	318
2,6	0,0026	0,0374	26,74	434
2,5	0,0027	0,0373	26,80	566
2,4	0,0028	0,0372	26,88	718
2,3	0,0029	0,0371	26,95	885
2,2	0,0031	0,0369	27,10	1082
2,1	0,0033	0,0367	27,24	1310
2,0	0,0036	0,0364	27,47	1573
1,9	0,0038	0,0362	27,62	1861
1,8	0,0041	0,0359	27,86	2200
1,7	0,0045	0,0355	28,16	2589
1,6	0,0048	0,0352	28,41	3030
1,5	0,0053	0,0348	28,82	3579
1,4	0,0059	0,0341	29,33	4238
1,3	0,0066	0,0334	29,94	5107
1,2	0,0074	0,0326	30,67	6175
1,1	0,0085	0,0315	31,75	7619
1,0	0,0099	0,0301	33,22	9300
0,98	0,0103	0,0297	33,68	9745
0,95	0,0109	0,0291	34,37	10490
0,92	0,0115	0,0285	35,09	11370
0,90	0,0120	0,0280	35,71	12050

Do graf. $1/(a-x)$ l. mol $^{-1}$ vs t(seg)

$$k_2 = 7,23 \times 10^{-4} \text{ l. mol}^{-1} \text{ s}^{-1}$$

REAÇÃO ENTRE PARA-TOLUENOSULFONATO DE METILA E NN'DIMETILTIIOUREIA
EM ACETONITRILA.

DETERMINAÇÃO CINETICA Nº 4

Conc. de p-toluenosulfonato de metila = 0,0400 M
 Conc. de NN'dimetiltioureia = 0,0400 M
 Volume de amostra = 30,0 ml
 Temperatura = 50,0 ± 0,01°C

R (k · L ⁻¹ s ⁻¹)	x	(a-x)	1/(a-x)	Tempo (seg)
3,0	0,0020	0,0380	26,31	0
2,9	0,0022	0,0378	26,45	91
2,8	0,0023	0,0377	26,52	197
2,7	0,0024	0,0376	26,60	312
2,6	0,0026	0,0374	26,74	430
2,5	0,0027	0,0373	26,80	563
2,4	0,0028	0,0372	26,88	711
2,3	0,0029	0,0371	26,95	876
2,2	0,0031	0,0369	27,10	1077
2,1	0,0033	0,0367	27,24	1295
2,0	0,0036	0,0364	27,47	1557
1,8	0,0041	0,0359	27,86	2166
1,7	0,0045	0,0355	28,16	2546
1,6	0,0048	0,0352	28,41	2990
1,5	0,0053	0,0348	28,82	3549
1,4	0,0059	0,0341	29,33	4218
1,3	0,0074	0,0326	30,67	6155
1,2	0,0085	0,0315	31,75	7595
1,1	0,0099	0,0301	33,22	9340
0,9 ₈	0,0103	0,0297	33,68	9760
0,9 ₅	0,0109	0,0291	34,37	10505

Do graf. $1/(a-x)$ 1. mol⁻¹ vs t(seg) temos:

$$k_2 = 7,18 \times 10^{-4} \text{ 1. mol}^{-1} \text{ s}^{-1}$$

REAÇÃO ENTRE PARA-TOLUENOSULFONATO DE METILA E NN'DIMETILTIOUREIA
EM ACETONITRILA.

DETERMINAÇÃO CINETICA Nº 5

Conc. de p-toluenosulfonato de metila = 0,0400 M
 Conc. de NN'dimetiltioureia = 0,0400 M
 Volume de amostra = 30,0 ml
 Temperatura = 60,0 ± 0,01°C

R (k s ⁻¹)	x	(a-x)	1/(a-x)	Tempo (seg)
2,8	0,0020	0,0380	26,31	0
2,6	0,0022	0,0378	26,45	97
2,5	0,0024	0,0346	26,60	155
2,4	0,0026	0,0374	26,74	215
2,3	0,0028	0,0372	26,88	283
2,2	0,0029	0,0371	26,95	364
2,1	0,0031	0,0369	27,10	460
2,0	0,0033	0,0367	27,24	564
1,9	0,0035	0,0365	27,39	682
1,8	0,0037	0,0363	27,54	820
1,7	0,0040	0,0360	27,77	983
1,6	0,0045	0,0355	28,16	1154
1,5	0,0049	0,0351	28,49	1383
1,4	0,0054	0,0346	28,90	1647
1,3	0,0059	0,0341	29,32	1995
1,2	0,0067	0,0333	30,03	2450
1,1	0,0077	0,0323	30,95	3018
1,0	0,0089	0,0311	32,15	3705
0,9 ₈	0,0092	0,0308	32,46	3868
0,9 ₃	0,0100	0,0300	33,33	4398
0,9 ₀	0,0105	0,0295	33,88	4796
0,8 ₆	0,0114	0,0286	34,96	5400
0,8 ₃	0,0121	0,0279	35,84	5902
0,8 ₃	0,0128	0,0272	36,77	6490
0,7 ₀	0,0136	0,0264	37,88	7145
0,7 ₇	0,0142	0,0258	38,75	7660
0,7 ₅	0,0150	0,0250	40,00	8545
0,7 ₂	0,0158	0,0242	41,33	9268
0,7 ₀	0,0160	0,0240	41,67	9505

Do graf. $1/(a-x)$ l. mol⁻¹ vs t(seg) temos:

$$k_2 = 1,61 \times 10^{-3} \text{ l. mol}^{-1} \text{ s}^{-1}$$

REAÇÃO ENTRE PARA-TOLUENOSULFONATO DE METILA E NN'DIMETILTIIOUREIA
EM ACETONITRILA.

DETERMINAÇÃO CINETICA Nº 6

Conc. do p-toluenosulfonato de metila = 0,0400 M
 Conc. de NN'dimetiltioureia = 0,0400 M
 Volume de amostra = 30,0 ml
 Temperatura = 60,0 ± 0,01°C

R (k s ⁻¹)	x	(a-x)	1/(a-x)	Tempo (seg)
2,8	0,0020	0,0380	26,31	0
2,6	0,0022	0,0378	26,45	98
2,5	0,0024	0,0376	26,60	154
2,4	0,0026	0,0374	26,74	215
2,3	0,0028	0,0372	26,88	283
2,2	0,0029	0,0371	26,95	302
2,1	0,0031	0,0369	27,10	456
2,0	0,0033	0,0367	27,24	561
1,9	0,0035	0,0365	27,39	682
1,8	0,0037	0,0363	27,54	816
1,7	0,0040	0,0360	27,77	974
1,6	0,0045	0,0355	28,16	1152
1,5	0,0049	0,0351	28,49	1377
1,4	0,0054	0,0346	28,90	1637
1,3	0,0059	0,0341	29,32	1985
1,2	0,0067	0,0333	30,03	2425
1,1	0,0077	0,0323	30,95	2984
1,0	0,0089	0,0311	32,15	3675
0,98	0,0092	0,0308	32,46	3859
0,93	0,0100	0,0300	33,33	4379
0,90	0,0105	0,0295	33,88	4739
0,80	0,0114	0,0286	34,96	5334
0,86	0,0121	0,0279	35,84	5844
0,83	0,0128	0,0272	36,77	6424
0,70	0,0136	0,0264	37,88	7074
0,77	0,0142	0,0258	38,75	7564
0,75	0,0150	0,0250	40,00	8494

Do graf. $1/(a-x)$ l. mol⁻¹ vs t(seg) temos:

$$k_2 = 1,68 \times 10^{-3} \text{ l. mol}^{-1} \text{ s}^{-1}$$

REAÇÃO ENTRE PARA-TOLUENOSULFONATO DE METILA E NN'DIMETILTIIOUREIA
EM ACETONITRILA.

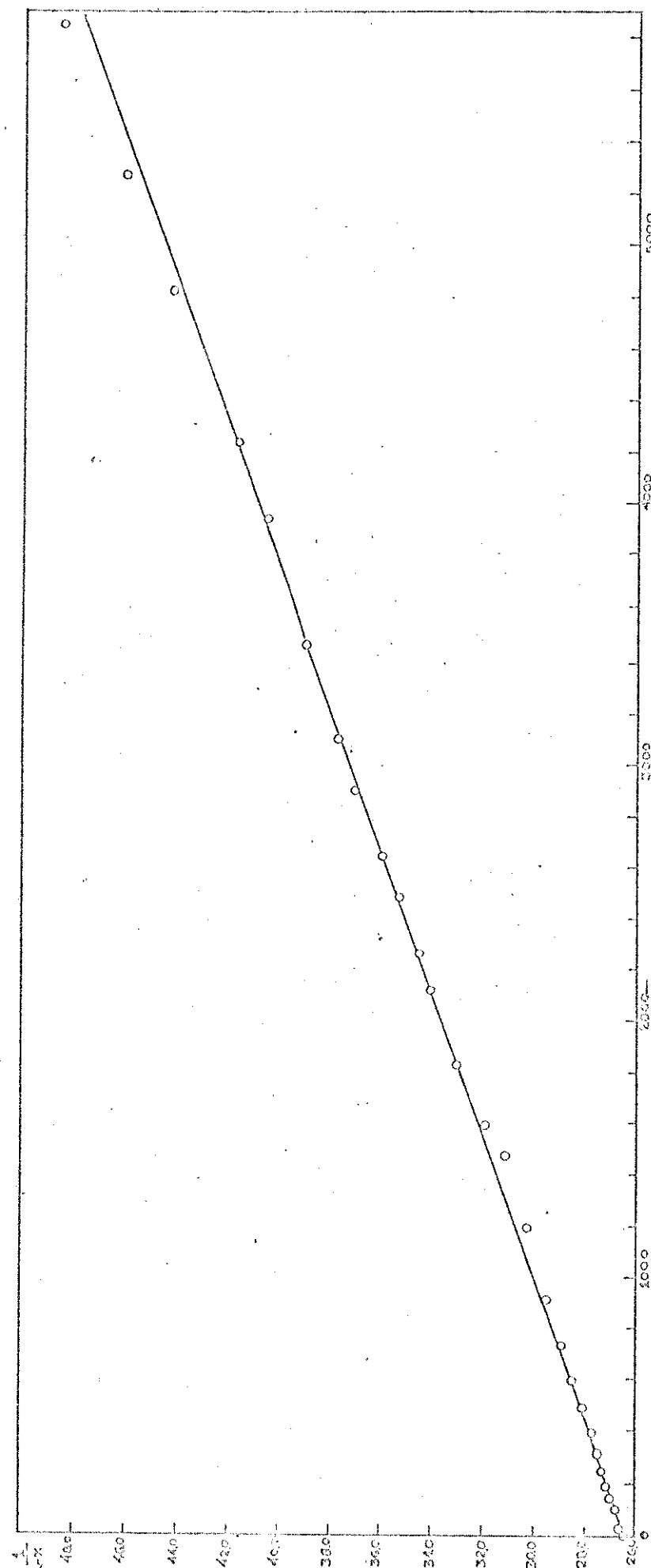
DETERMINAÇÃO CINETICA Nº 7

Conc. de p-toluenosulfonato de metila = 0,0400 M
 Conc. de NN'dimetiltioureia = 0,0400 M
 Volume de amostra = 30,0 ml
 Temperatura = 70,0 ± 0,01°C

R (k·α)	x	(a-x)	1/(a-x)	Tempo (seg)
2,4	0,0022	0,0378	26,45	0
2,3	0,0024	0,0376	26,60	30
2,2	0,0025	0,0375	26,66	64
2,1	0,0027	0,0373	26,80	103
2,0	0,0030	0,0370	27,01	145
1,9	0,0032	0,0368	27,18	196
1,8	0,0034	0,0366	27,32	252
1,7	0,0037	0,0363	27,54	320
1,6	0,0040	0,0360	27,77	389
1,5	0,0044	0,0356	28,08	483
1,4	0,0049	0,0351	28,49	593
1,3	0,0054	0,0346	28,90	735
1,2	0,0061	0,0339	29,49	909
1,1	0,0069	0,0331	30,22	1193
1,0	0,0079	0,0321	31,15	1469
0,95	0,0087	0,0313	31,94	1588
0,90	0,0097	0,0303	33,01	1822
0,85	0,0106	0,0294	34,01	2115
0,83	0,0110	0,0290	34,48	2260
0,80	0,0117	0,0283	35,34	2479
0,78	0,0122	0,0278	35,98	2640
0,78	0,0130	0,0265	37,73	3100
0,75	0,0143	0,0257	38,91	3465
0,70	0,0153	0,0247	40,49	3935
0,67	0,0160	0,0240	41,67	4227
0,65	0,0174	0,0226	44,25	4820
0,62	0,0183	0,0217	46,09	5270
0,60	0,0194	0,0206	48,55	5853
0,58	0,0200	0,0200	50,00	6120
0,57	0,0206	0,0194	51,55	6447

Do graf. $1/(a-x)$ l. mol⁻¹ vs t(seg) temos:

$$k_2 = 3,63 \times 10^{-3} \text{ l. mol}^{-1} \text{ s}^{-1}$$



Graf. nº 19 - Determinação da constante de velocidade da reação entre para-toluenosulfonato de metila e NN'-dimetiltiouréia em acetonitrila, à $70,0 \pm 0,01^\circ\text{C}$.

REAÇÃO ENTRE PARA-TOLUENOSULFONATO DE METILA E NN'DIMETILTIOUREIA
EM ACETONITRILA.

DETERMINAÇÃO CINETICA Nº 8

Conc. de p-toluenosulfonato de metila = 0,0400 M
 Conc. de NN'dimetiltioureia = 0,0400 M
 Volume de amostra = 30,0 ml
 Temperatura = 70,0 ± 0,01°C

R (k. s ⁻²)	x	(a-x)	1/(a-x)	Tempo (seg)
2,6	0,0020	0,0380	26,31	0
2,4	0,0022	0,0378	26,45	49
2,2	0,0025	0,0375	26,66	114
2,0	0,0030	0,0370	27,01	198
1,8	0,0034	0,0366	27,32	305
1,6	0,0040	0,0360	27,77	442
1,4	0,0049	0,0351	28,49	643
1,3	0,0054	0,0346	28,90	786
1,2	0,0061	0,0339	29,49	966
1,1	0,0069	0,0331	30,22	1187
1,0	0,0079	0,0321	31,15	1460
0,98	0,0082	0,0318	31,44	1529
0,96	0,0085	0,0315	31,75	1603
0,94	0,0089	0,0311	32,15	1678
0,92	0,0092	0,0308	32,46	1761
0,90	0,0097	0,0303	33,01	1859
0,88	0,0099	0,0301	33,22	1979
0,86	0,0104	0,0296	33,78	2093
0,84	0,0108	0,0292	34,25	2224
0,82	0,0112	0,0288	34,72	2365
0,80	0,0117	0,0283	35,34	2500
0,78	0,0122	0,0278	35,98	2663
0,76	0,0127	0,0273	36,64	2838
0,74	0,0132	0,0268	37,31	3094
0,72	0,0138	0,0262	38,16	3257
0,70	0,0143	0,0257	38,91	3510
0,68	0,0150	0,0250	40,00	3801
0,66	0,0156	0,0244	40,98	4145
0,64	0,0165	0,0235	42,55	4516
0,61	0,0178	0,0222	45,04	5148
0,60	0,0183	0,0217	46,09	5448
0,57	0,0200	0,0200	50,00	6334
0,55	0,0216	0,0184	54,34	7378

Do graf. $1/(a-x)$ l. mol⁻¹ vs t(seg) temos:

$$k_2 = 3,66 \times 10^{-3} \text{ l. mol}^{-1} \text{ s}^{-1}$$

REAÇÃO ENTRE PARA-TOLUENOSULFONATO DE METILA E NN'-DIMETILTIOUREIA
EM ACETONITRILA.

PARAMETROS DE ARRHENIUS

DETERMIN. CINET. N°	t (°C)	T (K)	$10^3/(1/T)$ (K ⁻¹)	$10^4 \cdot k_2$ (l.mol ⁻¹ s ⁻¹)	$\log_{10} k_2$
1	40,0	313,16	3,194	3,35	-3,4749
2	40,0	313,16	3,194	3,28	-3,4841
3	50,0	323,16	3,094	7,23	-3,1408
4	50,0	323,16	3,094	7,18	-3,1438
5	60,0	333,16	3,001	16,10	-2,7932
6	60,0	333,16	3,001	16,80	-2,7747
7	70,0	343,16	2,914	36,30	-2,4401
8	70,0	343,16	2,914	36,60	-2,4365

$$\Delta E^\ddagger = 17,11 \text{ kcal.mol}^{-1}$$

$$\log_{10} B = 8,45$$

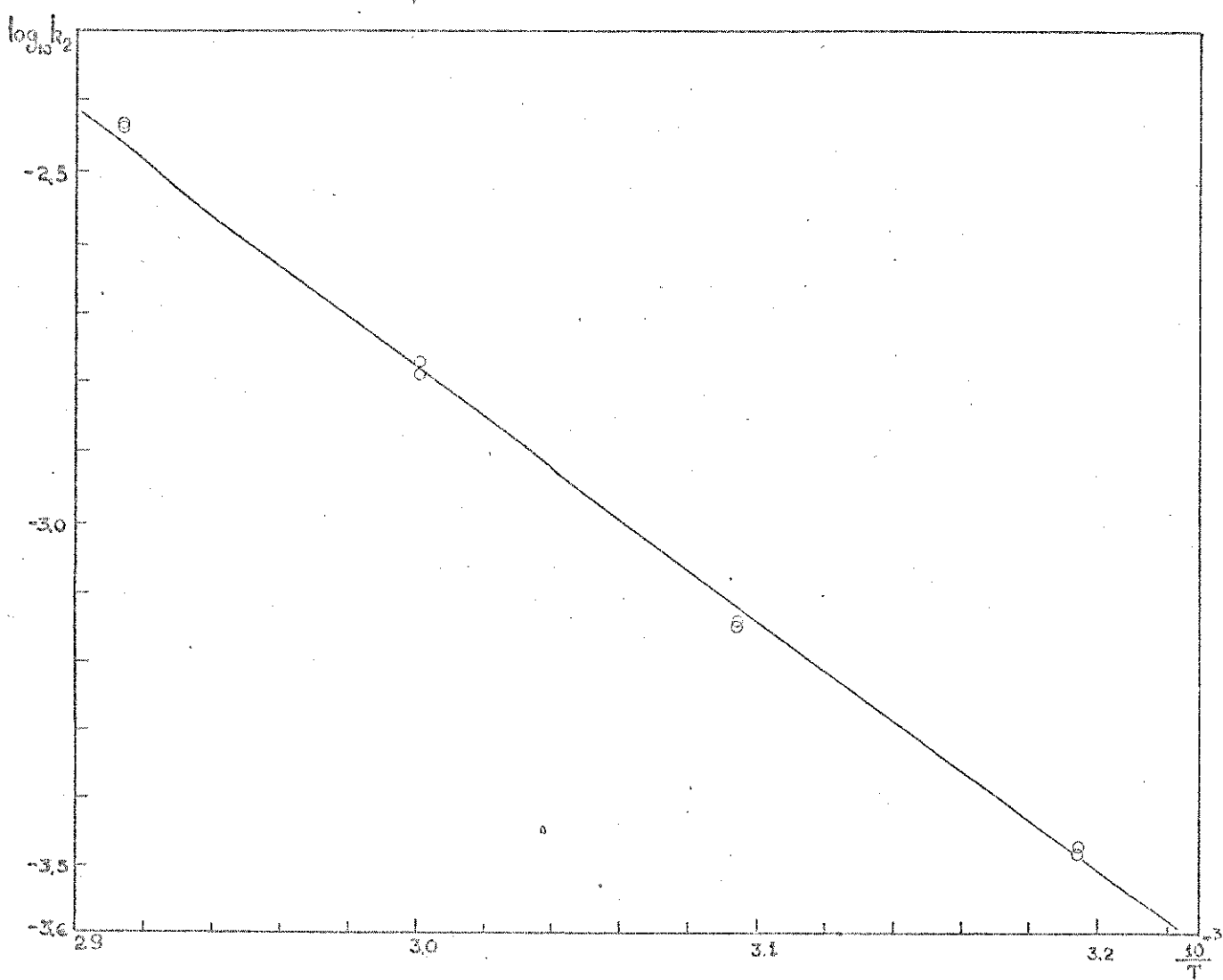
$$\Delta S^\ddagger_{25} = -19,89 \text{ u.e.}$$

$$\Delta H^\ddagger_{25} = 16,52 \text{ kcal.mol}^{-1}$$

$$\Delta G^\ddagger_{25} = +22,45 \text{ kcal.mol}^{-1}$$

Constantes de velocidade calculadas à:

$$\begin{aligned} -20,0^\circ\text{C}, k_2 &= 4,75 \times 10^{-7} \text{ l.mol}^{-1}\text{s}^{-1} \\ 0,0^\circ\text{C}, k_2 &= 5,73 \times 10^{-6} \text{ l.mol}^{-1}\text{s}^{-1} \\ 50,0^\circ\text{C}, k_2 &= 7,52 \times 10^{-4} \text{ l.mol}^{-1}\text{s}^{-1} \\ 100,0^\circ\text{C}, k_2 &= 2,67 \times 10^{-2} \text{ l.mol}^{-1}\text{s}^{-1} \end{aligned}$$



Graf. nº 20 - Gráfico de Arrhenius da reação entre para-toluenosulfonato de metila e NN'-dimetiltioureia em acetonitrila, no intervalo de $40,0 \pm 0,01$ à $70,0 \pm 0,01^\circ\text{C}$.

6.5.5.3. - REAÇÃO DE PARA-TOLUENOSULFONATO DE METILA E TETRAMETILTIOUREIA EM ACETONITRILA.

1. Reagentes

- a) p-toluenosulfonato de metila - sintetizado e purificado de acordo com o processo descrito no item 6.5.1-c
- b) Tetrametiltioureia - foi utilizado o produto P.A.

2. Produto da reação entre p-toluenosulfonato de metila e tetrametiltioureia.

Para a obtenção da curva de calibração foi preparada uma solução a 0,0400M de tosilato de NNN'N'-tetrametil-S-metiltiouronio em acetonitrila.

Preparação: 1,056g de NNN'N'-tetrametiltioureia e 1,488g de p-toluenosulfonato de metila, exatamente pesados, foram colocados em acetonitrila purificada, resultando num volume total de 200 ml. A solução foi colocada num balão contendo um condensador e a seguir aquecida, sob refluxo, durante aproximadamente 25 horas. Esta solução foi utilizada para a obtenção da curva de calibração.

3. Solvente - foi utilizada acetonitrila, purificada de acordo com o processo descrito em 6.5.2-b

4. Determinação da constante de velocidade

As medidas cinéticas foram efetuadas no intervalo de 40 a 70°C utilizando-se o termostato HETOTHERM.

Foi seguido o processo condutométrico para a determinação da constante de velocidade.

Partindo-se da solução 0,0400M de tosilato de NNN'N'-tetrametiltiouronio, acima citada, foram preparadas várias soluções em acetonitrila, com concentrações conhecidas, a fim de se obter a curva de calibração. As constantes de velocidade foram obtidas graficamente.

A seguir, a tabela mostra os valores da resistência para cada concentração do produto da reação, no intervalo de temperatura em estudo.

4.h) REAÇÃO ENTRE PARA-TOLUENOSULFONATO DE METILA E TETRAMETIL-TIOUREIA EM ACETONITRILA.

CURVA DE CALIBRAÇÃO

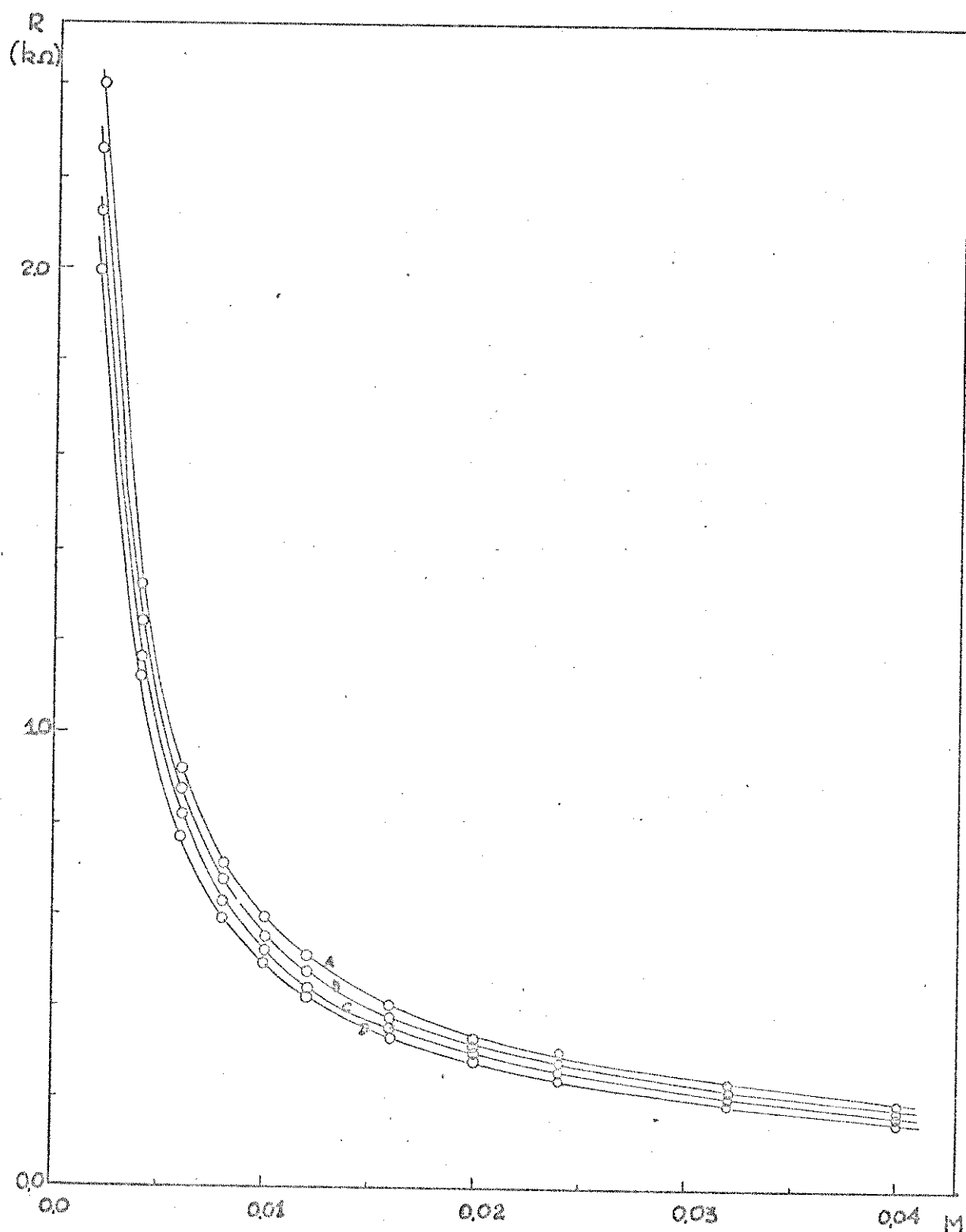
M	R ₄₀ (k _Ω)	R ₅₀ (k _Ω)	R ₆₀ (k _Ω)	R ₇₀ (k _Ω)
0,0020	2,40	2,25	2,11	1,99
0,0040	1,32	1,24	1,16	1,11
0,0060	0,92 ₁	0,86 ₉	0,82	0,77 ₃
0,0080	0,71 ₀	0,66 ₈	0,62 ₆	0,58 ₇
0,0100	0,59 ₅	0,54 ₈	0,51 ₆	0,48 ₇
0,0120	0,50 ₅	0,47 ₈	0,44 ₅	0,41 ₇
0,0160	0,40 ₅	0,37 ₅	0,35 ₅	0,33 ₆
0,0200	0,33 ₀	0,29 ₂	0,29 ₀	0,27 ₁
0,0240	0,28 ₀	0,26 ₀	0,25 ₀	0,23 ₄
0,0280	0,25 ₄	0,23 ₂	0,22 ₀	0,21 ₇
0,0320	0,22 ₂	0,21 ₅	0,20 ₃	0,18 ₁
0,0400	0,18 ₉	0,17 ₈	0,16 ₈	0,15 ₈

onde:

M = Molaridade da solução (do produto de reação entre p-toluenosulfonato de metila e tetrametiltioureia, previamente sintetizados).

R_t = Resistência da solução à temperatura (t ± 0,01°C) correspondente.

Solvente: Acetonitrila



Graf. nº 21 - Curvas de calibração para a reação entre p-toluenosulfonato de metila e sulfonato de metila e tetrametiltioureia em acetonitrila.

$A = 40,0 \pm 0,01^\circ\text{C}$; $B = 50,0 \pm 0,01^\circ\text{C}$; $C = 60,0 \pm 0,01^\circ\text{C}$;
 $D = 70,0 \pm 0,01^\circ\text{C}$.

REAÇÃO ENTRE PARA-TOLUENOSULFONATO DE METILA E TETRAMETILTIOUREIA
EM ACETONITRILA.

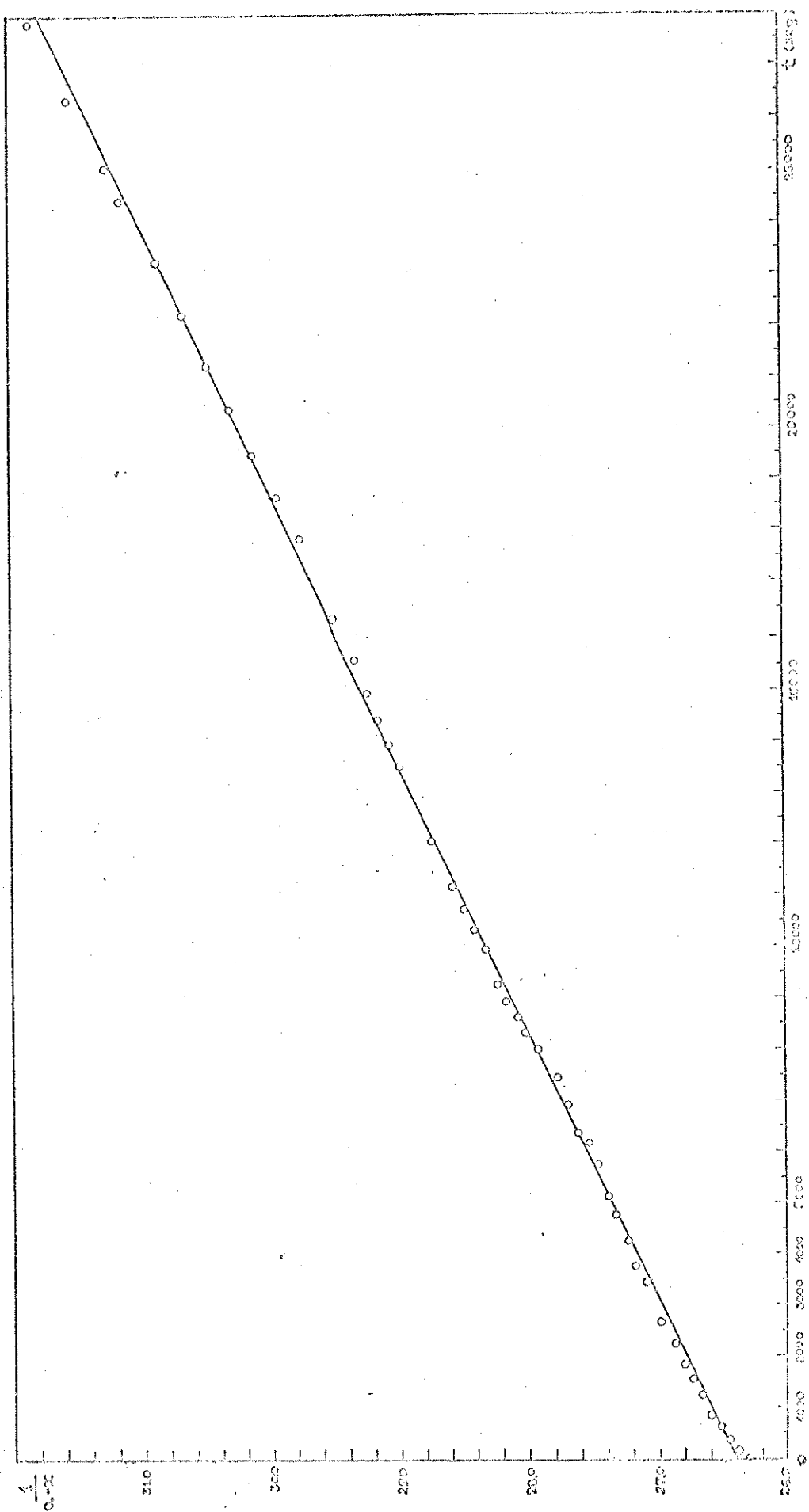
DETERMINAÇÃO CINETICA Nº 1

Conc. de p-toluenosulfonato de metila = 0,0500 M
 Conc. de tetrametiltioureia = 0,0400 M
 Volume de amostra = 30,0 ml
 Temperatura = 40,0 ± 0,01°C

R (k.Ω)	x	(a-x)	1/(a-x)	Tempo (seg)
2,40	0,0020	0,0380	26,31	0
2,36	0,0021	0,0379	26,38	141
2,30	0,0022	0,0378	26,46	361
2,24	0,0023	0,0377	26,52	608
2,18	0,0024	0,0376	26,60	856
2,10	0,0025	0,0375	26,66	1243
2,04	0,0026	0,0374	26,74	1541
1,98	0,0027	0,0373	26,80	1864
1,92	0,0028	0,0372	26,88	2213
1,84	0,0029	0,0371	26,95	2678
1,72	0,0031	0,0369	27,10	3485
1,68	0,0032	0,0368	27,18	3787
1,62	0,0033	0,0367	27,24	4267
1,56	0,0034	0,0366	27,33	4782
1,52	0,0035	0,0365	27,39	5129
1,46	0,0036	0,0364	27,47	5754
1,42	0,0037	0,0363	27,54	6157
1,40	0,0038	0,0362	27,62	6384
1,36	0,0039	0,0361	27,70	6914
1,32	0,0040	0,0360	27,77	7453
1,28	0,0042	0,0358	27,93	8015
1,26	0,0043	0,0357	28,02	8330
1,24	0,0044	0,0356	28,08	8636
1,22	0,0045	0,0355	28,17	8691
1,20	0,0046	0,0354	28,24	9274
1,16	0,0047	0,0353	28,32	9992
1,14	0,0048	0,0352	28,41	10337
1,12	0,0049	0,0351	28,49	10740
1,10	0,0050	0,0350	28,57	11164
1,06	0,0052	0,0348	28,74	12062
1,00	0,0055	0,0345	28,98	13532
0,98	0,0056	0,0344	29,07	13949
1,96	0,0057	0,0343	29,15	14418
0,94	0,0058	0,0342	29,23	14977
0,92	0,0059	0,0341	29,32	15607
0,90	0,0061	0,0339	29,49	16309
0,86	0,0064	0,0336	29,76	17854
0,84	0,0066	0,0334	29,94	18634
0,82	0,0068	0,0332	30,12	19477
0,80	0,0070	0,0330	30,30	20359
0,78	0,0072	0,0228	30,48	21259
0,76	0,0074	0,0326	30,67	22224
0,74	0,0076	0,0324	30,87	23299
0,72	0,0079	0,0321	31,15	24409
0,71	0,0080	0,0320	31,25	25089
0,69	0,0083	0,0317	31,54	26394
0,67	0,0086	0,0314	31,84	27886

Do graf. $1/(a-x)$ l. mol⁻¹ vs t (seg) temos:

$$k_2 = 1,92 \times 10^{-4} \text{ l. mol}^{-1} \text{ s}^{-1}$$



Graf. nº 22 - Determinação da constante de velocidade de reação entre o p-toluenosulfonato de metila e tetrametiltincurio em acetonitrila, à $40,0 \pm 0,01^\circ\text{C}$.

REAÇÃO ENTRE PARA-TOLUENOSULFONATO DE METILA E TETRAMETILTIOUREIA
EM ACETONITRILA.

DETERMINAÇÃO CINÉTICA Nº 2

Conc. de p-toluenosulfonato de metila = 0,0400 M
 Conc. de tetrametiltioureia = 0,0400 M
 Volume de amostra = 30,0 ml
 Temperatura = 40,0 ± 0,01°C

R (k.α.)	x	(a-x)	1/(a-x)	Tempo (seg)
1,92	0,0028	0,0372	26,88	0
1,84	0,0029	0,0371	26,95	451
1,72	0,0031	0,0369	27,10	1241
1,68	0,0032	0,0368	27,18	1510
1,62	0,0033	0,0367	27,24	1973
1,56	0,0034	0,0366	27,33	2492
1,52	0,0035	0,0365	27,39	2805
1,46	0,0036	0,0364	27,47	3392
1,42	0,0037	0,0363	27,54	3801
1,40	0,0038	0,0362	27,62	4037
1,36	0,0039	0,0361	27,70	4538
1,32	0,0040	0,0360	27,77	5048
1,28	0,0042	0,0358	27,93	5593
1,26	0,0043	0,0357	28,02	5917
1,24	0,0044	0,0356	28,08	6220
1,22	0,0045	0,0355	28,17	6532
1,20	0,0046	0,0354	28,24	6845
1,16	0,0047	0,0353	28,32	7512
1,14	0,0048	0,0352	28,41	7861
1,12	0,0049	0,0351	28,49	8263
1,10	0,0050	0,0350	28,57	8667
1,06	0,0052	0,0348	28,74	9520
1,00	0,0055	0,0345	28,98	10940
0,98	0,0056	0,0344	29,07	11402
0,96	0,0057	0,0343	29,15	11888
0,94	0,0058	0,0342	29,23	12410
0,92	0,0059	0,0341	29,32	13057
0,90	0,0061	0,0339	29,49	13793
0,86	0,0064	0,0336	29,76	15308
0,84	0,0066	0,0334	29,94	16090
0,82	0,0068	0,0332	30,12	16938
0,80	0,0070	0,0330	30,30	17774
0,78	0,0072	0,0328	30,48	18686
0,76	0,0074	0,0326	30,67	19579
0,74	0,0076	0,0324	30,87	20664
0,72	0,0079	0,0321	31,15	21862
0,71	0,0080	0,0320	31,25	22406
0,69	0,0083	0,0317	31,54	23836
0,67	0,0086	0,0314	31,84	25219
0,64	0,0091	0,0309	32,36	27489
0,62	0,0095	0,0305	32,78	29144
0,60	0,0098	0,0302	33,11	30394
0,59 ⁵	0,0101	0,0299	33,45	31809

DO graf. $1/(a-x)$ l. mol⁻¹ vs t(seg) temos:

$$k_2 = 1,96 \times 10^{-4} \text{ l. mol}^{-1} \text{ s}^{-1}$$

REAÇÃO ENTRE PARA-TOLUENOSULFONATO DE METILA E TETRAMETILTIUREIA
EM ACETONITRILA.

DETERMINAÇÃO CINETICA Nº 3

Conc. de p-toluenosulfonato de metila = 0,0400 M
 Conc. de tetrametiltiureia = 0,0400 M
 Volume de amostra = 30,0 ml
 Temperatura = 50,0 ± 0,01°C

R (k s⁻¹)	x	(a-x)	1/(a-x)	Tempo (sec)
2,26	0,0020	0,0380	26,31	0
2,20	0,0021	0,0379	26,38	96
2,16	0,0022	0,0378	26,45	162
2,10	0,0023	0,0377	26,52	272
2,00	0,0025	0,0375	26,66	476
1,90	0,0027	0,0373	26,80	687
1,80	0,0029	0,0371	26,95	933
1,70	0,0031	0,0369	27,10	1203
1,60	0,0033	0,0367	27,24	1501
1,50	0,0035	0,0365	27,39	1851
1,40	0,0036	0,0364	27,47	2267
1,36	0,0037	0,0363	27,54	2466
1,34	0,0038	0,0362	27,62	2556
1,30	0,0039	0,0361	27,70	2762
1,24	0,0040	0,0360	27,77	3112
1,20	0,0042	0,0358	27,93	3376
1,16	0,0044	0,0356	28,08	3638
1,12	0,0046	0,0354	28,24	3938
1,10	0,0047	0,0353	28,32	4080
1,06	0,0049	0,0351	28,49	4431
1,02	0,0051	0,0349	28,65	4800
1,00	0,0053	0,0348	28,82	4984
0,98	0,0054	0,0346	28,90	5109
0,96	0,0055	0,0345	28,98	5323
0,94	0,0056	0,0344	29,07	5570
0,92	0,0058	0,0342	29,23	5822
0,90	0,0059	0,0341	29,32	6086
0,88	0,0060	0,0360	29,42	6360
0,86	0,0061	0,0339	29,49	6663
0,84	0,0063	0,0337	29,67	6982
0,82	0,0064	0,0336	29,76	7302
0,78	0,0068	0,0332	30,12	7980
0,76	0,0070	0,0330	30,30	8350
0,74	0,0072	0,0328	30,48	8742
0,72	0,0074	0,0326	30,67	9189
0,70	0,0076	0,0324	30,87	9666
0,68	0,0078	0,0322	31,05	10184
0,66	0,0081	0,0319	31,34	10774
0,64	0,0084	0,0316	31,64	11369
0,62	0,0087	0,0313	31,95	11959
0,60	0,0091	0,0309	32,36	12599
0,58	0,0094	0,0306	32,67	13391
0,56	0,0098	0,0302	33,11	14169
0,54	0,0102	0,0298	33,55	15124
0,52	0,0107	0,0293	34,12	16179
0,50	0,0113	0,0287	34,84	17495
0,49	0,0116	0,0284	35,21	18214
0,48	0,0119	0,0281	35,58	18914
0,47	0,0122	0,0278	35,98	19664

Do graf. $1/(a-x)$ l. mol⁻¹ vs t(seg) temos:

$$k_2 = 4,83 \times 10^{-4} \text{ l. mol}^{-1} \text{ s}^{-1}$$

REAÇÃO ENTRE PARA-TOLUENOSULFONATO DE METILA E TETRAMETILTIOUREIA
EM ACETONITRILA.

DETERMINAÇÃO CINETICA Nº 4

Conc. de p-toluenosulfonato de metila = 0,0400 M
 Conc. de tetrametiltioureia = 0,0400 M
 Volume de amostra = 30,0 ml
 Temperatura = 50,0 ± 0,01°C

R (k.Ω)	x	(a-x)	1/(a-x)	Tempo (seg)
2,26	0,0020	0,0380	26,31	0
2,20	0,0021	0,0379	26,38	103
2,16	0,0022	0,0378	26,45	171
2,10	0,0023	0,0377	26,52	286
2,00	0,0025	0,0375	26,66	486
1,90	0,0027	0,0373	26,80	710
1,80	0,0029	0,0371	26,95	963
1,70	0,0031	0,0369	27,10	1237
1,60	0,0033	0,0367	27,24	1547
1,50	0,0035	0,0365	27,39	1915
1,40	0,0036	0,0364	27,47	2329
1,36	0,0037	0,0363	27,54	2536
1,34	0,0038	0,0362	27,62	2641
1,30	0,0039	0,0361	27,70	2836
1,24	0,0040	0,0360	27,77	3215
1,20	0,0042	0,0358	27,93	3479
1,16	0,0044	0,0356	28,08	3748
1,12	0,0046	0,0354	28,24	4050
1,10	0,0047	0,0353	28,32	4215
1,06	0,0049	0,0351	28,49	4555
1,02	0,0051	0,0349	28,65	4945
1,00	0,0053	0,0348	28,82	5136
0,98	0,0054	0,0346	28,90	5280
0,96	0,0055	0,0345	28,98	5495
0,94	0,0056	0,0344	29,07	5731
0,92	0,0058	0,0342	29,23	5972
0,90	0,0059	0,0341	29,32	6238
0,88	0,0060	0,0340	29,42	6569
0,86	0,0061	0,0339	29,49	6840
0,84	0,0063	0,0337	29,67	7184
0,82	0,0064	0,0336	29,76	7500
0,80	0,0066	0,0334	29,94	7849
0,78	0,0068	0,0332	30,12	8222
0,76	0,0070	0,0330	30,30	8601
0,74	0,0072	0,0328	30,48	9007
0,72	0,0074	0,0326	30,67	9470
0,70	0,0076	0,0324	30,87	9942
0,68	0,0078	0,0322	31,05	10493
0,66	0,0081	0,0319	31,34	11084
0,64	0,0084	0,0316	31,64	11687
0,62	0,0087	0,0313	31,95	12307
0,60	0,0091	0,0309	32,36	12971
0,58	0,0094	0,0306	32,67	13747
0,56	0,0098	0,0302	33,11	14587
0,54	0,0102	0,0298	33,55	15522
0,53	0,0104	0,0296	33,79	16057
0,52	0,0107	0,0293	34,12	16662
0,51	0,0110	0,0290	34,48	17237
0,50	0,0113	0,0287	34,84	17932
0,49	0,0116	0,0284	35,21	18607
0,48	0,0119	0,0281	35,58	19397
0,47	0,0122	0,0278	35,98	20169

DO graf. $1/(a-x)$ l. mol⁻¹ vs t(seg) temos:

$$k_2 = 4,50 \times 10^{-4} \text{ l. mol}^{-1} \text{ s}^{-1}$$

REAÇÃO ENTRE PARA-TOLUENOSULFONATO DE METILA E TETRAMETILTIIOUREIA
EM ACETONITRILA.

DETERMINAÇÃO CINETICA Nº 5

Conc. de p-toluenosulfonato de metila = 0,0400 M
 Conc. de tetrametiltioureia = 0,0400 M
 Volume de amostra = 30,0 ml
 Temperatura = 60,0 ± 0,01°C

R (k. l.)	x	(a-x)	1/(a-x)	Tempo (seg)
2,11	0,0020	0,0380	26,31	0
2,00	0,0022	0,0378	26,45	97
1,90	0,0024	0,0376	26,60	196
1,80	0,0026	0,0374	26,74	306
1,70	0,0028	0,0372	26,88	426
1,60	0,0030	0,0370	27,01	564
1,50	0,0032	0,0368	27,17	725
1,40	0,0034	0,0366	27,32	904
1,30	0,0036	0,0364	27,47	1131
1,24	0,0038	0,0362	27,62	1279
1,14	0,0042	0,0358	27,93	1350
1,00	0,0048	0,0352	28,41	2103
0,94	0,0052	0,0348	28,74	2383
0,86 ₉	0,0056	0,0344	29,07	2827
0,82 ₉	0,0060	0,0340	29,42	3153
0,75	0,0065	0,0335	29,86	3726
0,70	0,0070	0,0330	30,30	4230
0,66	0,0075	0,0325	30,76	4703
0,626	0,0080	0,0320	31,25	5167
0,59	0,0086	0,0314	31,84	5711
0,55	0,0093	0,0307	32,58	6428
0,52	0,0099	0,0301	33,22	7108
0,50	0,0104	0,0296	33,79	7650
0,48	0,0109	0,0291	34,37	8263
0,46	0,0114	0,0286	34,96	8940
0,44 ₅	0,0120	0,0280	35,71	9501

Do graf. $1/(a-x)$ l. mol⁻¹ vs t (seg) temos:

$$k_2 = 9,36 \times 10^{-4} \text{ l. mol}^{-1} \text{ s}^{-1}$$

REAÇÃO ENTRE PARA-TOLUENOSULFONATO DE METILA E TETRAMETILTIIOUREIA
EM ACETONITRILA.

DETERMINAÇÃO CINETICA Nº 6

Conc. de p-toluenosulfonato de metila = 0,0400 M
 Conc. de tetrametiltioureia = 0,0400 M
 Volume de amostra = 30,0 ml
 Temperatura = 60,0 \pm 0,01°C

R (k Ω)	x	(a-x)	1/(a-x)	Tempo (seg)
2,11	0,0020	0,0380	26,31	0
2,00	0,0022	0,0378	26,45	104
1,90	0,0024	0,0376	26,60	201
1,80	0,0026	0,0374	26,74	315
1,70	0,0028	0,0372	26,88	440
1,60	0,0030	0,0370	27,01	581
1,50	0,0032	0,0368	27,17	744
1,40	0,0034	0,0366	27,32	932
1,30	0,0036	0,0364	27,47	1044
1,24	0,0038	0,0362	27,62	1325
1,14	0,0042	0,0358	27,93	1625
1,00	0,0048	0,0352	28,41	2152
0,94	0,0052	0,0348	28,74	2435
0,86 ₉	0,0056	0,0344	29,07	2910
0,82 ₉	0,0060	0,0340	29,42	3212
0,75	0,0065	0,0035	29,86	3778
0,70	0,0070	0,0330	30,30	4283
0,66	0,0075	0,0325	30,76	4761
0,62 ₆	0,0080	0,0320	31,25	5237
0,59 ₆	0,0086	0,0314	31,84	5771

Do graf. $1/(a-x)$ l. mol⁻¹ vs t(seg) temos:

$$k_2 = 9,20 \times 10^{-4} \text{ l. mol}^{-1} \text{ s}^{-1}$$

REAÇÃO ENTRE PARA-TOLUENOSULFONATO DE METILA E TETRAMETILTIIOUREIA
EM ACETONITRILA.

DETERMINAÇÃO CINÉTICA Nº 7

Conc. de p-toluenosulfonato de metila = 0,0400 M
 Conc. de tetrametiltioureia = 0,0400 M
 Volume de amostra = 30,0 ml
 Temperatura = 70,0 \pm 0,01°C

R (k Ω)	x	(a-x)	1/(a-x)	Tempo (seg)
1,92	0,0022	0,0378	26,46	0
1,70	0,0026	0,0374	26,74	111
1,45	0,0032	0,0368	27,18	276
1,35	0,0034	0,0366	27,33	364
1,25	0,0036	0,0364	27,48	470
1,10	0,0041	0,0359	27,86	671
1,05	0,0043	0,0357	28,02	771
1,00	0,0045	0,0355	28,17	841
0,95	0,0048	0,0352	28,41	932
0,85	0,0054	0,0346	28,91	1207
0,80	0,0058	0,0342	29,24	1355
0,77 ⁵	0,0060	0,0340	29,41	1438
0,75 ⁵	0,0062	0,0338	29,59	1530
0,70	0,0067	0,0333	30,04	1744
0,67	0,0070	0,0330	30,31	1897
0,62	0,0076	0,0324	30,87	2180
0,58 ⁷	0,0080	0,0320	31,26	2402
0,55 ⁷	0,0087	0,0313	31,95	2679
0,53 ⁵	0,0090	0,0310	32,26	2814
0,48 ⁵	0,0100	0,0300	33,33	3373
0,44 ⁷	0,0110	0,0290	34,48	3989
0,43 ⁵	0,0116	0,0284	35,22	4234
0,41 ⁶	0,0120	0,0280	35,72	4489
0,40 ⁶	0,0127	0,0273	36,64	4834
0,38	0,0136	0,0264	37,88	5289
0,37	0,0140	0,0260	38,46	5571
0,35	0,0150	0,0250	40,00	6221
0,33 ¹	0,0160	0,0240	41,67	6955
0,31 ¹	0,0172	0,0228	43,86	7966
0,30	0,0178	0,0222	45,01	8517
0,28 ⁵	0,0190	0,0210	47,62	9561
0,27 ⁴	0,0200	0,0200	50,00	10458

Do graf. $1/(a-x)$ 1. mol $^{-1}$ vs t(seg) temos:

$$k_2 = 2,02 \times 10^{-3} \text{ 1. mol}^{-1} \text{ s}^{-1}$$

REAÇÃO ENTRE PARA-TOLUENOSULFONATO DE METILA E TETRAMETILTIIOUREIA
EM ACETONITRILA.

DETERMINAÇÃO CINETICA Nº 8

Conc. de p-toluenosulfonato de metila = 0,0400 M
 Conc. de tetrametiltioureia = 0,0400 M
 Volume de amostra = 30,0 ml
 Temperatura = 70,0 ± 0,01°C

R (kΩ)	x	(a-x)	1/(a-x)	Tempo (seg)
2,00	0,0020	0,0380	26,31	0
1,92	0,0022	0,0378	26,46	34
1,70	0,0026	0,0374	26,74	142
1,45	0,0032	0,0368	27,18	306
1,35	0,0034	0,0366	27,33	394
1,25	0,0036	0,0364	27,48	499
1,11	0,0040	0,0360	27,77	685
1,05	0,0043	0,0357	28,02	778
1,00	0,0045	0,0355	28,17	855
0,95	0,0048	0,0352	28,41	959
0,85	0,0054	0,0346	28,91	1224
0,80	0,0058	0,0342	29,24	1376
0,77 ⁵	0,0060	0,0340	29,41	1458
0,75 ⁵	0,0062	0,0338	29,59	1549
0,70	0,0067	0,0333	30,04	1764
0,67	0,0070	0,0330	30,31	1924
0,62	0,0076	0,0324	30,87	2199
0,58 ⁵	0,0080	0,0320	31,26	2427
0,55 ⁵	0,0087	0,0313	31,95	2692
0,53 ⁵	0,0090	0,0310	32,26	2824
0,48 ⁷	0,0100	0,0300	33,33	3374
0,44 ⁵	0,0110	0,0290	34,48	3985
0,43 ⁵	0,0116	0,0284	35,22	4231
0,41 ⁶	0,0120	0,0280	35,72	4469
0,40 ⁶	0,0127	0,0273	36,64	4804

DO graf. $1/(a-x)$ l. mol⁻¹ vs t(seg) temos:

$$k_2 = 1,98 \times 10^{-3} \text{ l. mol}^{-1} \text{ s}^{-1}$$

REAÇÃO ENTRE PARA-TOLUENOSULFONATO DE METILA E TETRAMETILTIOUREIA
EM ACETONITRILA.

PARAMETROS DE ARRHENIUS

DETERMIN. CINÉT.Nº	t (°C)	T (K)	$10^3/(1/T)$ (K ⁻¹)	$10^4 \cdot k_2$ (l.mol ⁻¹ s ⁻¹)	$\log_{10} k_2$
1	40,0	313,16	3,194	1,92	-3,7166
2	40,0	313,16	3,194	1,96	-3,7077
3	50,0	323,16	3,094	4,83	-3,3335
4	50,0	323,16	3,094	4,50	-3,3468
5	60,0	333,16	3,001	9,36	-3,0287
6	60,0	333,16	3,001	9,20	-3,0321
7	70,0	343,16	2,914	20,20	-2,6947
8	70,0	343,16	2,914	19,80	-2,7033

$$\Delta E^\ddagger = 16,42 \text{ kcal.mol}^{-1}$$

$$\log_{10} B = 7,75$$

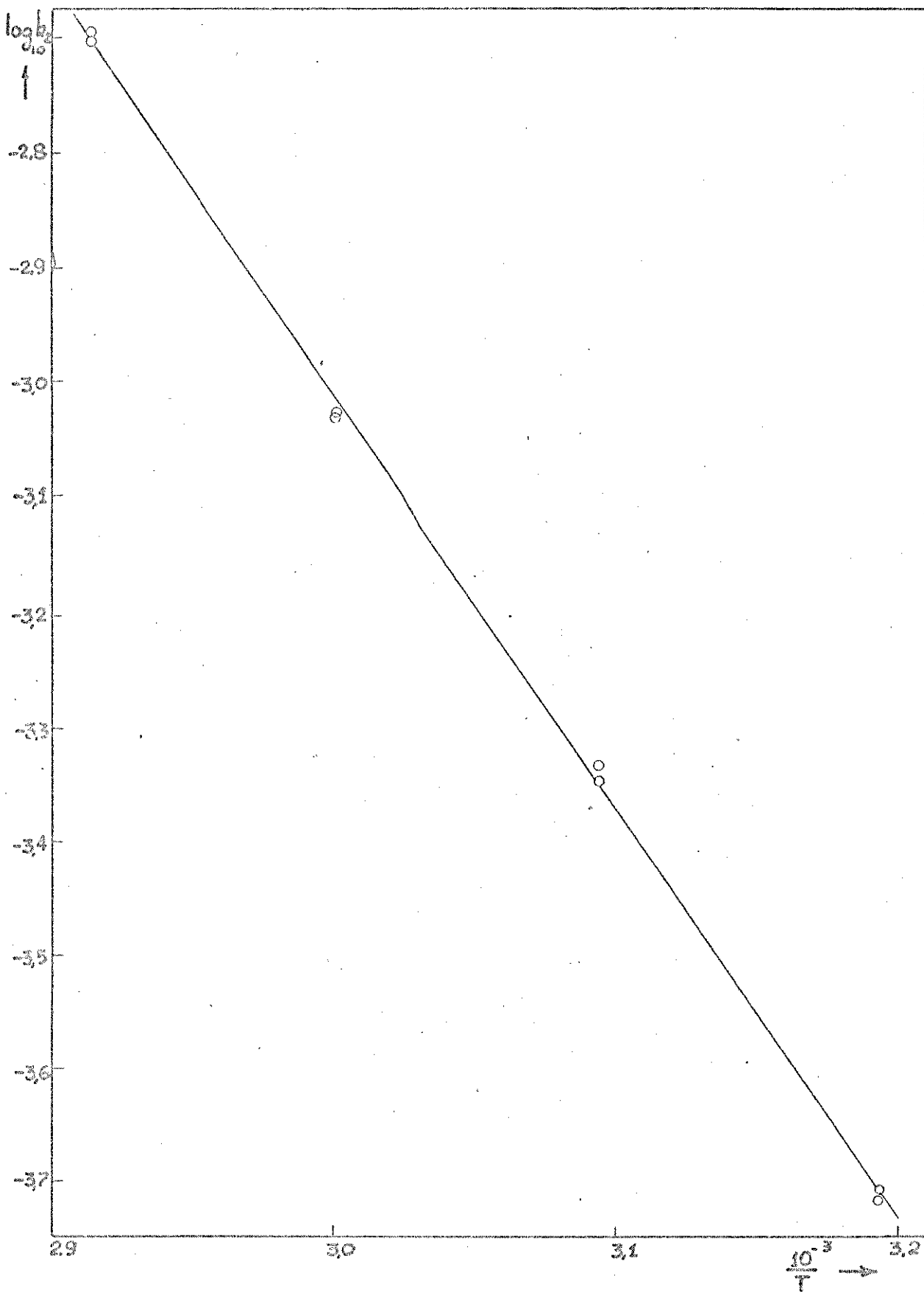
$$\Delta S^\ddagger = -23,05 \text{ u.e.}$$

$$\Delta H^\ddagger = 15,83 \text{ kcal.mol}^{-1}$$

$$\Delta G^\ddagger = 22,70 \text{ kcal.mol}^{-1}$$

Constantes de velocidade calculadas à:

$$\begin{aligned} -20,0^\circ\text{C}, k_2 &= 3,79 \times 10^{-3} \text{ l.mol}^{-1}\text{s}^{-1} \\ 0,0^\circ\text{C}, k_2 &= 4,14 \times 10^{-6} \text{ l.mol}^{-1}\text{s}^{-1} \\ 50,0^\circ\text{C}, k_2 &= 4,46 \times 10^{-4} \text{ l.mol}^{-1}\text{s}^{-1} \\ 100,0^\circ\text{C}, k_2 &= 1,37 \times 10^{-2} \text{ l.mol}^{-1}\text{s}^{-1} \end{aligned}$$



Graf. nº 23 - Grafico de Arrhenius da reação entre p-toluenosulfonato de metila e tetrametiltioureia em acetonitrila no intervalo de $40,0 \pm 0,01$ à $70,0 \pm 0,01^\circ\text{C}$.

APENDICE 1SOLUÇÕES-PADRÃO

Todas as soluções foram padronizadas com precisão de 3 algarismos significativos.

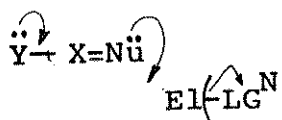
1. Solução padrão de cloreto de potassio - inicialmente, o cloreto de potassio foi dissecado na estufa a 270°C, por um periodo de 3 horas. A seguir foi preparada a solução padrão de cloreto de potassio 0,050N, pela dissolução do produto em agua, e diluido até a concentração desejada.
2. Solução padrão de nitrato de prata - a solução de nitrato de prata aproximadamente 0,05N foi preparada pela dissolução de nitrato de prata P.A. em águia, até a concentração desejada. A padronização - foi feita por titulação potenciométrica, utilizando-se a solução padrão de cloreto de potassio 0,050N.
3. Solução padrão de ácido clorídrico - foi preparada uma solução de ácido clorídrico aproximadamente 0,1N pela dissolução de ácido clorídrico concentrado P.A., até a concentração desejada. A solução foi padronizada por titulação com solução padrão de nitrato de prata.
4. Solução padrão de etóxido de sódio - foram preparadas soluções padrão com as normalidades desejadas, (0,1N e 0,2N) pela adição de sódio metálico, limpo e seco, em etanol absoluto. A padronização foi feita por titulação com a solução padronizada de ácido clorídrico empregando-se para indicador uma mistura constituída de tres partes de uma solução aquosa de verde de bromocresol 0,01% e 1 parte de solução aquosa de vermelho de metila a 0,2%.
5. Soluções padrão de guanidina e de seus derivados - foram preparadas soluções com molaridade desejadas, pela adição de quantidades exatamente pesadas do sal de guanidina e um volume determinado de etóxido de sódio padronizado. As soluções foram a seguir filtradas (para a separação de NaCl, NaBr ou Na₂SO₄) e, a seguir padronizadas pela titulação da base livre com a solução padronizada de áci-

do cloridrício, empregando para indicador a mistura de verde de bromo cresol em solução a 0,01% com vermelho de metila em solução a 0,2%, na proporção de 1:3.

Para que fossem obtidas soluções parcialmente neutralizadas, foram pesadas quantidades de sal equivalentes ao dobro do número de molas de etóxido, contidos no volume usado.

7. - DISCUSSÃO E CONCLUSÕES

São escassos os dados quantitativos e aprofundados sobre força nucleofílica de nucleófilos insaturados, onde o átomo nucleofílico é insaturado. As nossas experiências neste campo pertencem à seguinte classe de reações de substituição nucleofílica:



onde Nu = S, NH ou NMe

El = carbono alifático saturado e aromático

Devido à grande extensão do campo, as nossas experiências foram necessariamente exploratórias, mas planejadas para formar a base de futuras extensões.

Na tabela A, a comparação de guanidina e tioureia mostra bem a diferença em força nucleofílica de nitrogênio e enxofre - na forma insaturada (=NH e =S). Nestas reações de substituição nucleofílica aromática, é mostrado que o enxofre é consideravelmente menos reativo. Neste campo não há comparações diretas de compostos R_3N e R_2S ($\text{R}=\text{H}$ ou alquil) para relacionar com os nossos resultados. Contudo, Miller (95 p.216) com base em dados termoquímicos fundamentais, concluiu que deve haver uma diferença considerável, favorecendo as aminas. Esta conclusão foi relacionada com a menor energia de ionização das aminas, e porque o fator de solvatação também favorece as aminas.

Verificamos em nossos estudos que a tioureia é cerca de 10^4 vezes menos reativa que a guanidina. A diferença é consequência somente da menor energia de ativação para a guanidina $\Delta(\Delta E^\ddagger) = 24,2 \text{ kJ.mol}^{-1}$

Foi desprezado o fato de que a reação com tioureia foi efetuada em metanol, e a com guanidina em etanol. O valor de $\log_{10} N$ (idêntico na gama dos valores para reações entre espécies neutras - formando ions. É razoável implicar a dispersão de carga positiva desenvolvida na formação de sais orgânicos. Isto conduz a um valor menos negativo para a entropia de solvatação. Os valores de entropia de ativação (ΔS^\ddagger) constam nos valores de fator de frequência ($\log_{10} B$).

A tioureia é mais nucleofílica que as tioas simples - relacionada à menor energia de ionização da tioureia. Pode-se prever que as guanidinas são mais nucleofílicas que as aminas simples; porém estas últimas são bastante instáveis, e não há dados para verificação. Devido ao número considerável de guanidinas mencionadas, os estudos detalhados nas tabelas B e C tratam somente de algumas das comparações planejadas.

Na tabela B está detalhada a comparação de guanidina, N-metil- e NN-dimetil-guanidinas. Nesta série há metilação sequencial - de só um dos grupos NH_2 .

Os efeitos de N-metilação são significativos mas não grandes. A primeira N-metilação causa um aumento aproximado de cinco vezes da força nucleofílica, na reação $\text{S}_{\text{N}}\text{Ar}$, mas a segunda metilação do mesmo átomo de nitrogênio essencialmente, não tem efeito. É bastante provável que a segunda metilação conduz a um baixo nível de inibição estérica de conjugação no grupo ... $\text{Me}_2\overset{\text{N}}{\underset{\text{C}=\text{O}}{\text{--}}} \text{NH}$. Uma semelhante inibição é conhecida no grupo $\text{Me}_2\overset{\text{N}}{\underset{\text{C}=\text{O}}{\text{--}}} \text{--}$ (veja, por exemplo, Miller e colaboradores. (J.AChem. Soc., 1956, 78, 1975)). As pequenas diferenças em reatividade concordam com valores de parâmetros de Arrhenius bem parecidos.

Deve ser notado que as basicidades das três aminas são essencialmente iguais; verificando-se assim a situação bastante comum na qual não há relação direta entre basicidade (termodinâmica) e nucleofilicidade (cinética) de reagentes.

Na tabela C estão as comparações entre N-metil- e NN'N''-trimetilguanidinas. Por razões práticas foi mais conveniente utilizar 1-bromo- ao invés de 1-cloro-2,4-dinitrobenzeno como substrato. Deve-se notar que a diferença entre as duas guanidinas que inclui, também a troca de $=\text{NMe}$ por $=\text{NH}$, como centro nucleofílico tem um efeito pequeno; o trimetil tem aproximadamente a metade da reatividade da monoetilguanidina. Contudo, a diferença é constituida pelas maiores mudanças contrabalanceadas dos parâmetros de Arrhenius. A origem desta relação é incerta e necessita mais informações que comparem nucleófilos com grupos $=\text{NH}$ e $=\text{A}-\text{Alquil}$.

Pode-se verificar que o estado de transição é mais livre onde há um grupo metila no nitrogênio nucleofílico. Assim espera-se um aumento de entalpia de ativação contrabalanceada por uma entropia de ativação menos negativa.

Na tabela D há uma comparação entre guanidina e acetamidina. Desta forma, pode-se verificar o efeito de substituição de CH_3 por um dos grupos NH_2 , os quais fornecem eletrons para o centro nucleofílico, através de seus efeitos eletronicos (+R). Pode - se prever que o grupo CH_3 tem um efeito doador menor; mas é pos - sível que o grupo amino que permanece, possa ter um efeito - maior. Sendo assim, o efeito total não deve ser tão grande, po - rém espera-se que a acetamidina seja um nucleófilo mais fraco. Verificamos que a acetamidina é aproximadamente trinta vezes menos reativa. É interessante que a diferença está relacionada particularmente com a entropia de ativação mais negativa, na reação da acetamidina. Este fato está relacionado com os comen - tários anteriores, uma vez que é esperada uma menor dispersão de carga positiva no sal organico formado na reação da acetami - dina. Desta forma, o valor da entropia de ativação (ΔS^\ddagger) deve ser mais negativo. Esperamos ampliar os conceitos deste tipo - de mudança, nas experiências futuras planejadas.

Os estudos com p-toluenosulfonato de metila como substrato fo - ram delineadas para formar a primeira parte de futuras compara - ções de tioureias com ureias, esperando que nestes ultimos pos - sa ocorrer efeitos interessantes, de caráter ambidente. A sucep - tilidade à solvolise do p-toluenosulfonato de metila requer o uso de solventes orgânicos, não nucleofílicos. A ureia não é solúvel em tais solventes e, nossas comparações deverão tratar de derivados com H substituído por grupos orgânicos. Então em nossas primeiras experiências estudamos algumas das tioureias metiladas.

Na tabela E estão os resultados detalhados de N-metil, NN'-di - metil- e tetrametil-tioureas nas reações com o p-toluenosulfonato de metila. É notável que os efeitos da N-metilação na rea - ção de S_N carbono alifático saturado são ainda menores que os já considerados pequenos, para a N-metilação de guanidinas nas reações de S_N ao carbono aromático. Este resultado é esperado, uma vez que os estados de transição nas reações alifáticas tem menor grau de formação de ligação entre o centro nucleofílico e o carbono eletrofílico. Deve-se notar também que as pequenas diferenças de reatividade concordam com as pequenas diferenças nos parametros de Arrhenius.

A tabela F mostra as diferenças na mobilidade de Cl e Br nas reações S_NAr de N-metilguanidinas. Uma razão Br/Cl menor que a unidade é típica em reações S_NAr , sendo verificado novamente para um nucleófilo insaturado. A razão igual a 0,52 a 0°C, é um pouco menor que os valores comuns, mas a diferença é tão pequena que não vale a pena um comentário especial.

TABELA A

COMPARAÇÃO ENTRE GUANIDINA E TIOUREIA NAS REAÇÕES COM 1-CLORO-2,4-DINITROBENZENO EM ETANOL OU METANOL.

	Guanidina (em etanol)	Tioureia (*) em metanol
Constante de velocidade k_2 ($1 \cdot mol^{-1} \cdot s^{-1}$) a 50°C	$1,22 \times 10^{-1}$	$1,41 \times 10^{-5}$
Razão das constantes de velocidade a 50 °C	1,00	$1,16 \times 10^{-4}$
Energia de ativação ΔE^\ddagger ($kJ \cdot mol^{-1}$)	52,1	76,3
Fator de frequência $\log_{10} B$	7,5	7,5
Entropia de ativação ΔS^\ddagger ($kJ \cdot mol^{-1} \cdot grau^{-1}$) a 25,0°C	-101,0	-111,3

(*) Pesquisa anterior: Miller J. and Yeung H.W.: J. Chem. Soc. Perkin II, 1553 (1972).

TABELA B

COMPARAÇÃO ENTRE GUANIDINA, N-METILGUANIDINA E NN-DIMETILGUANIDINA NAS REAÇÕES COM 1-CLORO-2,4-DINITROBENZENO EM ETANOL.

	Guanidina	N-Metilguanidina	NN-dimetilguanidina
Const. de velocidade k_2 ($1.\text{mol}^{-1}.\text{s}^{-1}$) a -20°C	$5,71 \times 10^{-4}$	$2,96 \times 10^{-3}$	$2,49 \times 10^{-3}$
a 0°C	$3,50 \times 10^{-3}$	$1,49 \times 10^{-2}$	$1,62 \times 10^{-2}$
Razão das const. veloc. a -20,0°C	1,00	5,18	4,36
a 0,0°C	1,00	4,26	4,63
Energia de ativação ΔE^\ddagger ($\text{kJ} \cdot \text{mol}^{-1}$) ($\text{kcal} \cdot \text{mol}^{-1}$)	52,1 12,45	46,4 11,1	51,4 12,3
Fator de frequencia $\log_{10} B$	7,5	7,0 ₅	8,0
pK _a (do ácido conjugado)**	13,6	13,4	13,4
Entropia de ativação ΔS^\ddagger ($\text{kJ} \cdot \text{mol}^{-1} \cdot \text{grau}^{-1}$) a 25,0°C	-101,0	-109,5	-91,7

** J. Chem. Soc., 2492 (1951).

TABELA C

COMPARAÇÃO ENTRE N-METIL-GUANIDINA E NN'N'''-TRIMETILGUANIDINA NAS REAÇÕES COM 1-BROMO-2,4-DINITROBENZENO EM ETANOL.

	N-Metilguanidina	NN'N'''-trimetilguanidina
Const. de velocidade k_2 ($1.\text{mol}^{-1} \cdot \text{s}^{-1}$) a 0,0°C	$7,74 \times 10^{-3}$	$3,31 \times 10^{-3}$
Razão das constantes de velocidade a 0,0°C	1,00	0,43
Energia de ativação ΔE^\ddagger ($\text{kJ} \cdot \text{mol}^{-1}$)	44,4	63,0 ₅
Fator de frequencia $\log_{10} B$	6,4	9,5 ₅
Entropia de ativação a ΔS^\ddagger ($\text{Kj} \cdot \text{mol}^{-1} \cdot \text{grau}^{-1}$) a 25,0°C	-122,8	-61,5 ₉

TABELA D

COMPARAÇÃO ENTRE GUANIDINA E ACETAMIDINA NAS REAÇÕES COM 1-CLORO-2,4-DINITROBENZENO EM ETANOL.

	Guanidina	Acetamidina
Const. de velocidade k_2 ($1.\text{mol}^{-1} \cdot \text{s}^{-1}$) a 0,0°C a 50,0°C	$3,50 \times 10^{-3}$ $1,22 \times 10^{-1}$	$1,28 \times 10^{-4}$ $2,38 \times 10^{-3}$
Razão das constantes de velocidade; a 0,0°C a 50,0°C	1,00 1,00	$3,66 \times 10^{-2}$ $1,95 \times 10^{-2}$
Energia de ativação ΔE^\neq ($\text{kJ} \cdot \text{mol}^{-1}$)	52,1	42,9
Fator de frequencia $\log_{10} B$	7,5	4,3
Entropia de ativação ΔS^\neq ($\text{kJ} \cdot \text{mol}^{-1} \cdot \text{grau}^{-1}$) a 25,0°C	-101,0	-162,3

TABELA E

COMPARAÇÃO ENTRE N-METILTIOUREIA, NN'-DIMETILTIOUREIA E TETRAMETILTIOUREIA NAS REAÇÕES COM p-TOLUENOSULFONATO DE METILA EM ACETONITRILA.

	N-metiltioureia	NN'-dimetil-tioureia	Tetrametil-tioureia.
Const. de velocidade k_2 ($1.\text{mol}^{-1} \cdot \text{s}^{-1}$), 50,0°C	$1,54 \times 10^{-3}$	$7,52 \times 10^{-4}$	$4,46 \times 10^{-4}$
Razão das constantes de velocidade a 50,0°C	1,00	0,49	0,29
Energia de ativação ΔE^\neq ($\text{kJ} \cdot \text{mol}^{-1}$)	71,7	71,5	68,7
Fator de frequencia $\log_{10} B$	8,8	8,4 ₅	8,7 ₅
Entropia de ativação ΔS^\neq ($\text{kJ} \cdot \text{mol}^{-1} \cdot \text{grau}^{-1}$) a 25,0°C	-76,8	-83,2	-96,4

TABELA F

COMPARAÇÃO DE 1-BROMO-2,4-DINITROBENZENO E 1-CLORO-2,4-DINITROBENZENO NAS REAÇÕES COM N-METILGUANIDINA EM ETANOL.

Grupo deslocado	Cl	Br
Constante de velocidade $k_2(1.\text{mol}^{-1}.\text{s}^{-1})$, a 0,0°C	$1,49 \times 10^{-2}$	$7,74 \times 10^{-3}$
Razão das const. de velocidade. a 0°C	1,00	0,52
Energia de ativação $\Delta E^\ddagger(\text{kj}.\text{mol}^{-1})$	46,5	44,4
Fator de frequencia $\log_{10} B$	7,05	6,4
Entropia de ativação $\Delta S^\ddagger(\text{kj}.\text{mol}^{-1}.\text{grau}^{-1})$ a 25,0°C	-109,5	-122,8

NOTA: Todos os fatores de frequencia ($\log_{10} B$) correspondem às Unidades de $(1.\text{mol}^{-1}.\text{s}^{-1})$.

8. - RESUMO

São escassas as informações quantitativas e aprofundadas da reatividade de nucleófilos insaturados, nos quais o centro nucleofílico é insaturado.

Em um estudo exploratório, planejado para formar a base de estudos futuros, foram medidas, comparadas e discutidas as forças nucleofílicas cinéticas da acetamidina, da guanidina, da tioureia e de alguns de seus derivados N-metilados em reações de substituição nucleofílica aos centros alifático saturado e aromático.

8. - ABSTRACT

There is a scarcely of soundly - based quantitative of information on the reactivity of unsaturated nucleophiles, in which the nucleophilic centre is unsaturated.

The kinetic nucleophilic strengths of acetamidine, guanidine , thiourea and some of their N-methylated derivatives in nucleophilic substitution at saturated aliphatic and aromatic centre have been measured, compared, and discussed in an exploratory programme; designed also to form the basis for further studies.

9.

REFERÊNCIAS BIBLIOGRÁFICAS

1. - Pisani, F.: Compt. Rend., 39, 852 (1854); J.Chem.Soc. 7, 237 (1854); Annalen, 92, 312 (1854); Annalen, 92, 326 (1854).
2. - Barth, L. and Senhofer C.: Chem. Ber., 8, 477 (1875).
3. - Meisenheimer, J.; Liebigs Ann. Chem., 323, 205 (1902).
4. - Cain; J.C.: Ber., 38, 2511 (1905).
5. - Arndt, F.: Ber., 2236 (1921).
6. - Meerwein H., and Van Emster, K.: Ber, 55, 2500 (1922).
7. - Bronsted, J.N.: Rev. Trav. Chim.,42, 718 (1923).
8. - Phillips, R. and Clarke H.T.: J. Am. Chem. Soc., 45, 1755 (1923).
9. - Lewis, G.N.: "Valence and the Structure os Atoms and Molecules", Chemical Catalog Co., New York, p.113 (1923).
- 10.- Schenck, M.: Z. Physiol. Chem., 150, 121 (1925).
- 11.- Ward, A.M.: J. Chem. Soc., 445, 2285 (1927).
- 12.- Ingold, C.K. and Rothstein E.: J.Chem. Soc., 1217 (1928).
- 13.- London, F. + Z.Electrochem., 35, 552 (1929).
- 14.- Whitmore, F.C.: J.Am. Soc., 54, 3274 (1932).
- 15.- Hughes, E.D., Ingold, C.K. and Patel, C.S. J.Chem. Soc., 526 (1933).
- 16.- Hughes, E.D. and Ingold, C.K.: J. Chem. Soc., 1571 (1933).
- 17.- Hughes, E.D. and Ingold, C.K.: J. Chem. Soc., 236 (1935).

- 18.- Hughes, E.D. and Ingold, C.K.: J. Am. Chem. Soc., 244 (1935).
- 19.- Wright, R.E. and Bergstrom, F.W.: J. Org. Chem., 1, 179 (1936).
- 20.- Hughes, E.D. Trans. Faraday Soc., 34, 185 (1938).
- 21.- Whitmore, F.C., Whittle E.L. and Popkin A.H. J.Am. Chem. Soc., 61, 1585 (1939).
- 22.- Moelwyn, E.A., Hughes, E.D., and Johnson M.: Trans. Faraday Soc., 36, 948 (1940).
- 23.- Crossey, M.L., Kienle R.H., and Benbrook, C.H.: J. Am. Chem. Soc., 62, 1400 (1940).
- 24.- Wittig, G., Pieper G. and Fuhrmann: Chem. Ber., 73, 1193 (1940).
- 25.- Bateman, L.G., Cooper, K.A., Hughes, E.D., and Ingold, C.K.: J. Chem. Soc., 925 (1940).
- 26.- Hughes, E.D., Trans. Faraday Soc., 37, 603 (1941).
- 27.- Branch, G.E.K., and Calvin, M.: "The Theory of Organic Chemistry"; Prentice Hall, N. York, p. 289 (1941).
- 28.- Wittig, G. and Witt, H.: Chem. Ber., 74, 1474 (1941).
- 29.- Gilman, H., Blatt, A.H., "Organic Synthesis", 2nd. End, collect. Vol. I, John Wiley & Sons, Inc., New York, a)p.5; b)p.145 (1941).
- 30.- Waters, W.A.: J. Chem. Soc., 266 (1942).
- 31.- Wittig, G.: Naturwiss., 30, 696 (1942).
- 32.- Wheland, G.W.: J. Am. Chem. Soc., 64, 900 (1942).
- 33.- Urner, R.S. and Bergstrom, F.W.: J. Am. Chem. Soc., 67, 2108 (1945).

- 34.- Seibert, R.A., and Bergstrom F. W.: J. Org. Chem., 10, 544 (1945).
- 35.- Hughes, E.D.: J. Chem. Soc., 968 (1946).
- 35.- Melander L, Arkiv Kemi, 2, 211 (1951); Hughes E.D., Ingold C.K., and Reed R.I.: J. Chem. Soc. 2428 (1950).
- 37.- Hughes, E.D.: Quart. Rev.: 5, 245 (1951).
- 38.- Bunnett, J.F. and Zahler, R.E.: Chem. Rev., 49, 273 (1951).
- 39.- Miller, J.: Rev. Pure and Appl. Chem., 1, 171 (1951).
- 40.- Angyal, J and Warburton, W.K.: J. Am. Chem. Soc., 2492 (1951).
- 41.- Chapman, N.B. and Parker, R.E.: J. Chem. Soc., 3305 (1951).
- 42.- Franklin, J.L.: Trans. Faraday Soc., 48, 443 (1952).
- 43.- Swain, C.G. and Scott, C.B.: J. Am. Chem. Soc., 75, 141 (1953).
- 44.- Miller, J. and Bolto, B.A.: Chem. and Ind. 640 (1953).
- 45.- Lewis, E.S. and Miller, E.B.: J. Am. Chem. Soc., 75, 429 (1953).
- 46.- Roberts, J.D., Simmons, H.E., Carlsmith, L.A. and Vaughan, C.W., J. Am. Chem. Soc., 75, 3290 (1953).
- 47.- Edwards, J.O.: J. Am. Chem. Soc., 76, 1540 (1954).
- 48.- Horning, E.C.: "Organic Synthesis", collective Vol. III, John Wiley & Sons Inc., New York, a)p. 599; b) p. 617 (1955).
- 49.- Jenny, E.F. and Roberts, J.D.: Helv. Chim. Acta, 38, 1248 (1955).
- 50.- Hammond, G.S. and Parks, L.R.: J. Am. Chem. Soc., 77, 340 (1955).
- 51.- Kornblum, N., Smiley, R.A., Black, R.K., Ifflanf, D.G.: J. Am. Chem. Soc., 77, 6269 (1955).

- 52.- Edwards, J. O.: J. Am. Chem. Soc., 78, 1819 (1956).
- 53.- Roberts, J.D., Semenov, D.A., Simmons, H.E. and Carlsmith, L.S.: J. Am. Chem. Soc., 78, 601, 611 (1956).
- 54.- Bunnett, J.F., Brotherton, T.K.: J. Am. Chem. Soc., 78, 155 e 6265 (1956).
- 55.- Streitwieser, A. Jr.: Chem. Rev., 56, 573 (1956).
- 56.- Vogel, A.I.: "A Text-book of Practical Organic Chemistry", 3rd Ed., Longmans, p. 168 (1956).
- 57.- Boltc, B. A., Liveris, M., Miller J.: J. Chem. Soc., 750 (1956).
- 58.- Miller, J.: Austral. J. Chem.; 9, 61, (1956).
- 59.- Leaby, G.D., Liveris M., Miller, J. and Parker, A.J.: Aust. J. Chem. 9, 382 (1956).
- 60.- Bunnett, J.F.: Quart. Rev. 1, 12 (1958).
- 61.- Huisgen, R. and Zirngibl, L.: Chem. Ber., 91, 1438 (1958).
- 62.- Bunnett, J.F.: "Theoretical Organic Chemistry", Kekulé Symposium Chem. Soc., London, p. 150-154 (1958).
- 63.- Huisgen, R.: "Theoretical Organic Chemistry", Kekulé Symposium, Chem. Soc., London, p. 158 (1958).
- 64.- Bunnett, J.F.: "Theoretical Organic Chemistry", Kekulé Symposium, Butterworths, p. 144 (1959).
- 65.- Kohnstam, G., Queen A. and Shillaker, B.: Proc. Chem. Soc., 157 (1959).
- 66.- Lewis, E.S. and Suhr, H.: J. Am. Chem. Soc., 82, 962 (1960).

- 67.- Lewis, E.S. and Johnson, M.D.: J. Am. Chem. Soc., 82, 5399, 5408 (1960).
- 68.- Berry, R.S., Spokes, G.N. and Stiles, M.: J. Am. Chem. Soc., 82 5240 (1960).
- 69.- Miller, J. And Parker, A.J.: J. Am. Chem. Soc., 83, 117 (1961).
- 70.- Frost, A.A. and Pearson, R.G.: "Kinetics and Mechanism", 2nd Ed., John Wiley & Sons Inc., p. 36 (1961).
- 71.- Bunnett, J.F.: J. Chem. Educ., 38, 278 (1961).
- 72.- Parker, A.J.: Quart. Rev., 163 (1962).
- 73.- Le Goff, E.: J. Am. Chem. Soc., 84, 3786 (1962).
- 74.- Kampmeier, J. A. and Hoffmeister, E.: J. Am. Chem. Soc., 84, 3787 (1962).
- 75.- Parker, R.E. and Reed T.O.: J. Chem. Soc., 9 (1962)
- 76.- Hine, J. "Physical Organic Chemistry", 2nd Ed., Mc Graw-Hill, New York, p. 182-185 (1962).
- 77.- Wittig G. and Hoffmann, R. W.: Chem. Ber., 95, 2728 (1962).
- 78.- Berry, R.S., Spokes, G.N., Stiles, M.: J. Am. Chem. Soc., 84, 3570 (1962).
- 79.- Miller, S.I., Orzech, C.E., Welch C.A., Ziegler, G.R., and Dickstein, J.I.: J. Am. Chem. Soc., 84, 2020 (1962).
- 80.- Lewis, E.S., Cooper, J.E.: J. Am. Chem. Soc., 84, 3847 (1962).
- 81.- Bunnett, J.F.: Ann. Rev. Phys. Chem. Vol. 14, 271 (1963)
- 82.- Ross, S.D. in S.G. Cohen, Streitwieser, A. and Taft, R.W.: "Progress in Physical Organic Chemistry", vol. I, Interscience, New York, p. 31 (1963).

- 83.- Miller, J.: J. Am. Chem. Soc., 85, 1628 (1963).
- 84.- Miller, J.: J. Am. Chem. Soc., 85, 1628 (1963).
- 85.- Berry, R.S., Clardy J., and Schafer, M.E.: J. Am. Chem. Soc., 86, 2738 (1964).
- 86.- Lewis, E.S. and Insole, J.M.: J. Am. Chem. Soc., 86, 3234 (1964).
- 87.- Hoffman, E.J. : Dame, P.A. : J. Am. Chem. Soc., 41, 1015 (1919).
- 88.- Foster, R. and Fyfe, C.A.: Rev. Pure and Appl. Chem., 16, 61 (1966).
- 89.- Wittig, G.: Angew. Chem., Intern. Ed., 4, 731 (1965).
- 90.- Lewis, E.S., and Holliday, R.E.: J. Am. Chem. Soc., 88, 5043 (1966).
- 91.- Miller, J. et Alia: J. Chem. Soc., 299 (1966).
- 92.- Kornblum, N., Michel R.E. and R.C.: J. Am. Chem. Soc., 88, 5662 (1966).
- 93.- Kharasch, N.S., and Sharma R.K.: Chem. Commun., 492 (1967).
- 94.- Russel, G.A., and Danen, W.C.: J. Am. Chem. Soc., 88, 5663 (1966); 90, J. Am. Chem. Soc., 347 (1968).
- 95.- Miller, J.: "Aromatic Nucleophilic Substitution", Elsevier Publ. Co., Cap. a) I, b) II, c) III, d) V (1968).
- 96.- Ingold, C.K.: "Structure and Mechanism in Organic Chemistry", Cap. VI, VII Cornell University Press, Ithaca, New York, p. 421, p. 387, p. 389 (1969).

- 97.- Kornblum. N, and Stuchal F.W.: J. Am. Chem. Soc., 92, 1804 (1970).
- 98.- Bennett, J.F., and Kim, J.K.: J. Am. Chem. Soc., 92, 7463 (1970).
- 99.- Miller, J.: Ciéncia e Cultura, 24 (4), p. 317-326 (1972);
24 (2), p. 121-129 (1972).

ERRATA

- pág.146, último parágrafo, 2a.linha: troca de " $\log_{10} N$ " por " $\log_{10} B$ "
- pág.146, último parágrafo, 3a.linha: fechar parêntesis após o termo "idêntico" e intercalar: "ocupa uma posição relativamente alta".
- pág.147, linha 31: troca de "monoetilguanidina" por "monometilguanidina".
- pág.147, linha 35: troca de "A-Alquil" por "N-Alquil".
Nas tabelas, A, B, C, D, E, F, troca de "kj" por "j" nas unidades de entropia de ativação.
- pág.153, linha 1 do Abstract: troca de "scarcely" por "scarcity" e troca de "of information" por "information".
- pág.153, linha 1, 2º parágrafo: leia-se "kinetic".